

# Neutrino Physics

Joachim Kopp (CERN & JGU Mainz)

CERN Summer Student Lecture • 25 July 2024



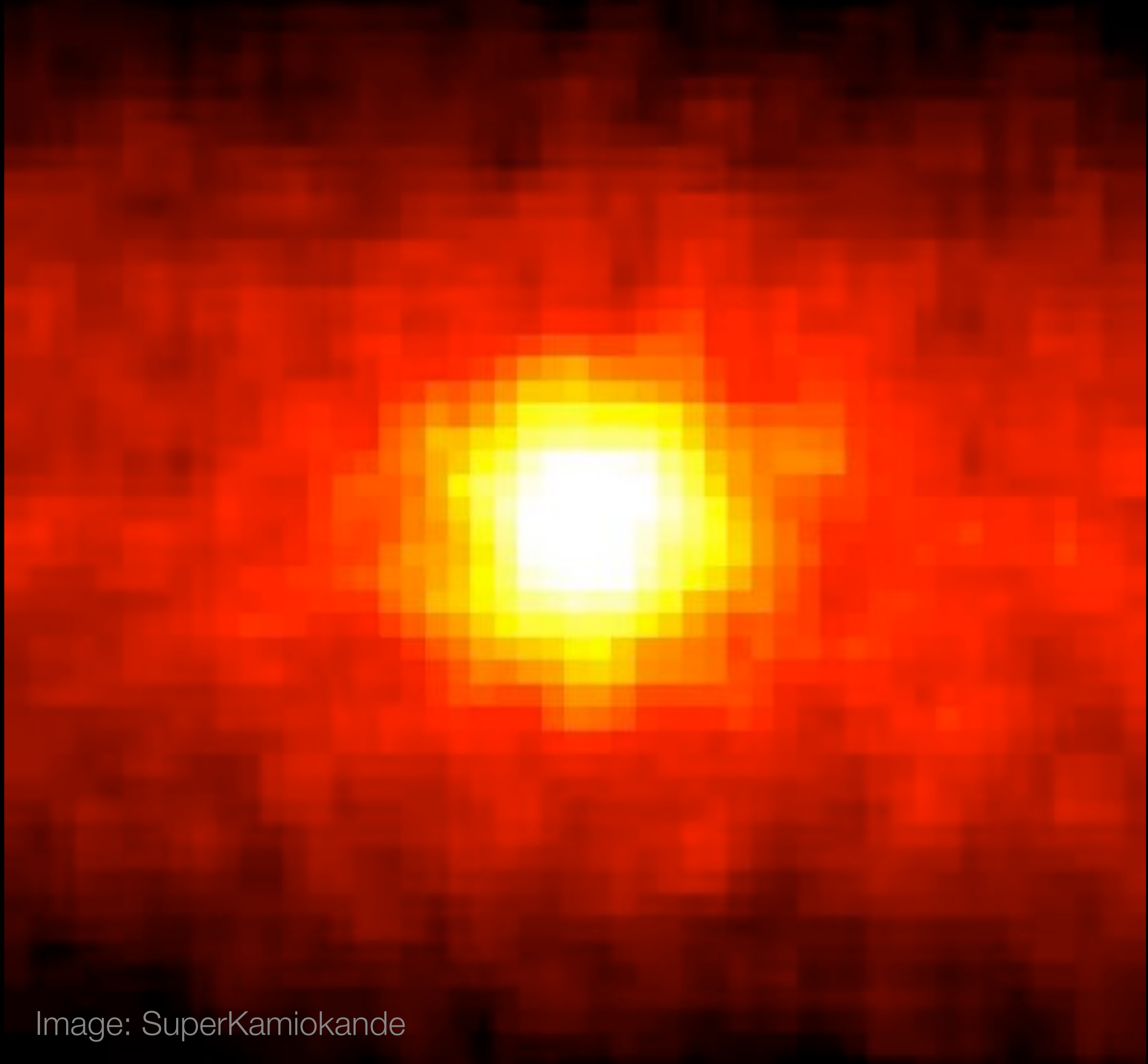
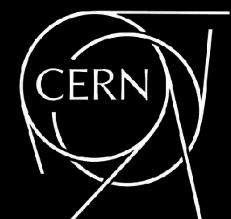
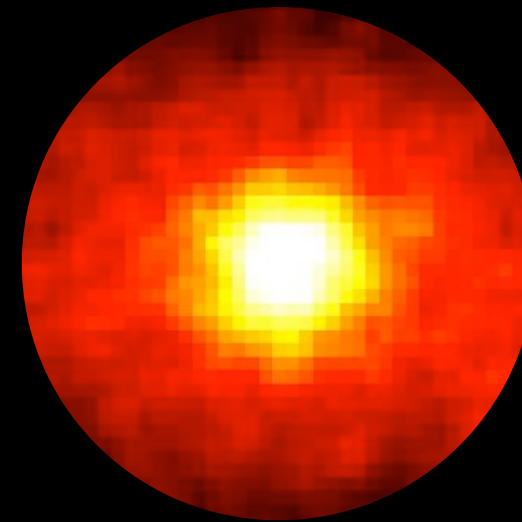
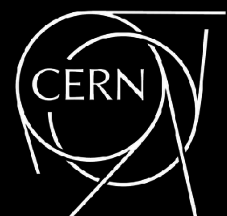
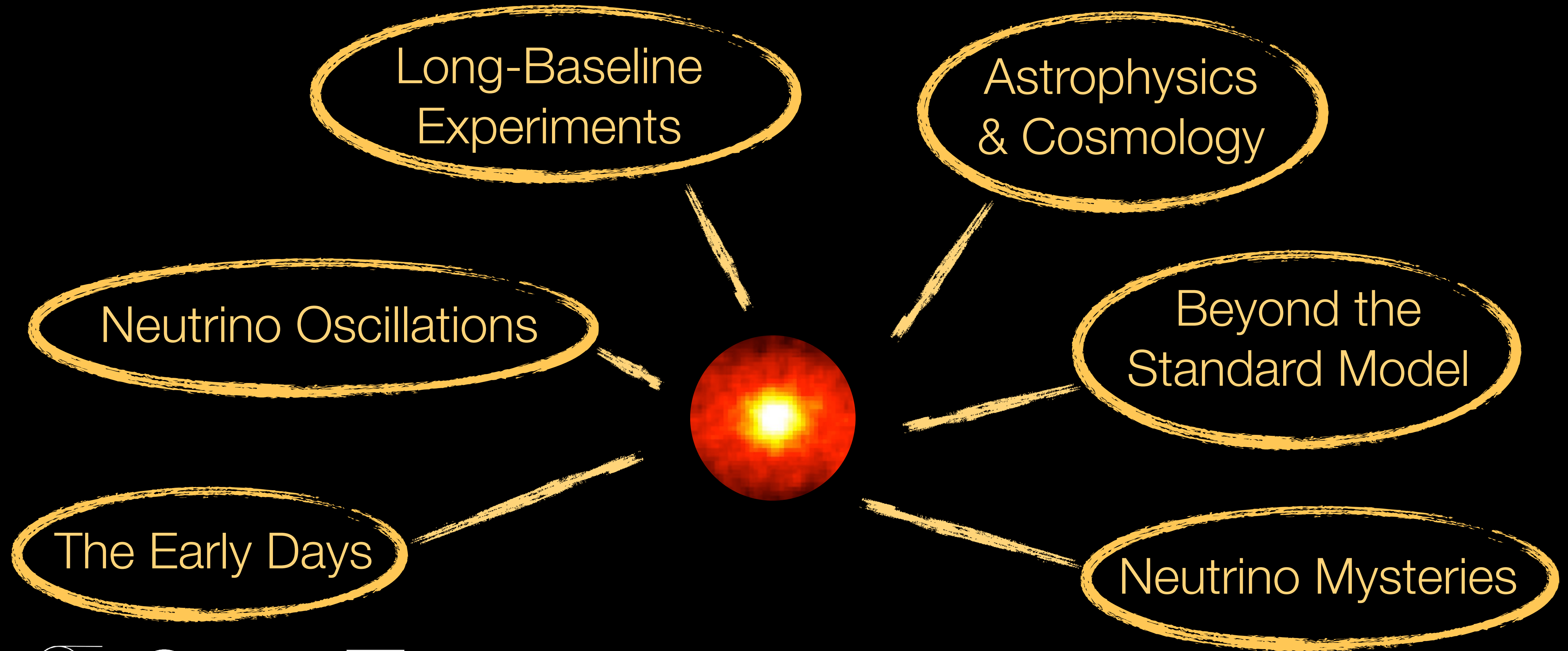


Image: SuperKamiokande

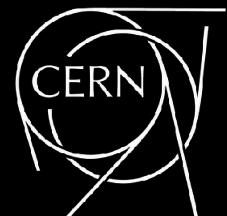
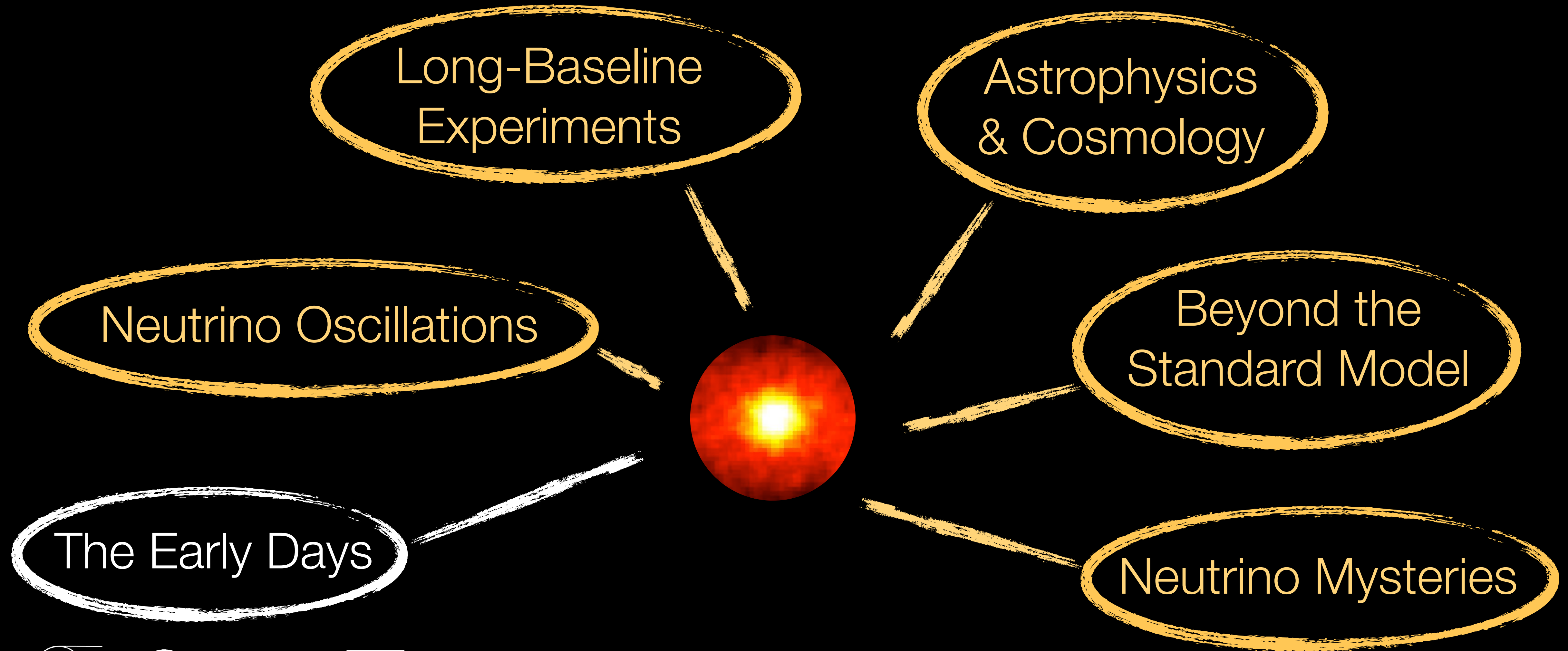
# Outline

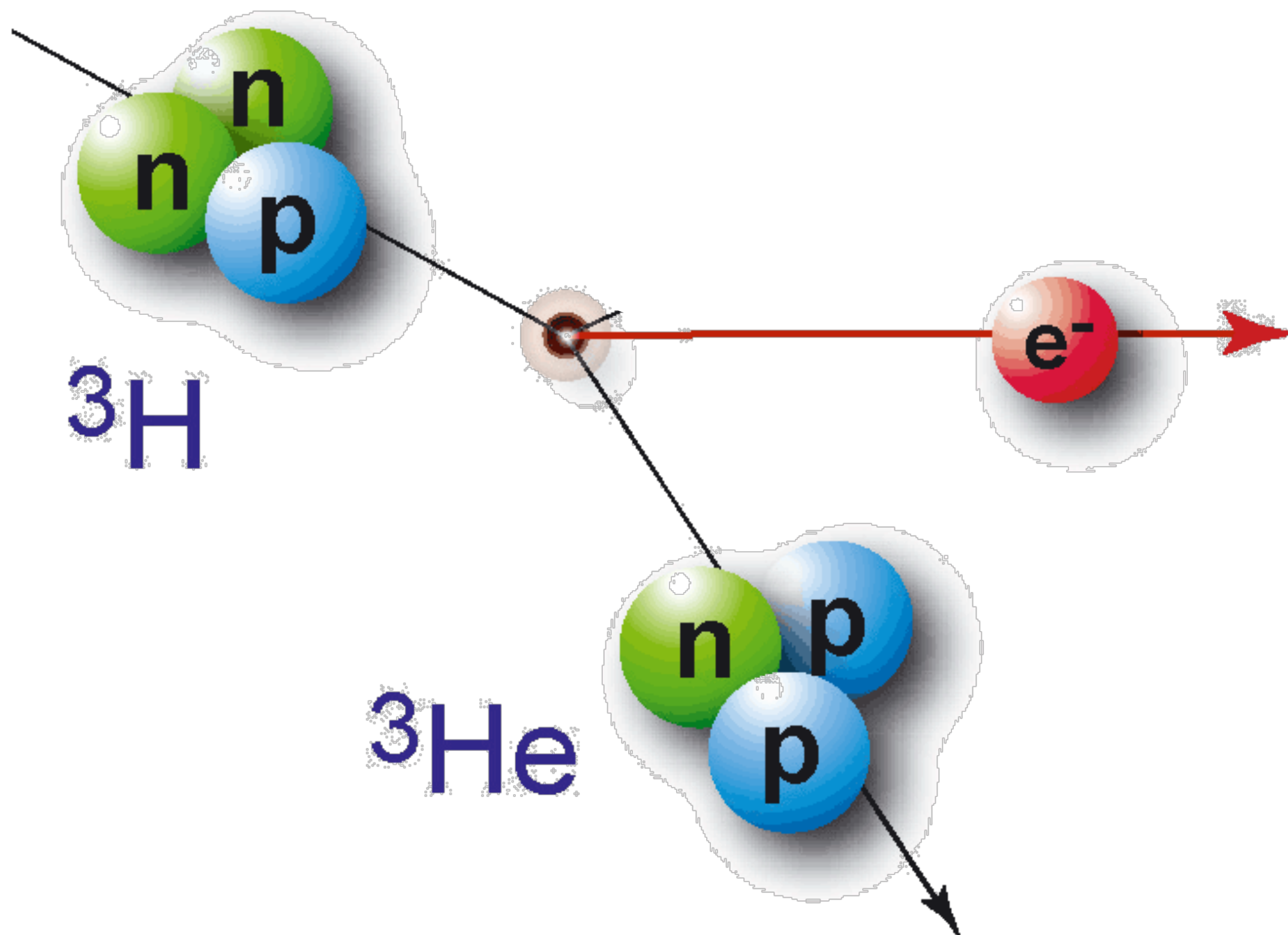


# Outline



# Outline





Wolfgang Pauli

Offener Brief an die Gruppe der Radioaktiven bei der  
Gauvereins-Tagung zu Tübingen.

Abschrift

Physikalisches Institut  
der Eidg. Technischen Hochschule  
Zürich

Zürich, 4. Dez. 1930  
Gloriastrasse

Liebe Radioaktive Damen und Herren,

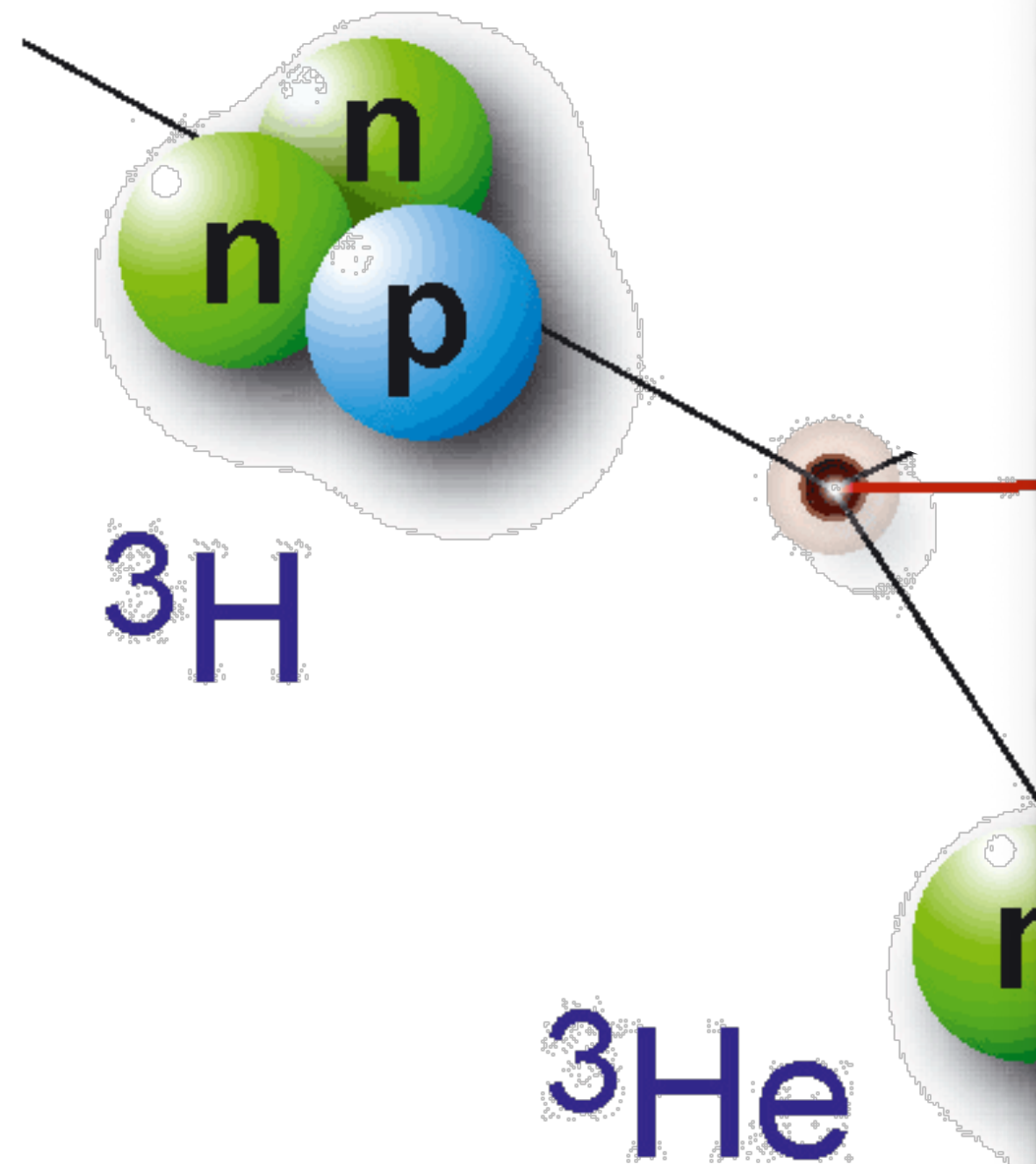
Wie der Ueberbringer dieser Zeilen, den ich mildvollst  
anzuhören bitte, Ihnen des näheren auseinandersetzen wird, bin ich  
angesichts der "falschen" Statistik der  $N$ - und  $Li-6$  Kerne, sowie  
des kontinuierlichen beta-Spektrums auf einen verzweifelten Ausweg  
verfallen um den "Wechselsatz" (1) der Statistik und den Energiesatz  
zu retten. Nämlich die Möglichkeit, es könnten elektrisch neutrale  
Teilchen, die ich Neutronen nennen will, in den Kernen existieren,  
welche den Spin  $1/2$  haben und das Ausschliessungsprinzip befolgen und  
sich von Lichtquanten ausserdem noch dadurch unterscheiden, dass sie  
nicht mit Lichtgeschwindigkeit laufen. Die Masse der Neutronen  
müsste von derselben Grossenordnung wie die Elektronenmasse sein und  
jedenfalls nicht grösser als  $0,01$  Protonenmasse.- Das kontinuierliche  
beta-Spektrum wäre dann verständlich unter der Annahme, dass beim  
beta-Zerfall mit dem Elektron jeweils noch ein Neutron emittiert  
wird, derart, dass die Summe der Energien von Neutron und Elektron  
konstant ist.

Nun handelt es sich weiter darum, welche Kräfte auf die  
Neutronen wirken. Das wahrscheinlichste Modell für das Neutron scheint  
mir aus wellenmechanischen Gründen (näheres weiss der Ueberbringer  
dieser Zeilen) dieses zu sein, dass das ruhende Neutron ein  
magnetischer Dipol von einem gewissen Moment  $\mu$  ist. Die Experimente  
verlangen wohl, dass die ionisierende Wirkung eines solchen Neutrons  
nicht grösser sein kann, als die eines gamma-Strahls und darf dann  
 $\mu$  wohl nicht grösser sein als  $e \cdot (10^{-13} \text{ cm})$ .

Ich traue mich vorläufig aber nicht, etwas über diese Idee  
zu publizieren und wende mich erst vertrauensvoll an Euch, liebe  
Radioaktive, mit der Frage, wie es um den experimentellen Nachweis  
eines solchen Neutrons stände, wenn dieses ein ebensolches oder etwa  
10mal grösseres Durchdringungsvermögen besitzen würde, wie ein  
gamma-Strahl.

Ich gebe zu, dass mein Ausweg vielleicht von vornherein  
wenig wahrscheinlich erscheinen wird, weil man die Neutronen, wenn  
sie existieren, wohl schon längst gesehen hätte. Aber nur wer wagt,  
ganz ist und der Ernst der Situation beim kontinuierlichen beta-Spektrum  
wird durch einen Ausspruch meines verehrten Vorgängers im Amt,  
Herrn Debye, beleuchtet, der mir kürzlich in Brüssel gesagt hat:  
"O, daran soll man am besten gar nicht denken, sowie an die neuen  
Steuern." Darum soll man jeden Weg zur Rettung ernstlich diskutieren.-  
Also, liebe Radioaktive, prüfet, und richtet.- Leider kann ich nicht  
persönlich in Tübingen erscheinen, da ich infolge eines in der Nacht  
vom 6. zum 7. Dez. in Zürich stattfindenden Balles hier unabkömmlich  
bin.- Mit vielen Grüssen an Euch, sowie an Herrn Baek, Euer  
untertänigster Diener

ges. W. Pauli



Wolfgang Pauli

Original - Photocopy of PLC 0393

Abschrift/15.12.56 FN

Offener Brief an die Gruppe der Radioaktiven bei der  
Gauvereins-Tagung zu Tübingen.

Abschrift

Physikalisches Institut  
der Eidg. Technischen Hochschule  
Zürich

Zürich, 4. Dez. 1930  
Gloriastrasse

Liebe Radioaktive Damen und Herren,

Wie der Ueberbringer dieser Zeilen, den ich huldvollst  
ansuhören bitte, Ihnen des näheren auseinandersetzen wird, bin ich  
angesichts der "falschen" Statistik der N- und Li-6 Kerne, sowie  
des kontinuierlichen beta-Spektrums auf einen verzweifelten Ausweg  
verfallen um den "Wechselsatz" (1) der Statistik und den Energiesatz  
zu retten. Nämlich die Möglichkeit, es könnten elektrisch neutrale  
Teilchen, die ich Neutronen nennen will, in den Kernen existieren,  
welche den Spin  $1/2$  haben und das Ausschliessungsprinzip befolgen und  
sich von Lichtquanten ausserdem noch dadurch unterscheiden, dass sie  
nicht mit Lichtgeschwindigkeit laufen. Die Masse der Neutronen  
müsste von derselben Grossenordnung wie die Elektronenmasse sein und  
jedenfalls nicht grösser als 0,01 Protonenmasse.- Das kontinuierliche  
beta-Spektrum wäre dann verständlich unter der Annahme, dass beim  
beta-Zerfall mit dem Elektron jeweils noch ein Neutron emittiert  
wird, derart, dass die Summe der Energien von Neutron und Elektron  
konstant ist.

Nun handelt es sich weiter darum, welche Kräfte auf die  
Neutronen wirken. Das wahrscheinlichste Modell für das Neutron scheint

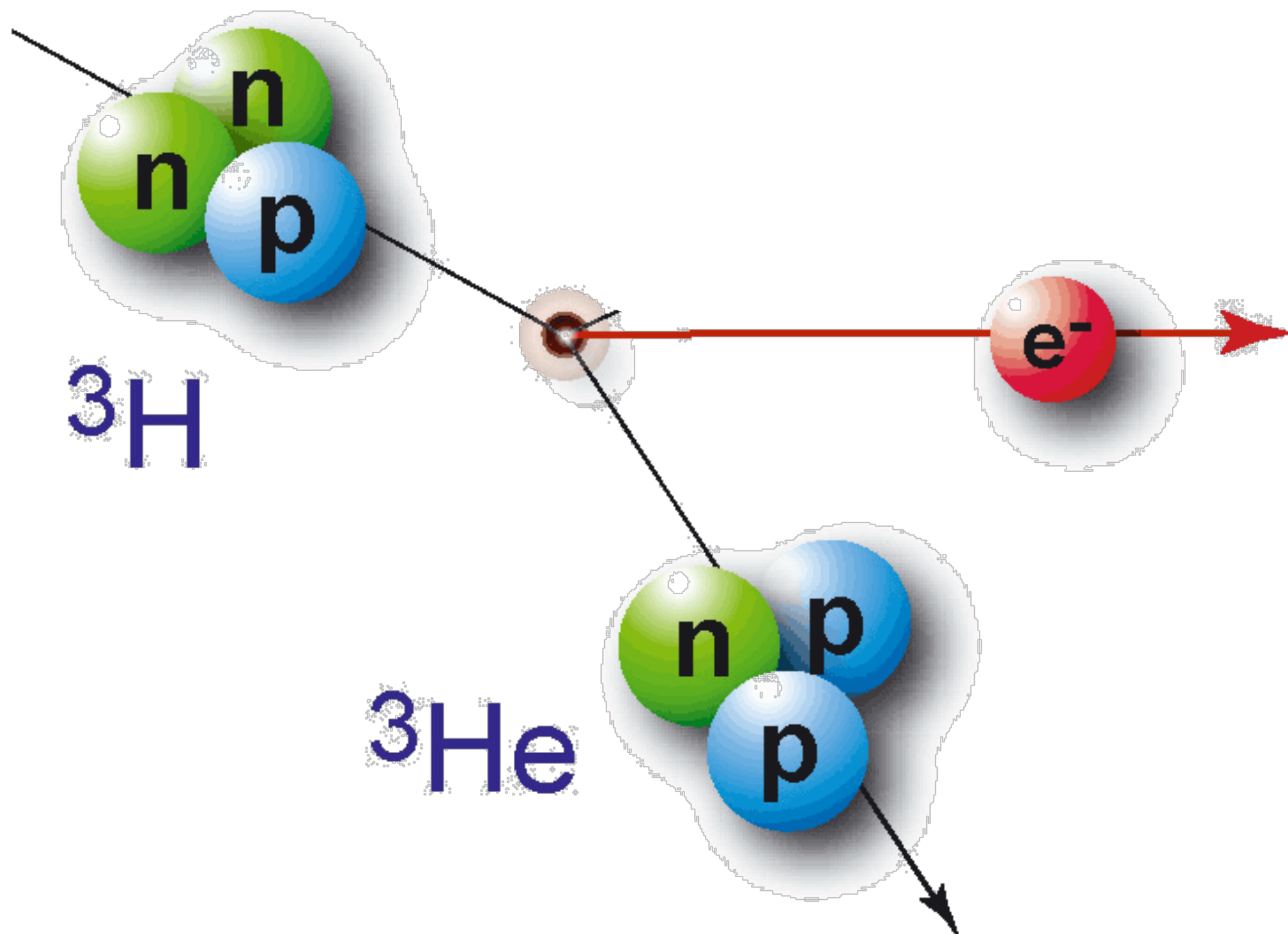


Nun handelt es sich weiter darum, welche Kräfte auf die Neutronen wirken. Das wahrscheinlichste Modell für das Neutron scheint mir aus wellenmechanischen Gründen (näheres weiss der Ueberbringer dieser Zeilen) dieses zu sein, dass das ruhende Neutron ein magnetischer Dipol von einem gewissen Moment  $\mu$  ist. Die Experimente verlangen wohl, dass die ionisierende Wirkung eines solchen Neutrons nicht grösser sein kann, als die eines gamma-Strahls und darf dann  $\mu$  wohl nicht grösser sein als  $e \cdot (10^{-13} \text{ cm})$ .

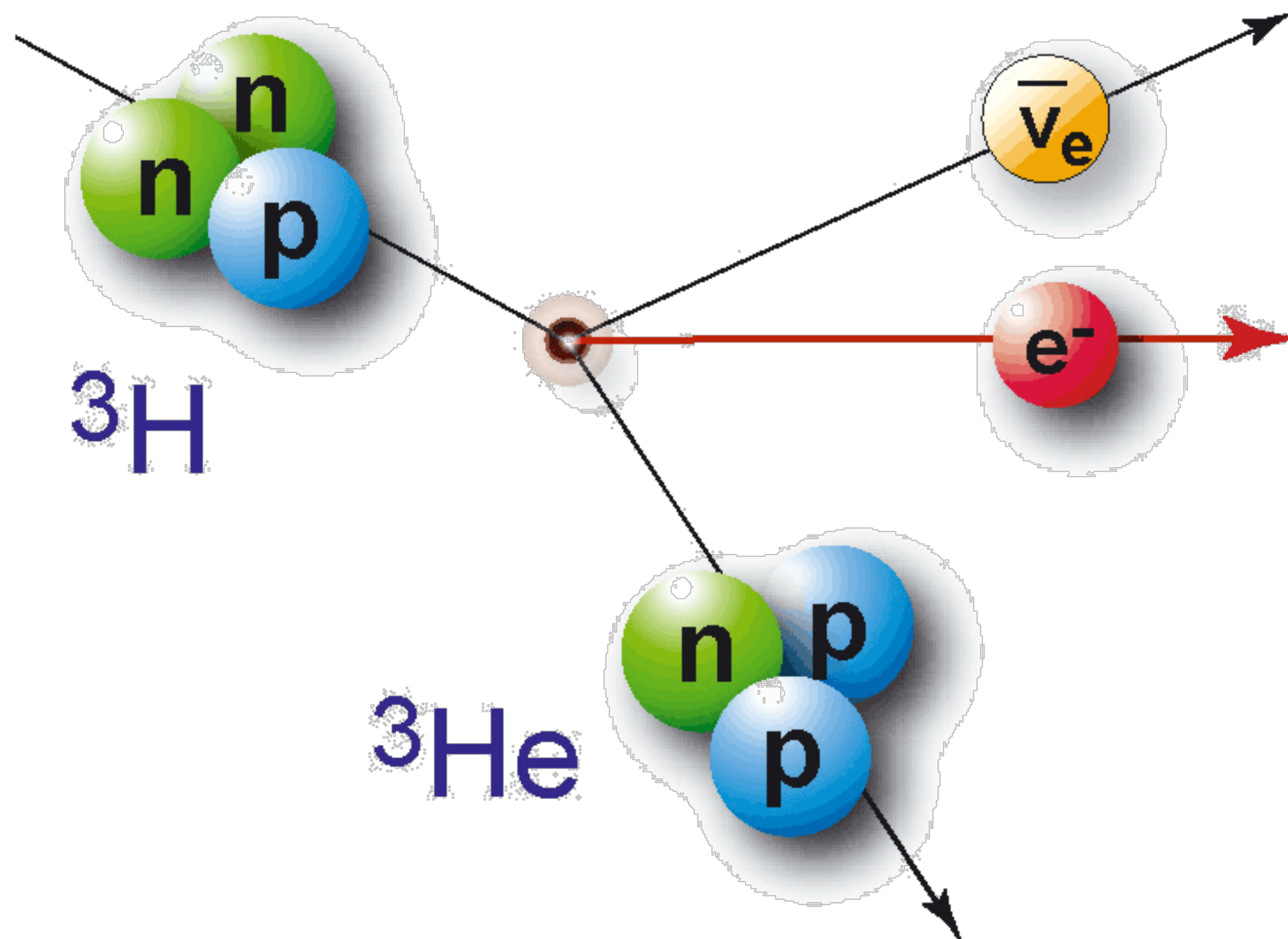
Ich traue mich vorläufig aber nicht, etwas über diese Idee zu publizieren und wende mich erst vertrauensvoll an Euch, liebe Radioaktive, mit der Frage, wie es um den experimentellen Nachweis eines solchen Neutrons stände, wenn dieses ein ebensolches oder etwa 10mal grösseres Durchdringungsvermögen besitzen würde, wie ein gamma-Strahl.

3  
Ich gebe zu, dass mein Ausweg vielleicht von vornherein wenig wahrscheinlich erscheinen wird, weil man die Neutronen, wenn sie existieren, wohl schon längst gesehen hätte. Aber nur wer wagt, wagt und der Ernst der Situation beim kontinuierliche beta-Spektrum wird durch einen Ausspruch meines verehrten Vorgängers im Amte, Herrn Debye, beleuchtet, der mir kürzlich in Brüssel gesagt hat: "O, daran soll man am besten gar nicht denken, sowie an die neuen Steuern." Darum soll man jeden Weg zur Rettung ernstlich diskutieren.- Also, liebe Radioaktive, prüfet, und richtet.- Leider kann ich nicht persönlich in Tübingen erscheinen, da ich infolge eines in der Nacht vom 6. zum 7. Dez. in Zürich stattfindenden Balles hier unabhkömmlich bin.- Mit vielen Grüssen an Euch, sowie an Herrn Back, Euer untertänigster Diener

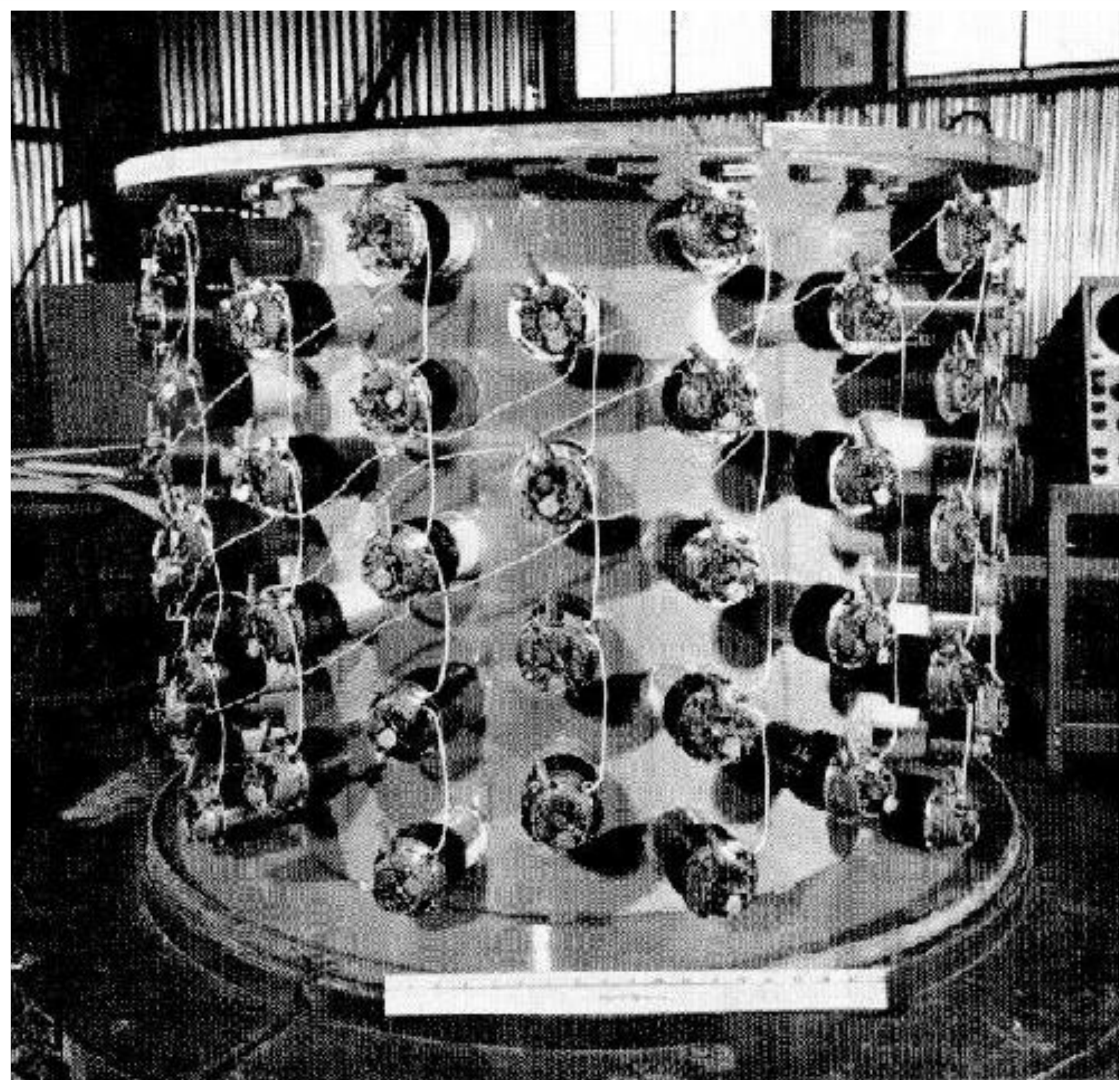
ges. W. Pauli



Wolfgang Pauli



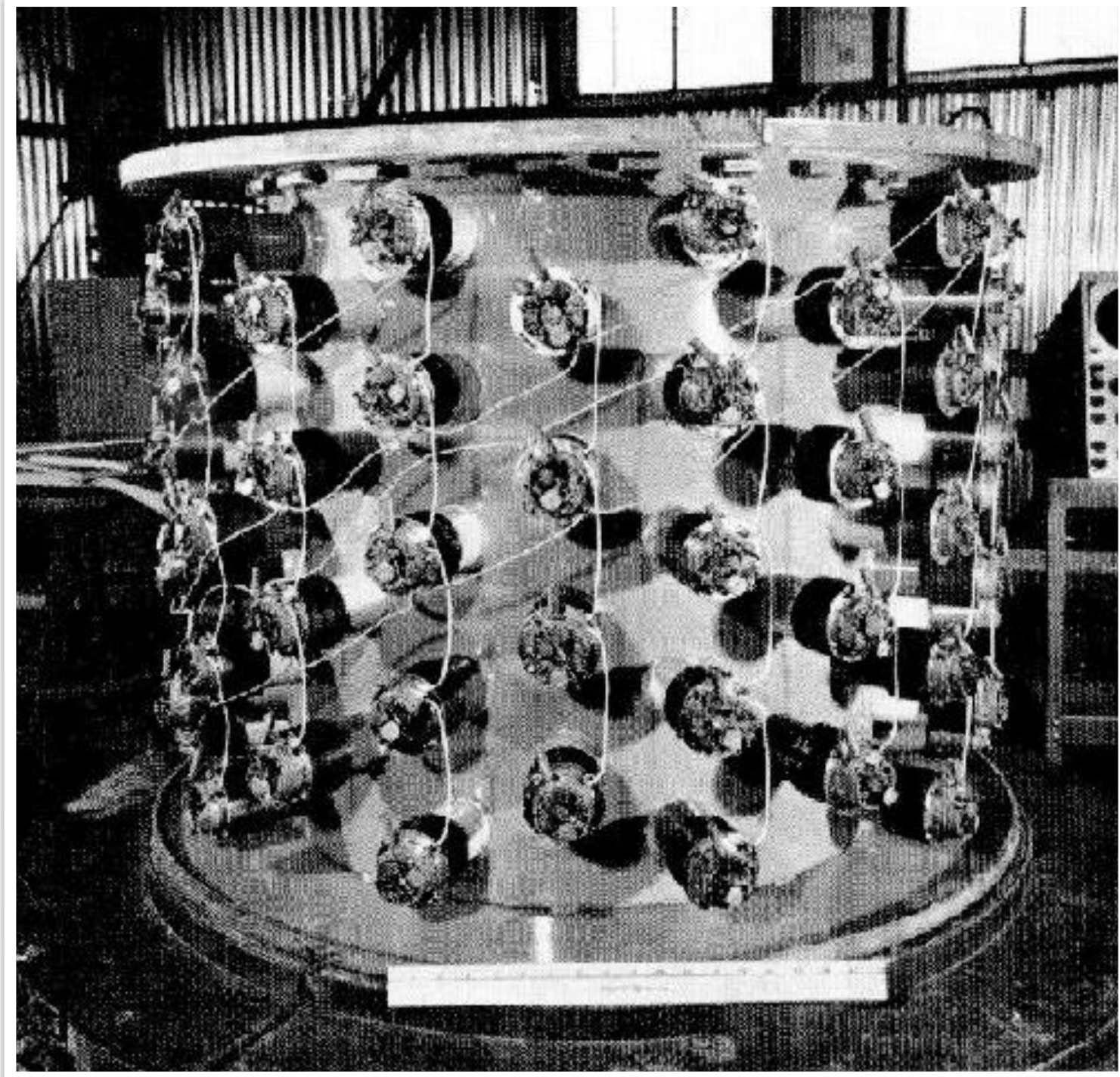
Wolfgang Pauli



Poltergeist (1956)



Fred Reines, Clyde Cowan



Poltergeist (1956)



Fred Reines, Clyde Cowan

Nobel Prize in Physics 1995  
“for the detection of the neutrino”



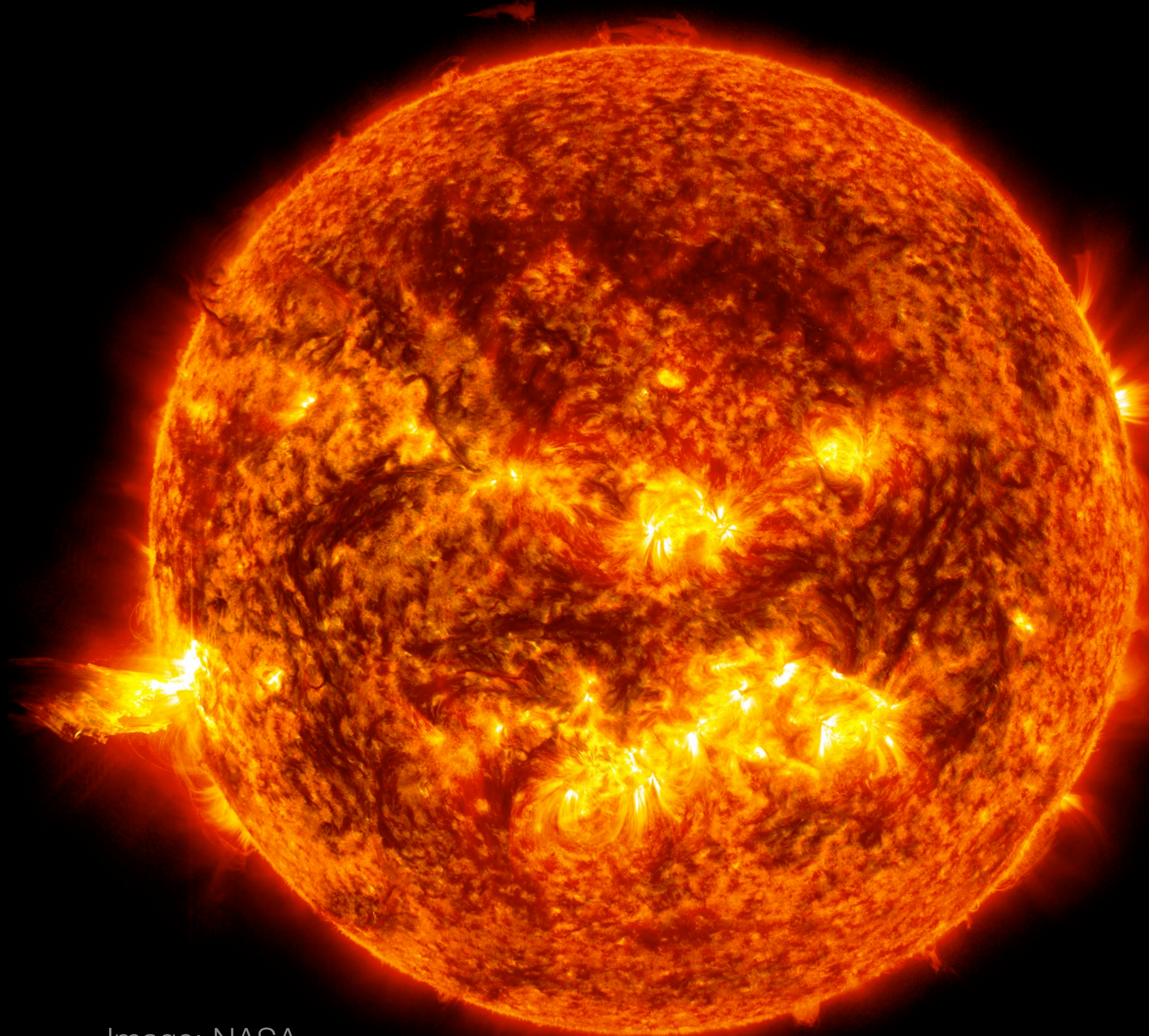


Image: NASA

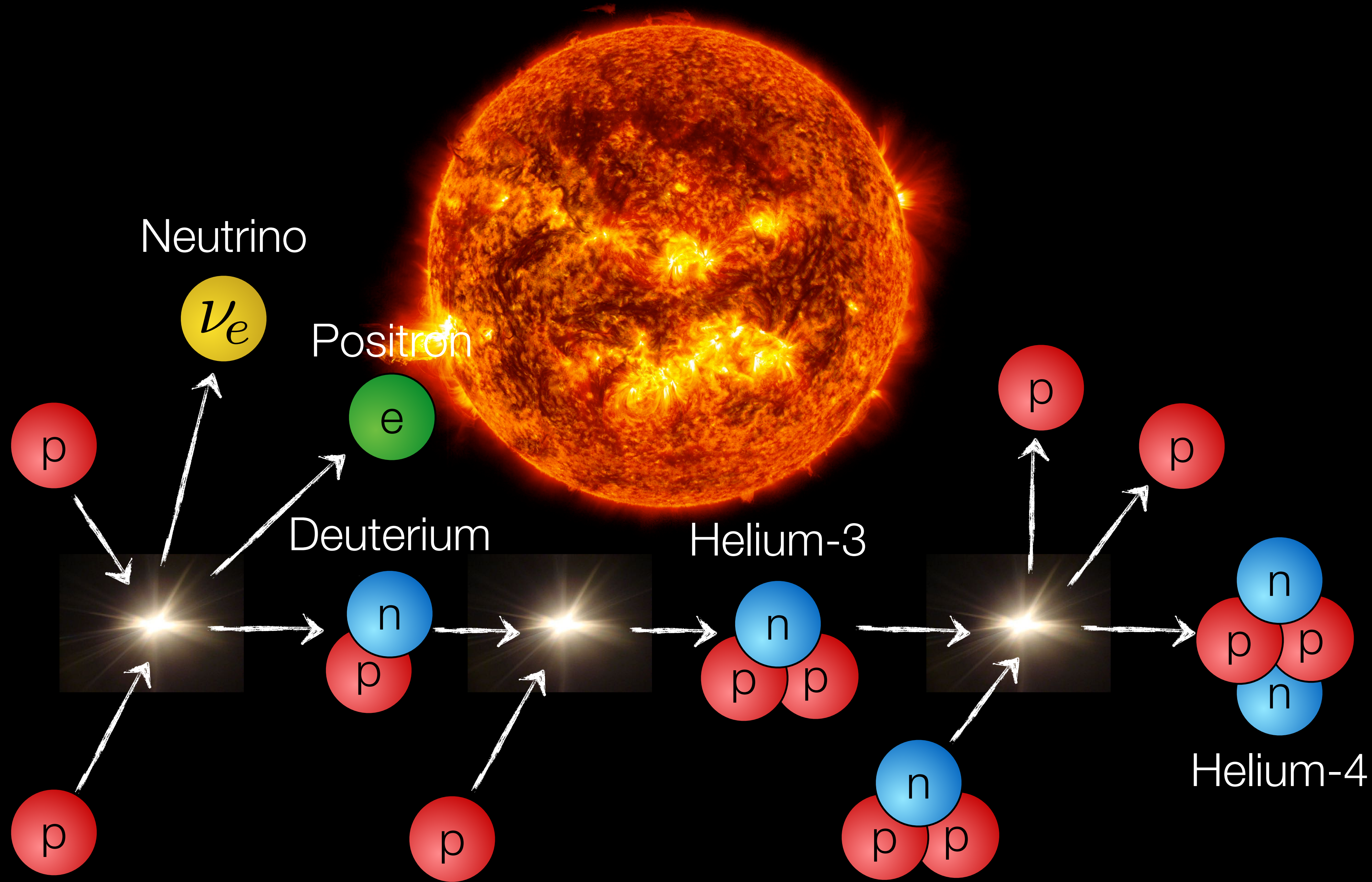


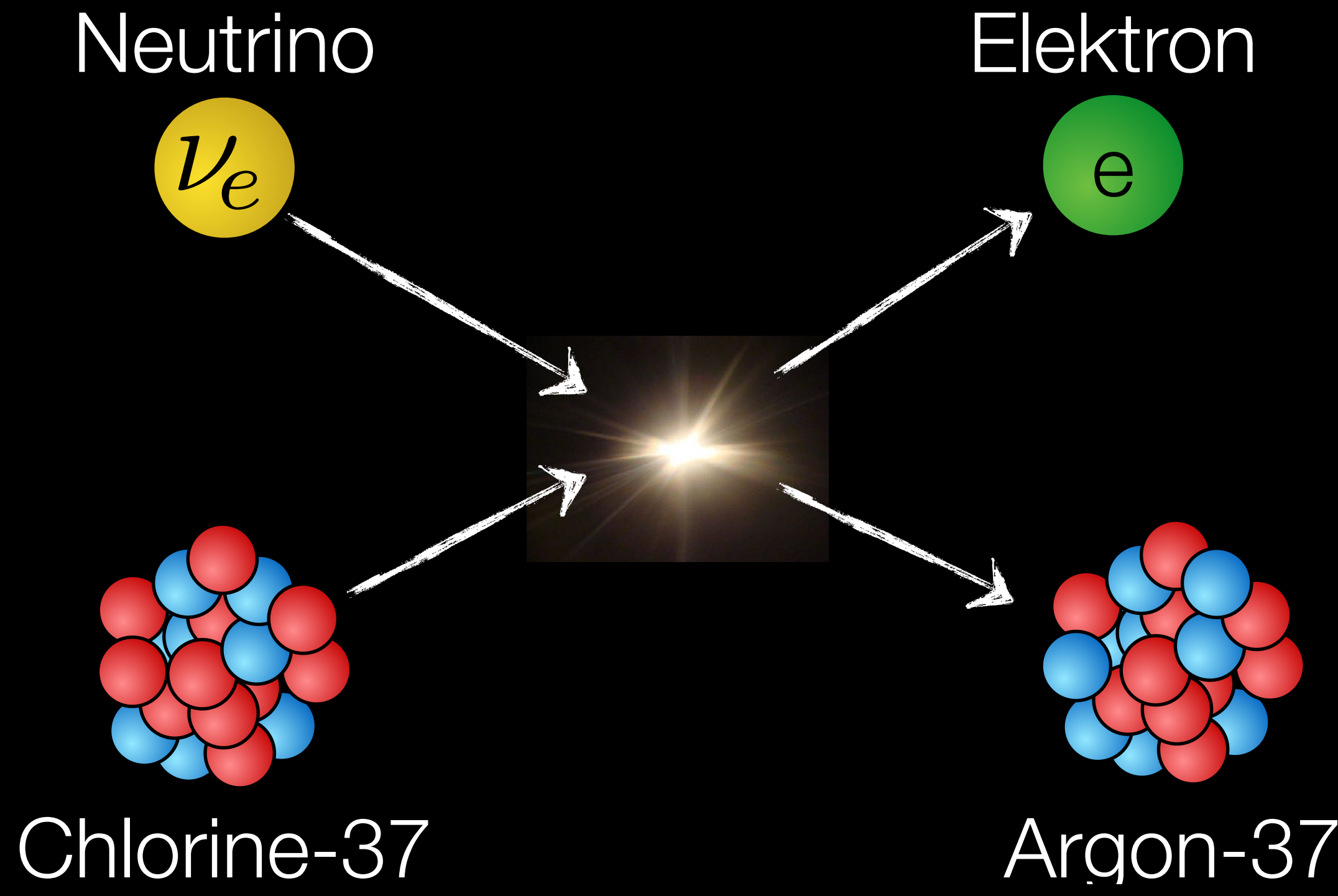
Image: NASA





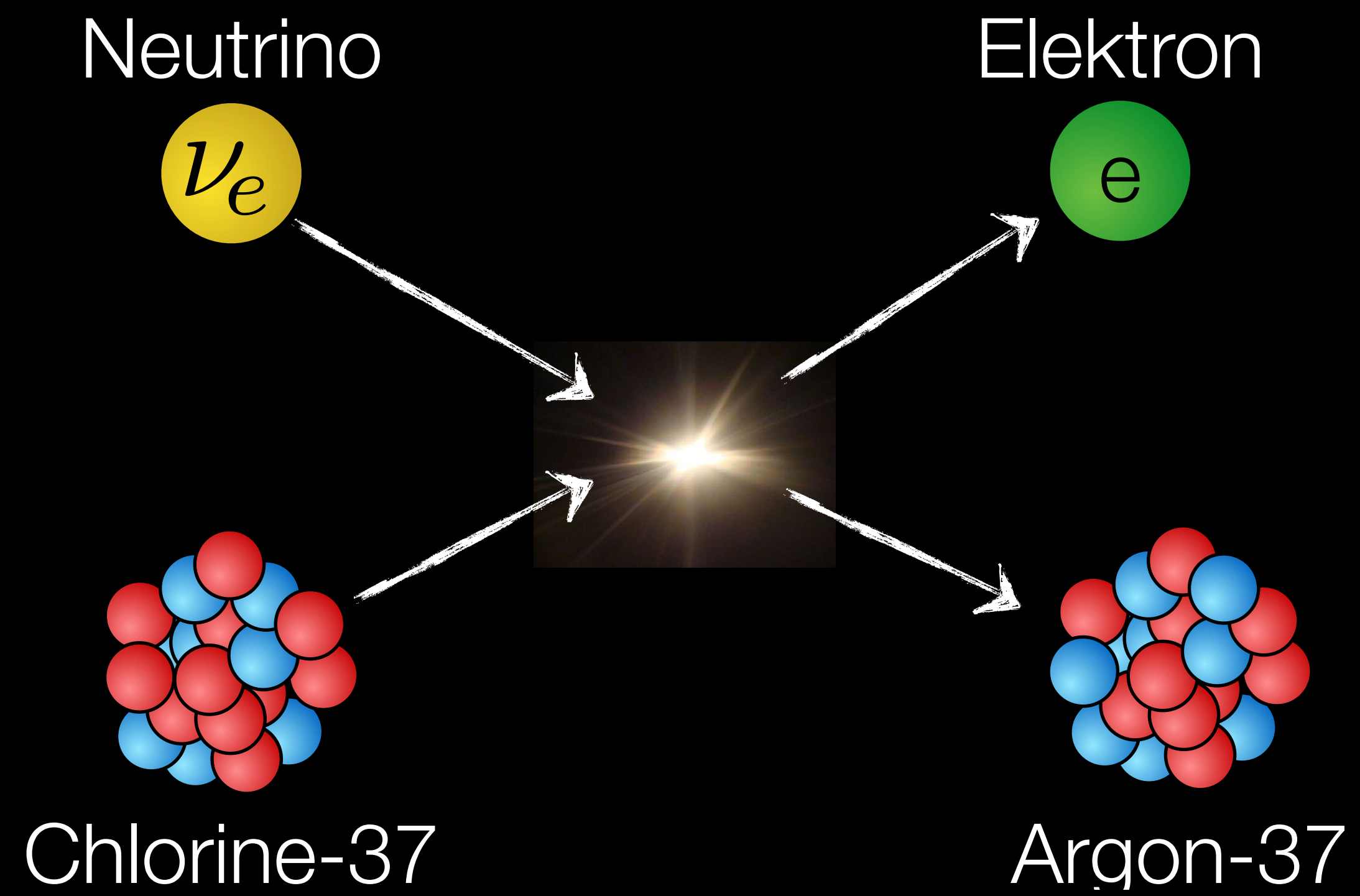
Nobel Prize in Physics 2002  
“for pioneering contributions  
to astrophysics,  
in particular for the detection  
of cosmic neutrinos”







Ray Davis

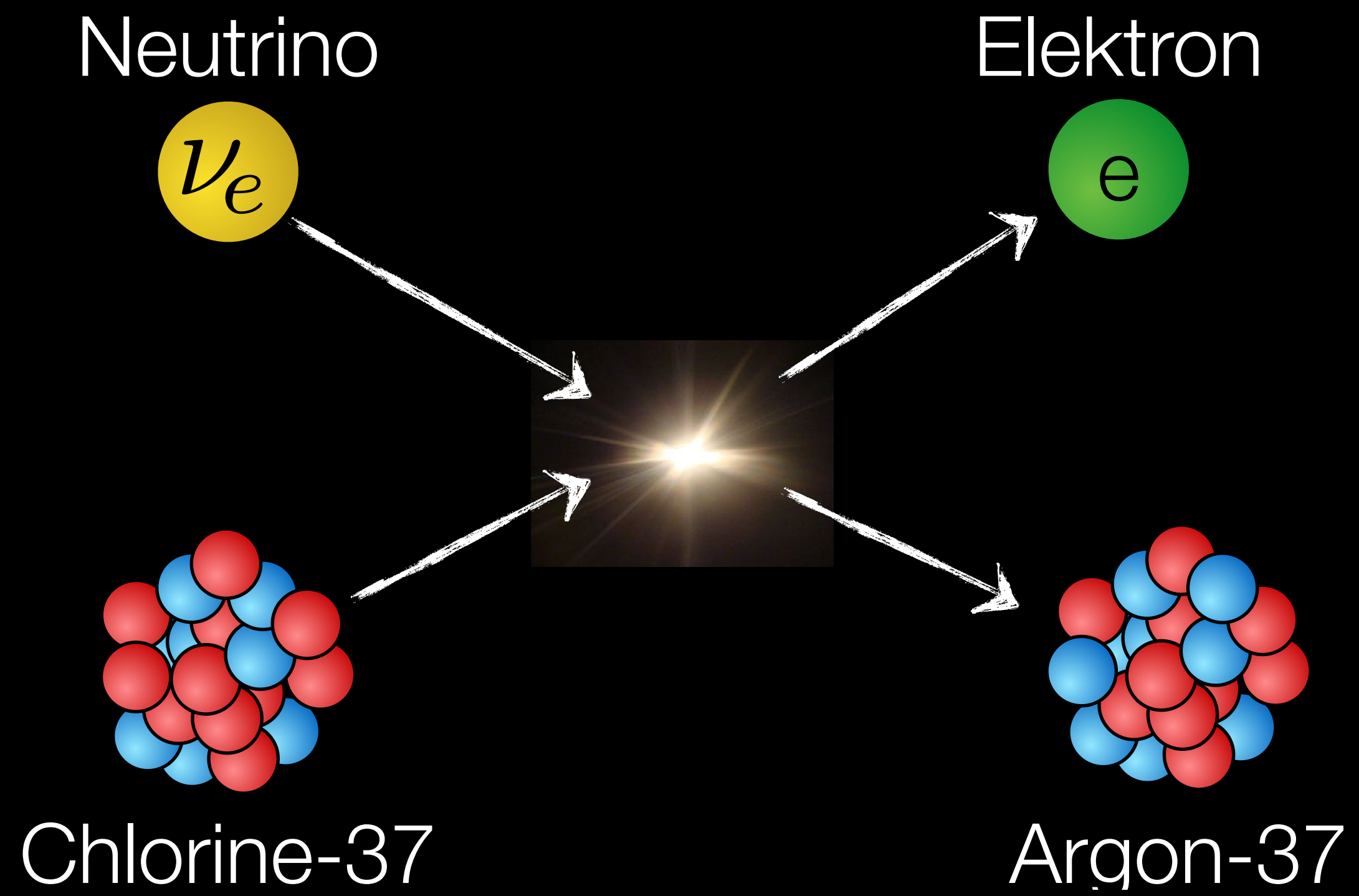




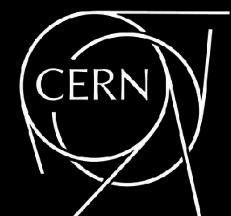
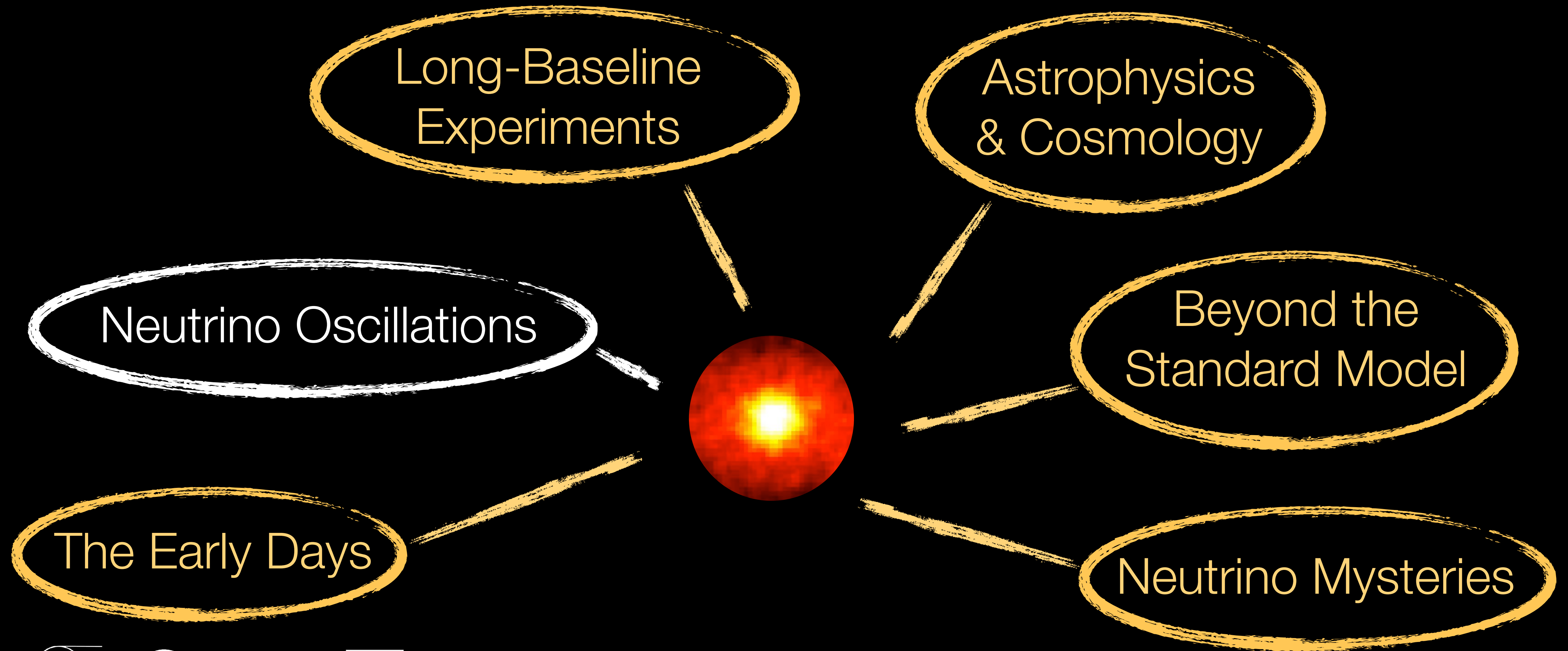
John Bahcall



Ray Davis

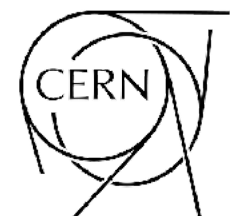
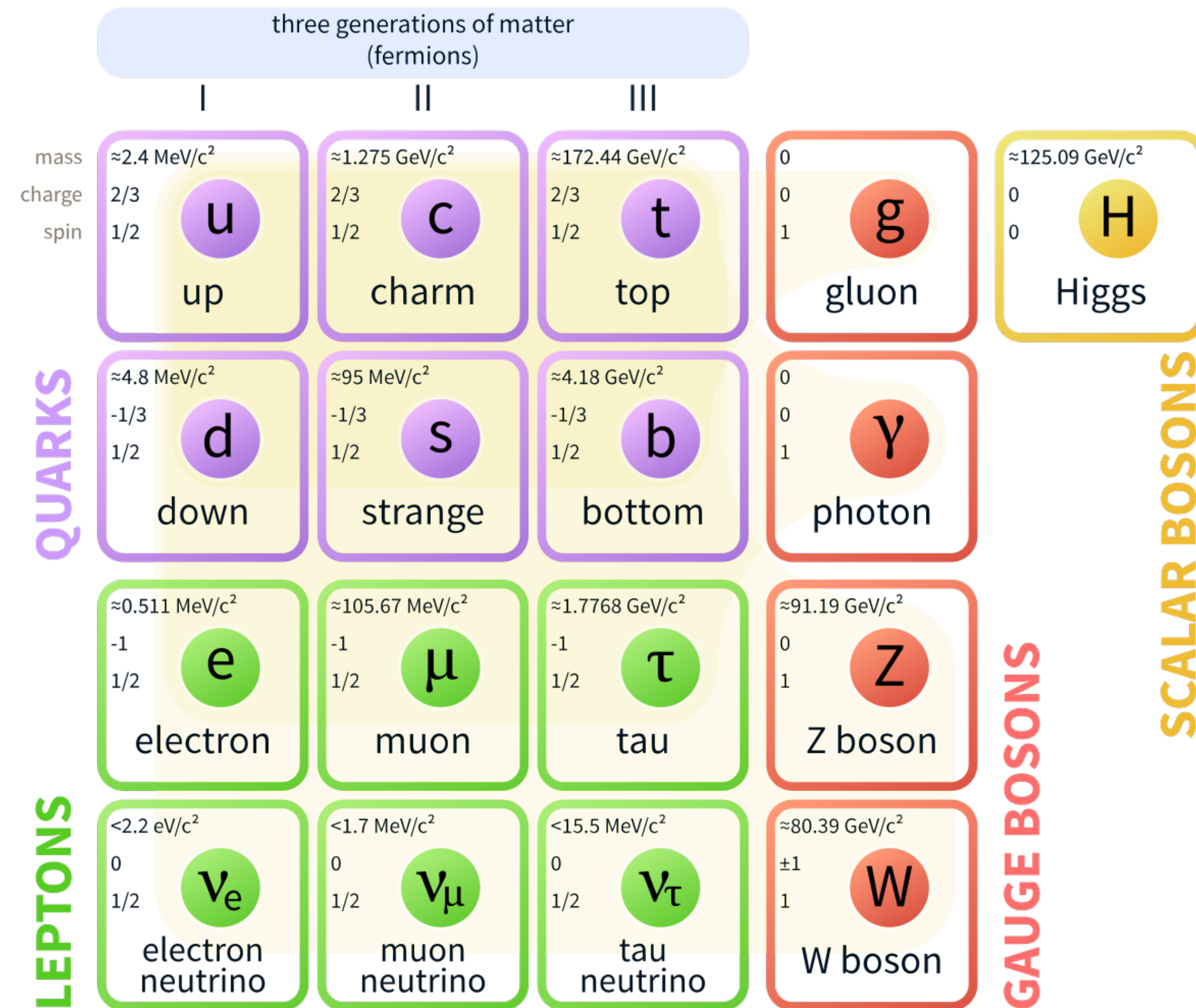


# Outline



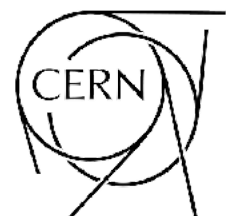
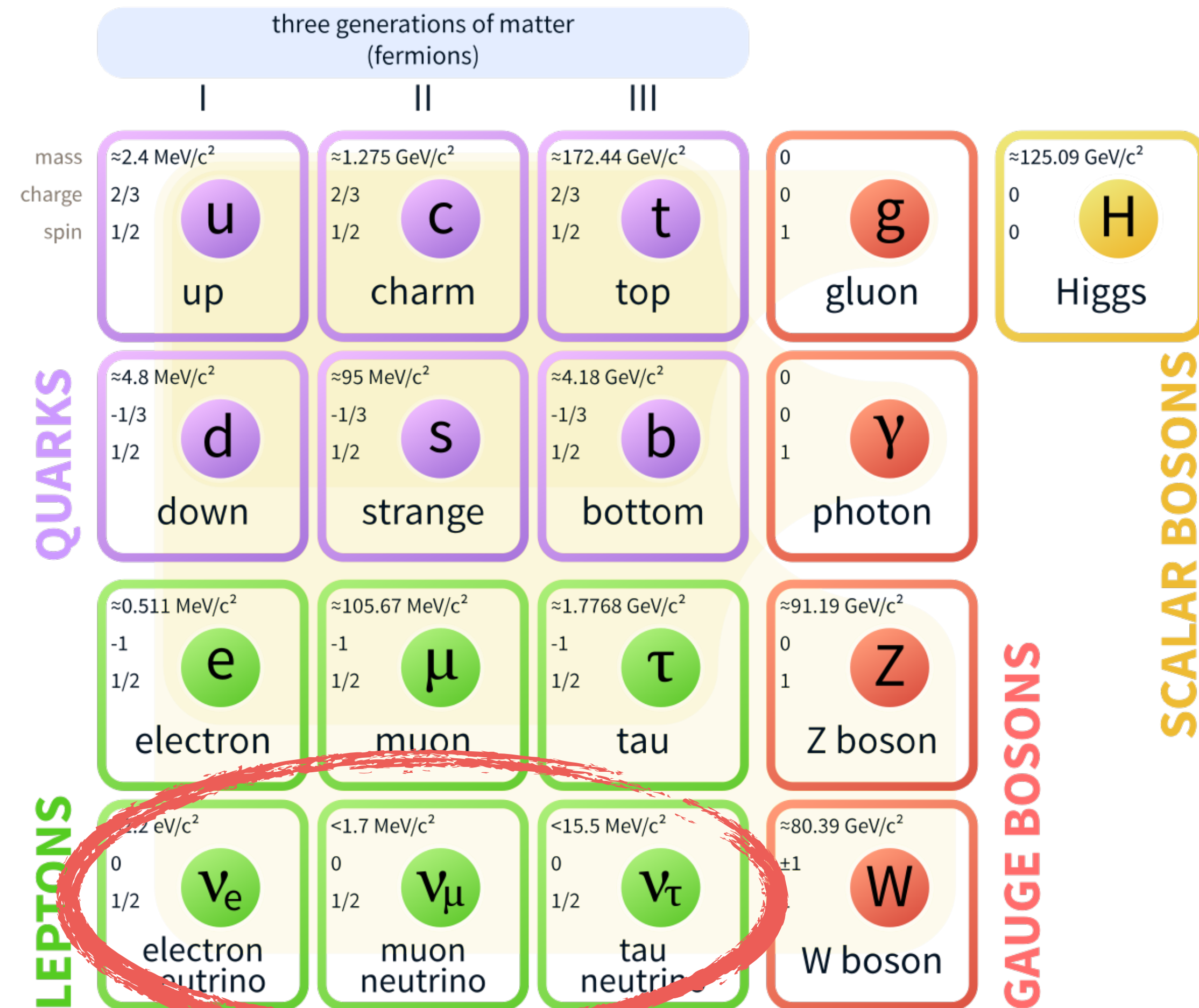
# Particle Physicists' View of Neutrinos

## Standard Model of Elementary Particles



# Particle Physicists' View of Neutrinos

## Standard Model of Elementary Particles



# Neutrinos in the Standard Model

$$|\nu_\alpha\rangle = \sum_j U_{\alpha j}^* |\nu_j\rangle$$



# Neutrinos in the Standard Model

$$|\nu_\alpha\rangle = \sum_j U_{\alpha j}^* |\nu_j\rangle$$

**Mass Eigenstate**  
(well-defined energy)

# Neutrinos in the Standard Model

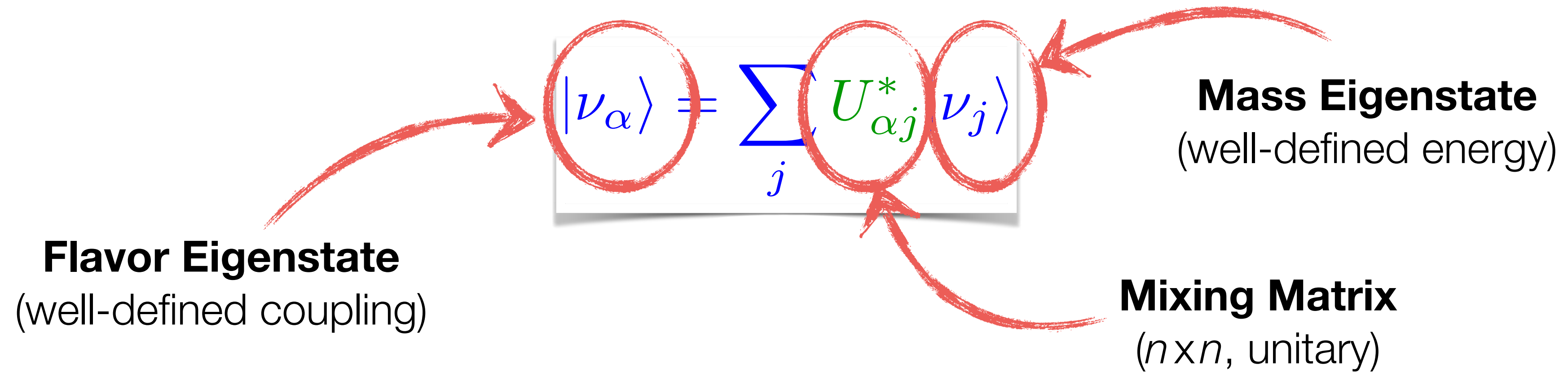
The diagram illustrates the relationship between Flavor Eigenstate and Mass Eigenstate. A central equation is boxed and annotated with red circles and arrows:

$$|\nu_\alpha\rangle = \sum_j U_{\alpha j}^* |\nu_j\rangle$$

**Flavor Eigenstate**  
(well-defined coupling)

**Mass Eigenstate**  
(well-defined energy)

# Neutrinos in the Standard Model



# Neutrinos in the Standard Model

**Flavor Eigenstate**  
(well-defined coupling)

$$|\nu_\alpha\rangle = \sum_j U_{\alpha j}^* |\nu_j\rangle$$

**Mass Eigenstate**  
(well-defined energy)

**Mixing Matrix**  
( $n \times n$ , unitary)

3-flavor mixing matrix:

$$U = \begin{pmatrix} 1 & & \\ & c_{23} & s_{23} \\ & -s_{23} & c_{23} \end{pmatrix} \begin{pmatrix} c_{13} & & s_{13}e^{-i\delta} \\ & 1 & \\ -s_{13}e^{i\delta} & & c_{13} \end{pmatrix} \begin{pmatrix} c_{12} & s_{12} & \\ -s_{12} & c_{12} & \\ & & 1 \end{pmatrix}$$

# Neutrinos in the Standard Model

$$|\nu_\alpha\rangle = \sum_j U_{\alpha j}^* |\nu_j\rangle$$

**Flavor Eigenstate**  
(well-defined coupling)

**Mass Eigenstate**  
(well-defined energy)

**Mixing Matrix**  
( $n \times n$ , unitary)

3-flavor mixing matrix:

$$U = \begin{pmatrix} 1 & & \\ c_{23} & s_{23} & \\ -s_{23} & c_{23} & \end{pmatrix} \begin{pmatrix} c_{13} & & s_{13}e^{-i\delta} \\ & 1 & \\ -s_{13}e^{i\delta} & & c_{13} \end{pmatrix} \begin{pmatrix} c_{12} & s_{12} & \\ -s_{12} & c_{12} & \\ & & 1 \end{pmatrix}$$

**Large**  
close to maximal

# Neutrinos in the Standard Model

$$|\nu_\alpha\rangle = \sum_j U_{\alpha j}^* |\nu_j\rangle$$

**Flavor Eigenstate**  
(well-defined coupling)

**Mass Eigenstate**  
(well-defined energy)

**Mixing Matrix**  
( $n \times n$ , unitary)

3-flavor mixing matrix:

$$U = \begin{pmatrix} 1 & & \\ c_{23} & s_{23} & \\ -s_{23} & c_{23} & \end{pmatrix} \begin{pmatrix} c_{13} & & s_{13}e^{-i\delta} \\ & 1 & \\ -s_{13}e^{i\delta} & & c_{13} \end{pmatrix} \begin{pmatrix} c_{12} & s_{12} & \\ -s_{12} & c_{12} & \\ & & 1 \end{pmatrix}$$

**Large**  
close to maximal

**Large**  
but non-maximal

# Neutrinos in the Standard Model

$$|\nu_\alpha\rangle = \sum_j U_{\alpha j}^* |\nu_j\rangle$$

**Flavor Eigenstate**  
(well-defined coupling)

**Mass Eigenstate**  
(well-defined energy)

**Mixing Matrix**  
( $n \times n$ , unitary)

3-flavor mixing matrix:

$$U = \begin{pmatrix} 1 & & \\ c_{23} & s_{23} & \\ -s_{23} & c_{23} & \end{pmatrix} \begin{pmatrix} c_{13} & s_{13}e^{-i\delta} & \\ & 1 & \\ -s_{13}e^{i\delta} & & c_{13} \end{pmatrix} \begin{pmatrix} c_{12} & s_{12} & \\ -s_{12} & c_{12} & \\ & & 1 \end{pmatrix}$$

**Large**  
close to maximal

**Small**  
but non-negligible ( $\sim 0.1$ )

**Large**  
but non-maximal

# Neutrinos in the Standard Model

$$|\nu_\alpha\rangle = \sum_j U_{\alpha j}^* |\nu_j\rangle$$

**Flavor Eigenstate**  
(well-defined coupling)

**Mass Eigenstate**  
(well-defined energy)

**Mixing Matrix**  
( $n \times n$ , unitary)

3-flavor mixing matrix:

$$U = \begin{pmatrix} 1 & & & \\ c_{23} & s_{23} & & \\ -s_{23} & c_{23} & & \\ & & & 1 \end{pmatrix} \begin{pmatrix} c_{13} & & s_{13}e^{-i\delta} \\ & 1 & \\ -s_{13}e^{i\delta} & & c_{13} \end{pmatrix} \begin{pmatrix} c_{12} & s_{12} \\ -s_{12} & c_{12} \\ & & 1 \end{pmatrix}$$

**Unknown**

**Large**  
close to maximal

**Small**  
but non-negligible ( $\sim 0.1$ )

**Large**  
but non-maximal



# Neutrino Oscillations

- Initial state

$$|\nu_\alpha\rangle = \sum_j U_{\alpha j}^* |\nu_j\rangle$$

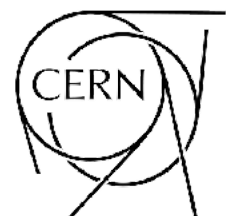
- Transition probability

$$\begin{aligned} P_{\alpha \rightarrow \beta} &= |\langle \nu_\beta | e^{-i\hat{H}T} | \nu_\alpha \rangle|^2 \\ &= \sum_{j,k} U_{\alpha j}^* U_{\beta j} U_{\alpha k} U_{\beta k}^* \exp[-i(E_j - E_k)T] \end{aligned}$$

- Two-flavor approximation

$$U = \begin{pmatrix} \cos \theta & \sin \theta \\ -\sin \theta & \cos \theta \end{pmatrix}$$

$$P_{\alpha \rightarrow \beta} \simeq \sin^2 2\theta \sin^2 \frac{\Delta m^2 T}{4E}$$



# Neutrino Oscillations

- Initial state

$$|\nu_\alpha\rangle = \sum_j U_{\alpha j}^* |\nu_j\rangle$$

- Transition probability

$$P_{\alpha \rightarrow \beta} = |\langle \nu_\beta | e^{-i\hat{H}T} | \nu_\alpha \rangle|^2$$

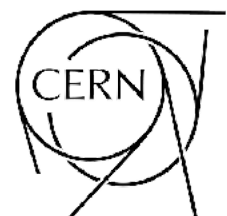
$$= \sum_{j,k} U_{\alpha j}^* U_{\beta j} U_{\alpha k} U_{\beta k}^* \exp[-i(E_j - E_k)T]$$

**Mixing angle**  
controls oscillation  
amplitude

- Two-flavor approximation

$$U = \begin{pmatrix} \cos \theta & \sin \theta \\ -\sin \theta & \cos \theta \end{pmatrix}$$

$$P_{\alpha \rightarrow \beta} \simeq \sin^2 2\theta \sin^2 \frac{\Delta m^2 T}{4E}$$



# Neutrino Oscillations

- Initial state

$$|\nu_\alpha\rangle = \sum_j U_{\alpha j}^* |\nu_j\rangle$$

- Transition probability

$$P_{\alpha \rightarrow \beta} = |\langle \nu_\beta | e^{-i\hat{H}T} | \nu_\alpha \rangle|^2$$

$$= \sum_{j,k} U_{\alpha j}^* U_{\beta j} U_{\alpha k} U_{\beta k}^* \exp[-i(E_j - E_k)T]$$

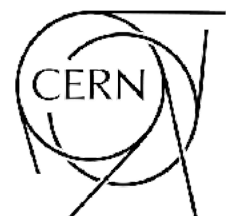
- Two-flavor approximation

$$U = \begin{pmatrix} \cos \theta & \sin \theta \\ -\sin \theta & \cos \theta \end{pmatrix}$$

$$P_{\alpha \rightarrow \beta} \simeq \sin^2 2\theta \sin^2 \frac{\Delta m^2 T}{4E}$$

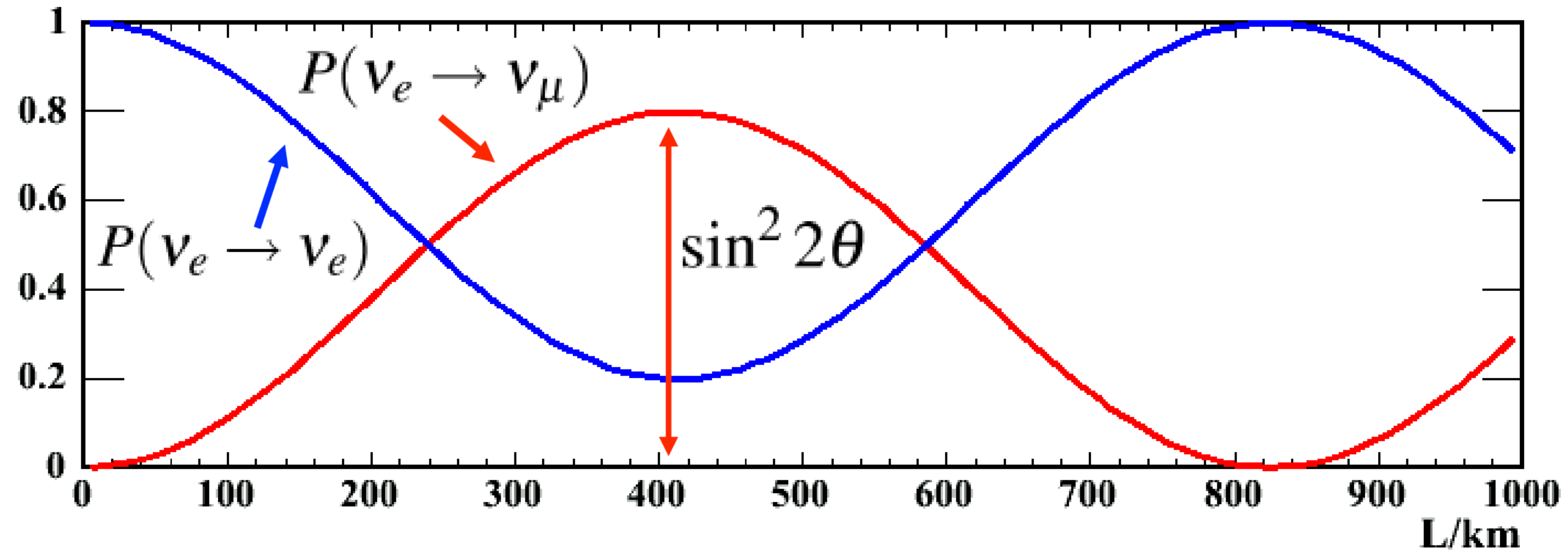
**Mixing angle**  
controls oscillation  
amplitude

**Mass squared difference**  
controls oscillation length



# Neutrino Oscillations

• e.g.  $\Delta m^2 = 0.003 \text{ eV}^2$ ,  $\sin^2 2\theta = 0.8$ ,  $E_\nu = 1 \text{ GeV}$



• wavelength

$$\lambda_{\text{osc}} = \frac{4\pi E}{\Delta m^2}$$

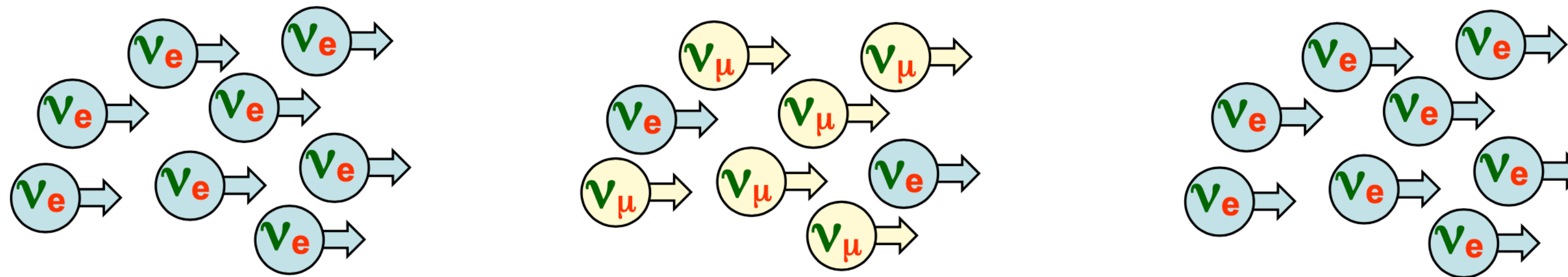
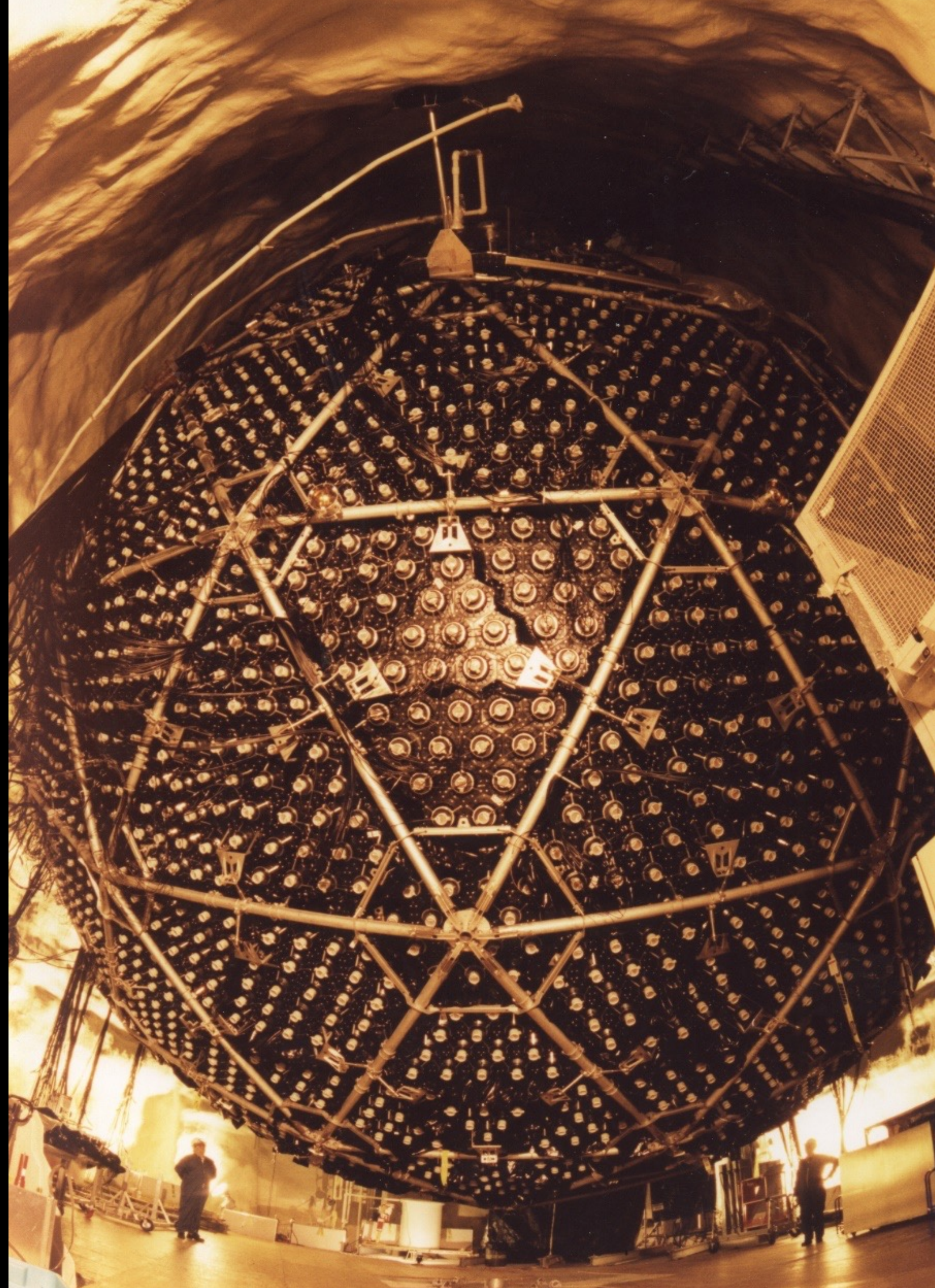
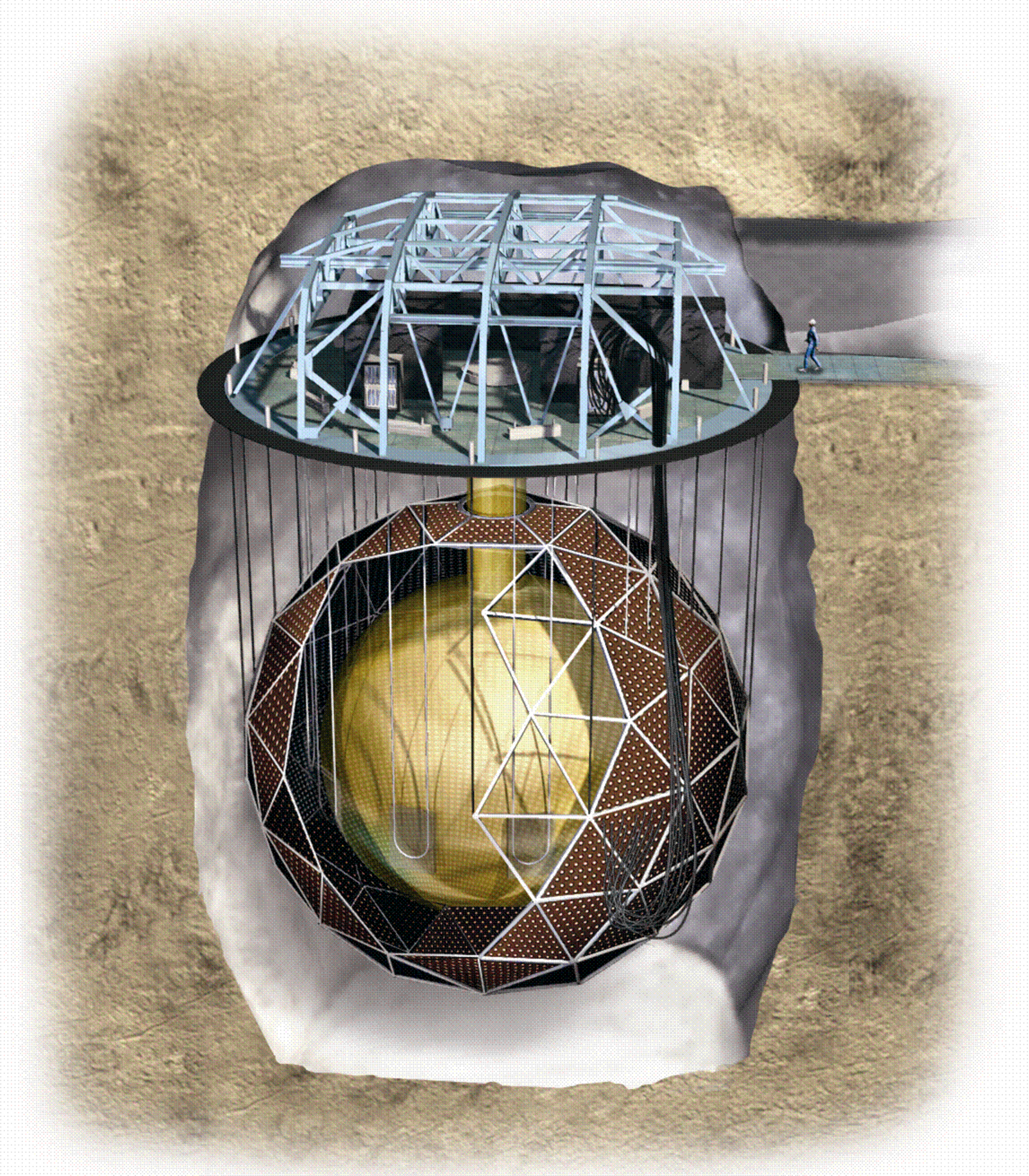
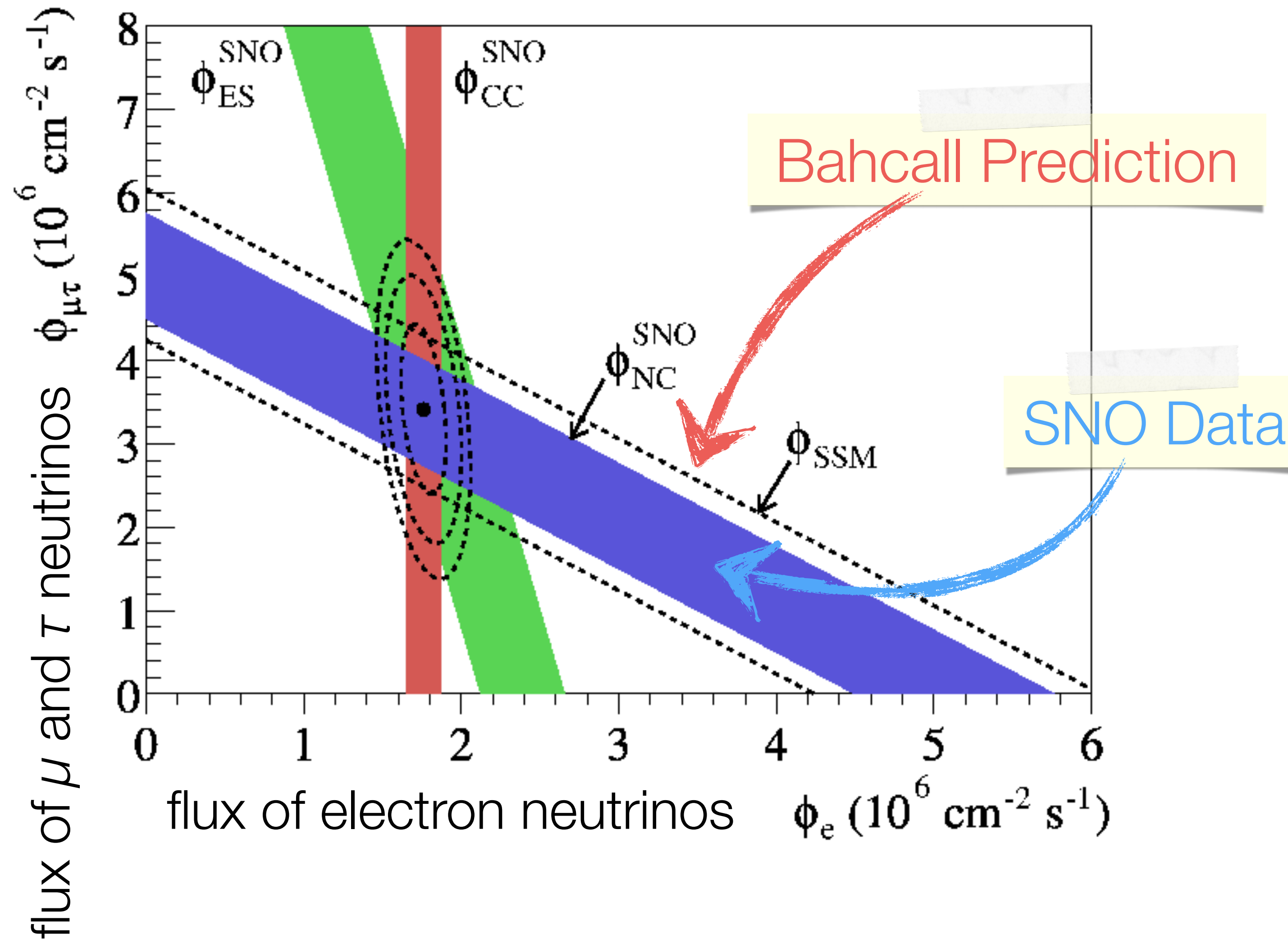


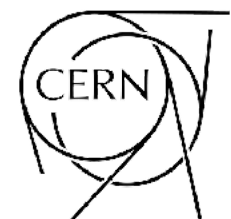
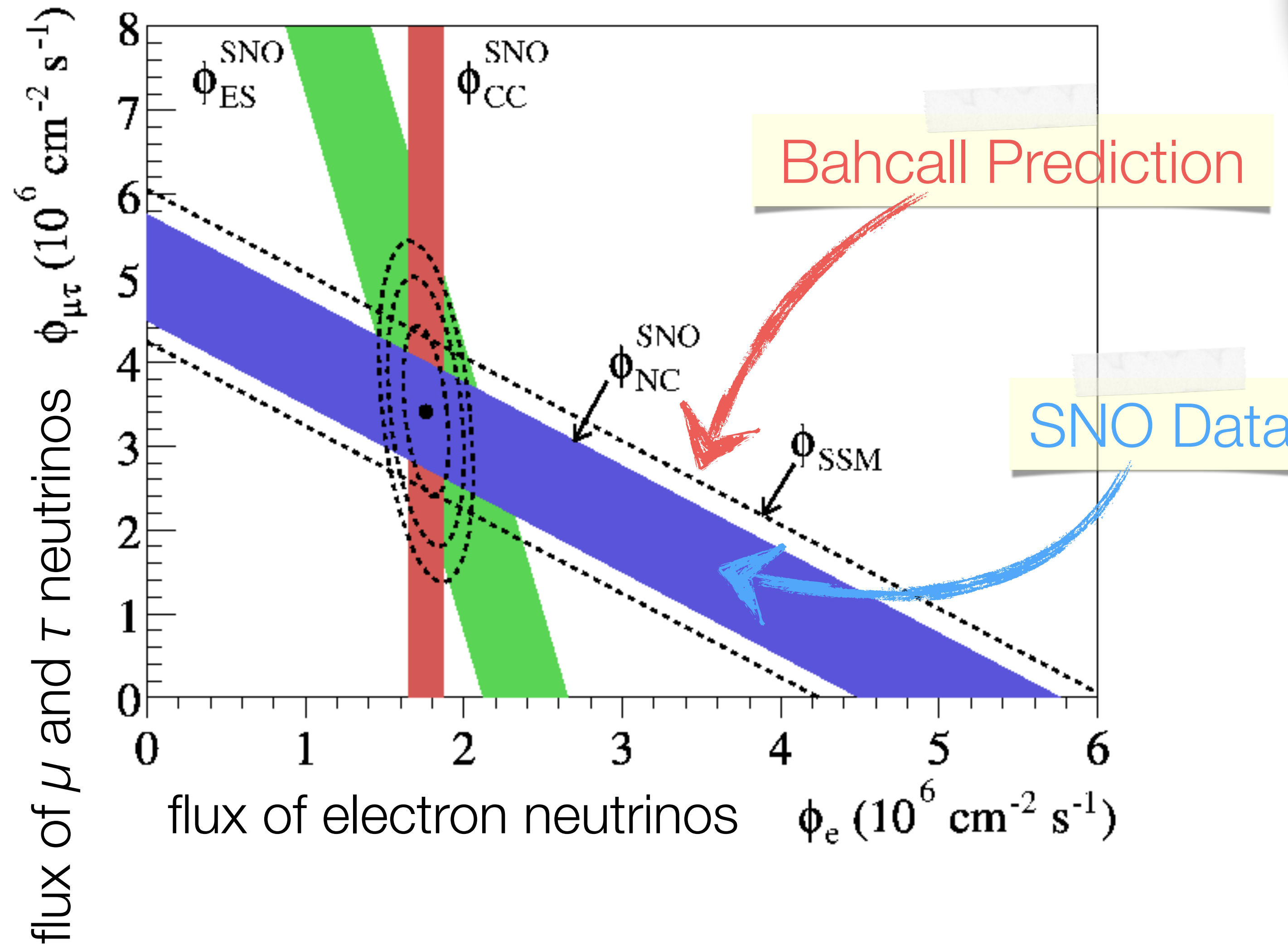
Image: Mark Thomson



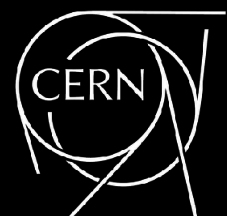
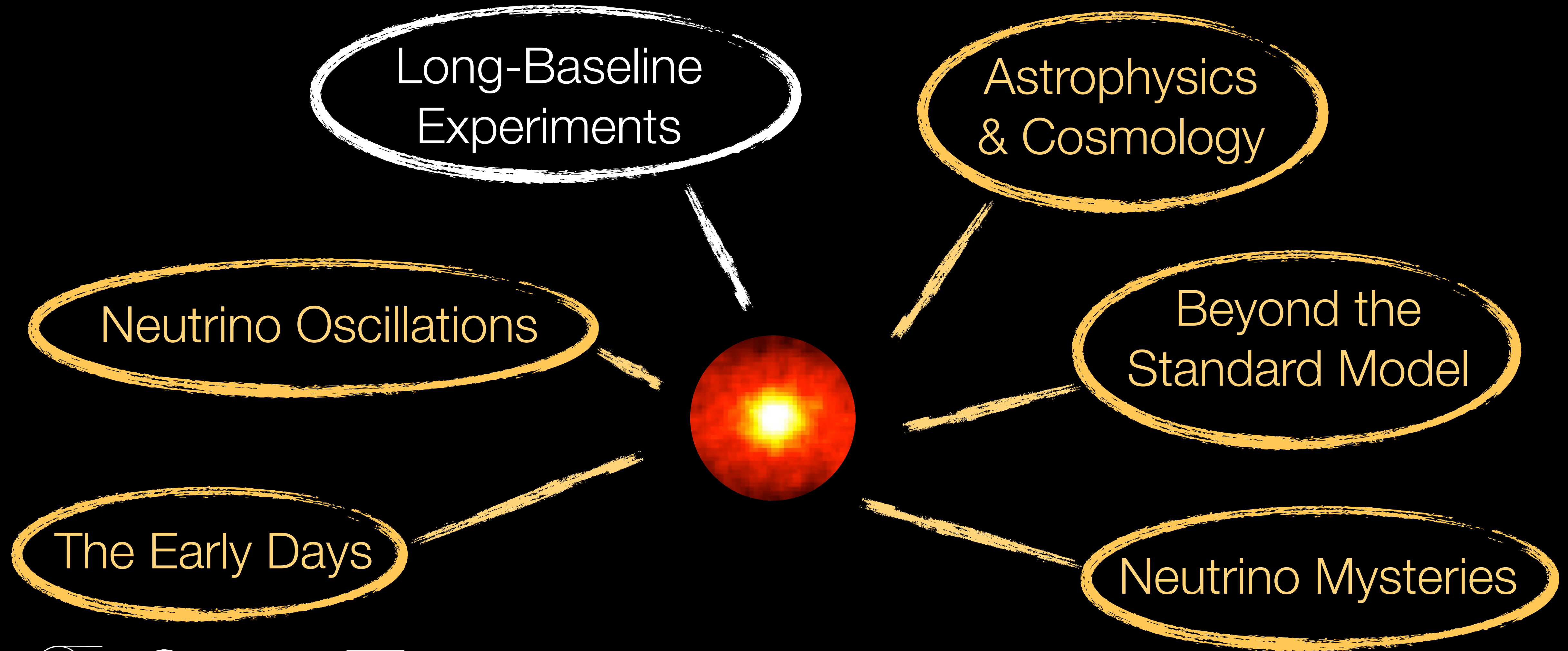
# Resolving the Solar Neutrino Mystery



# Resolving the Solar Neutrino Mystery

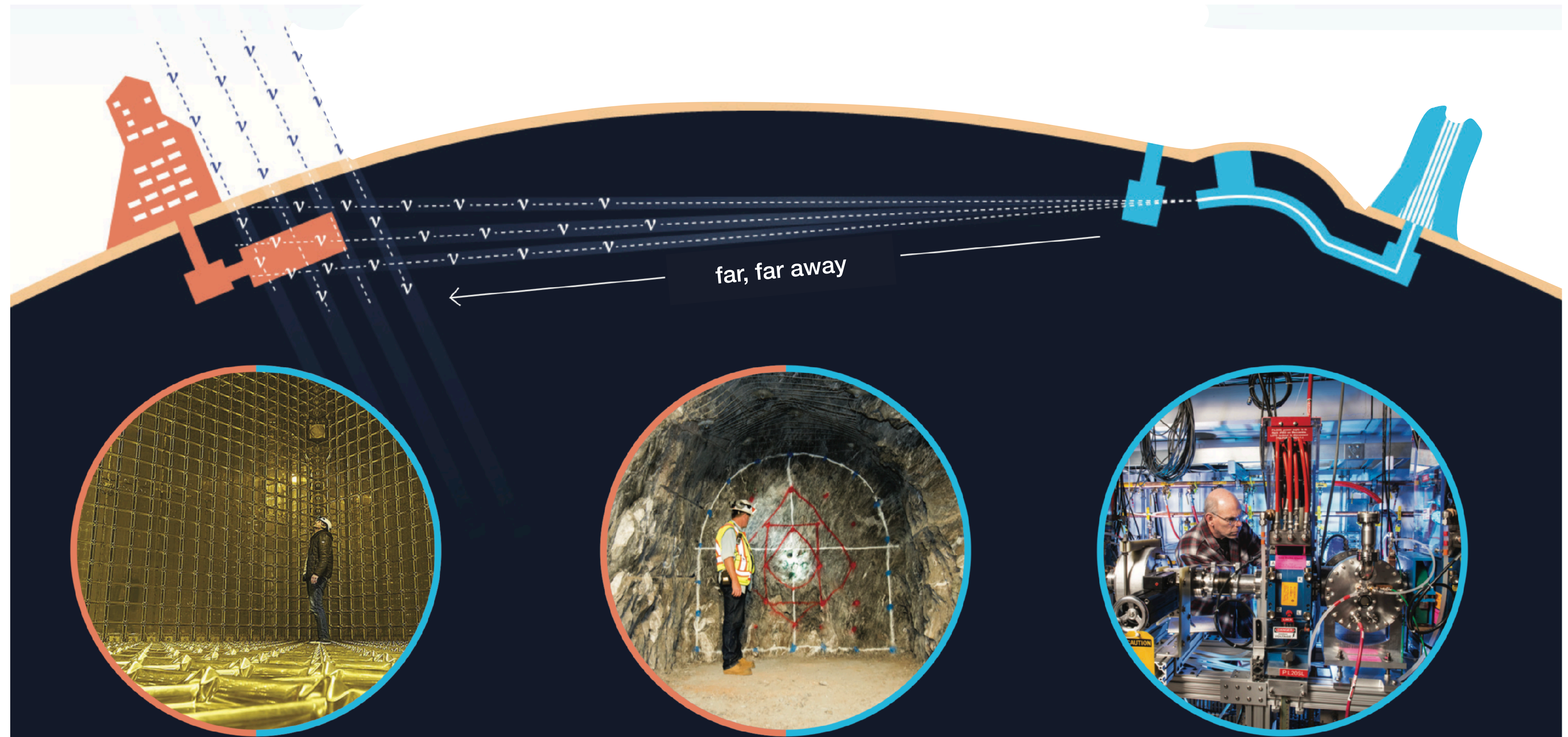


# Outline





# Long-Baseline Experiments



Far Detectors  
(detect  $\nu_e$   $\Rightarrow$  oscillations)

Near Detectors  
(measure unoscillated  $\nu_\mu$  flux)

Neutrino source  
(mostly  $\nu_\mu$ )

# Making a Neutrino Beam

Image: MINOS Collaboration



# Making a Neutrino Beam

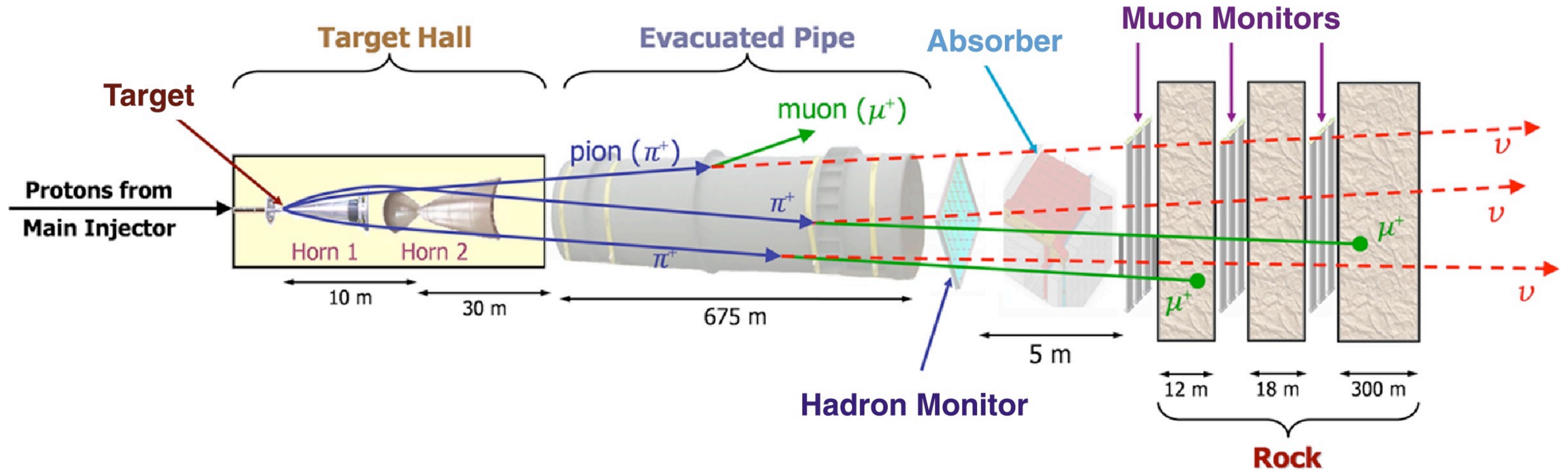
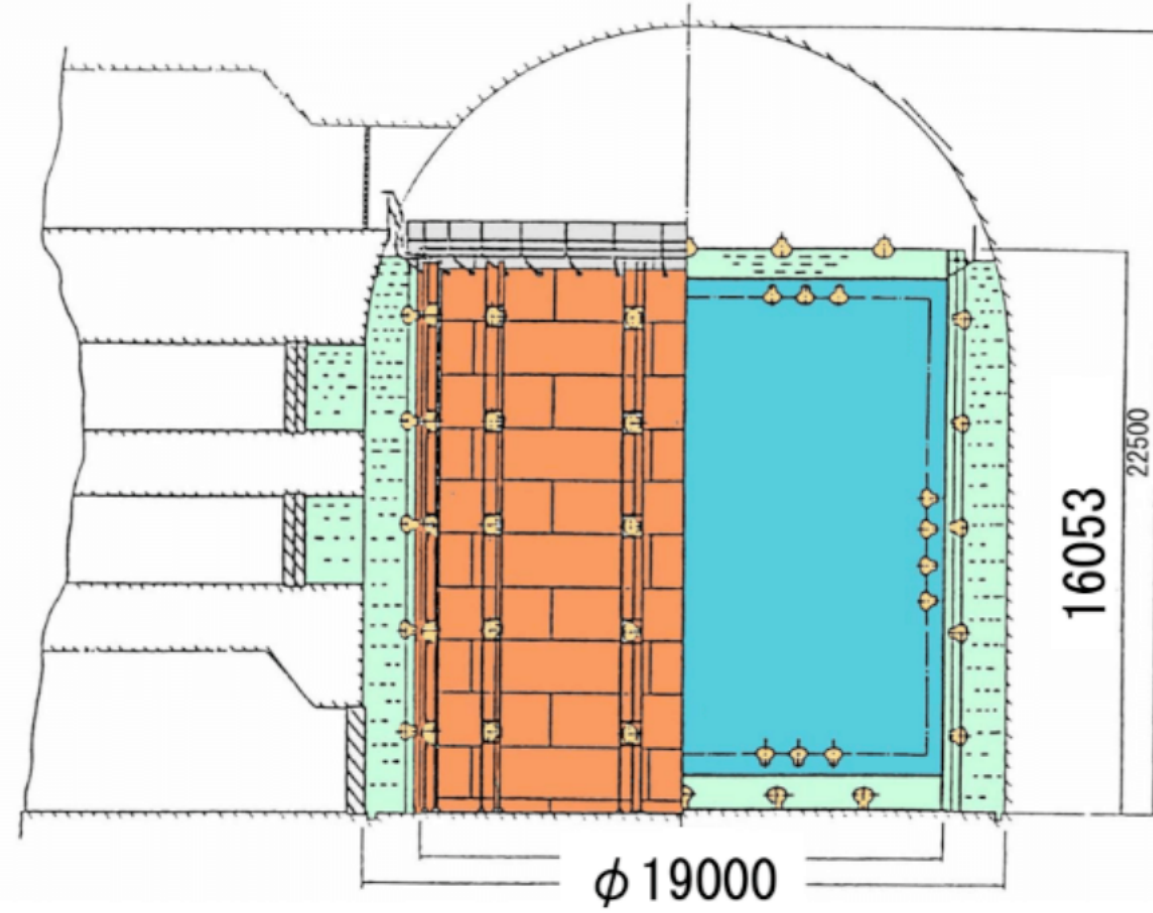


Image: MINOS Collaboration

# Long-Baseline Experiments: Kamiokande

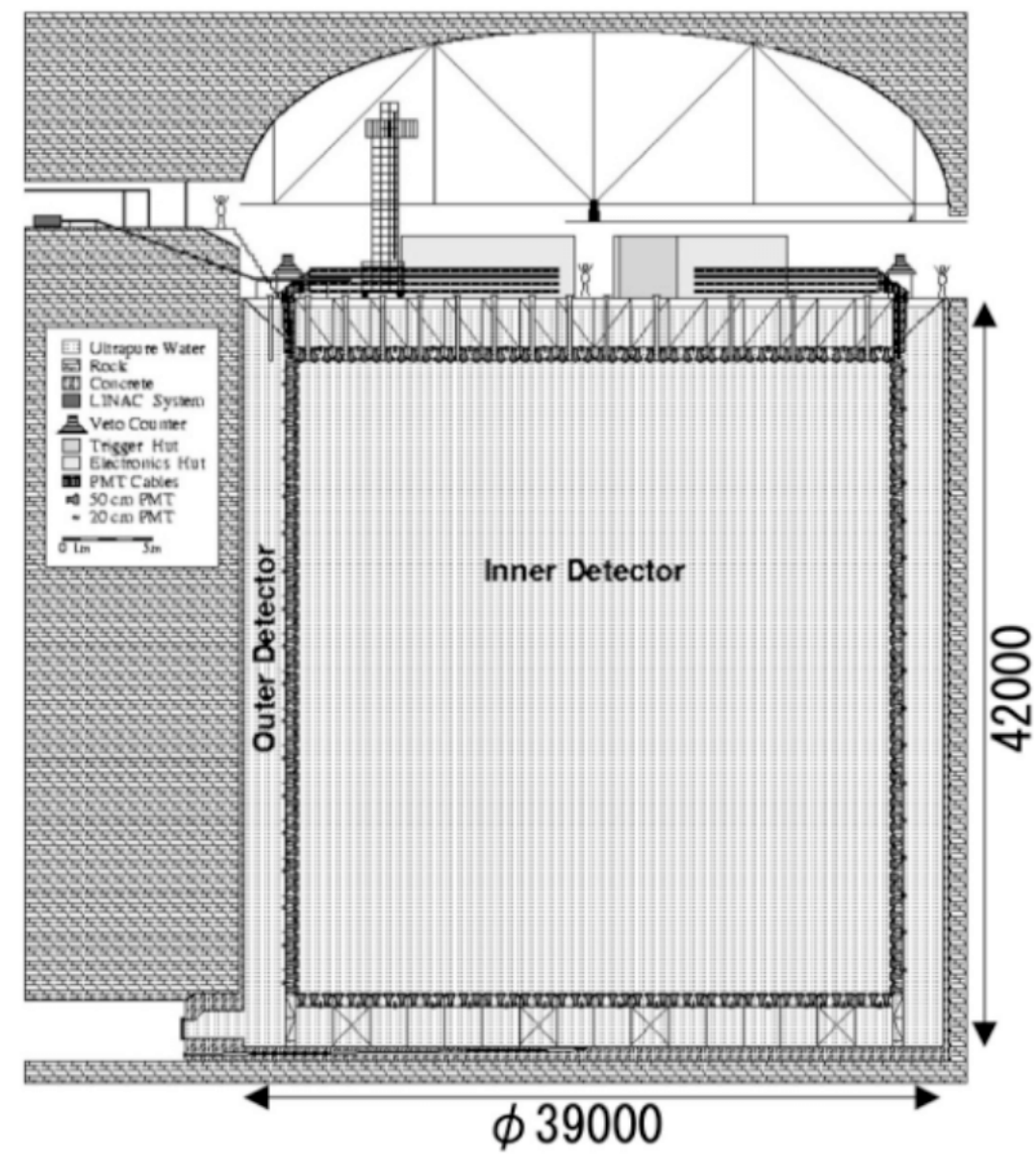
## Kamiokande

1983~1996



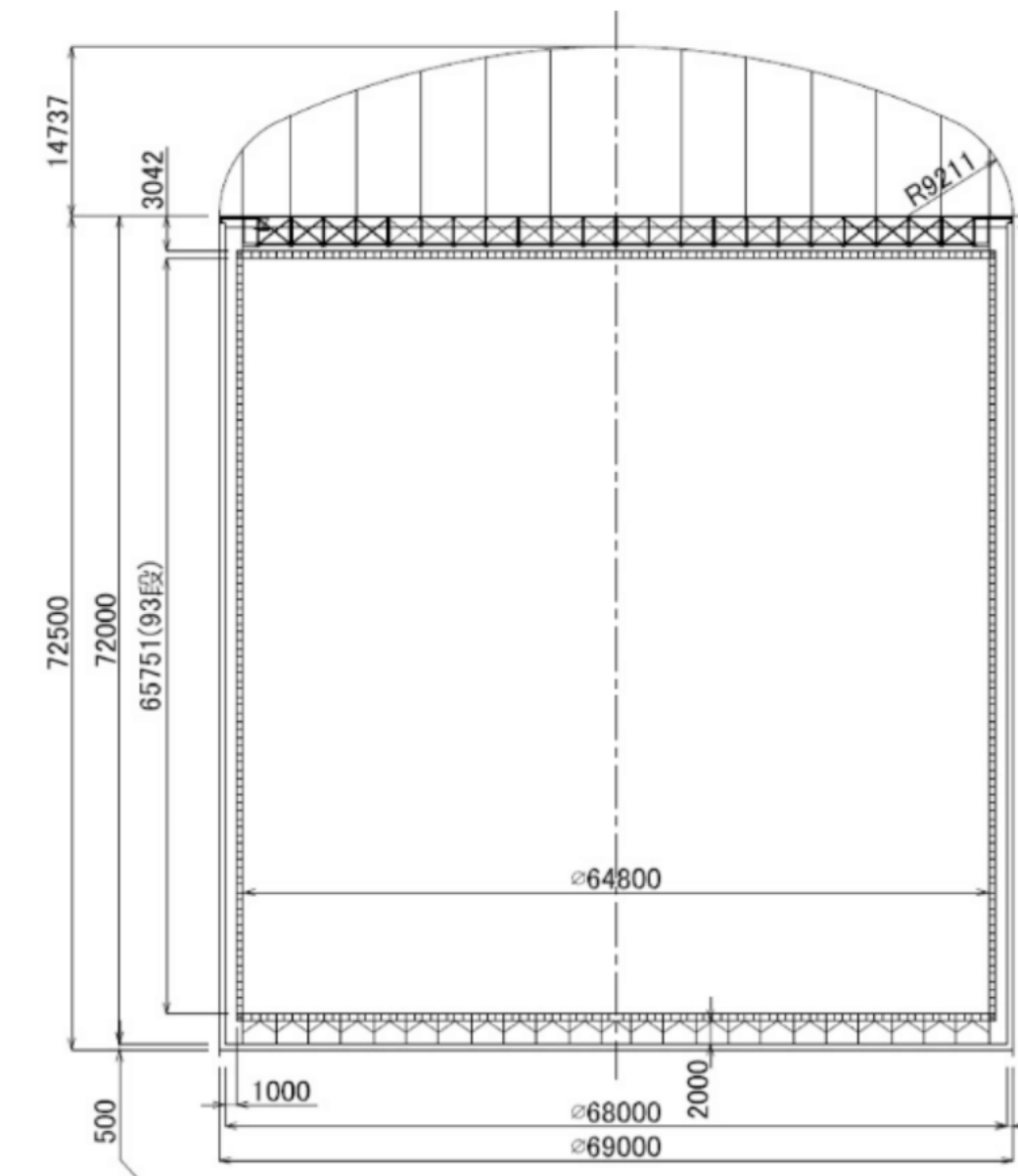
## Super-Kamiokande

1996~Present



## Hyper-Kamiokande

Aiming to start observation in 2027



## Size

19m diameter x 16m high

39m diameter x 42m high

68m diameter x 71m high

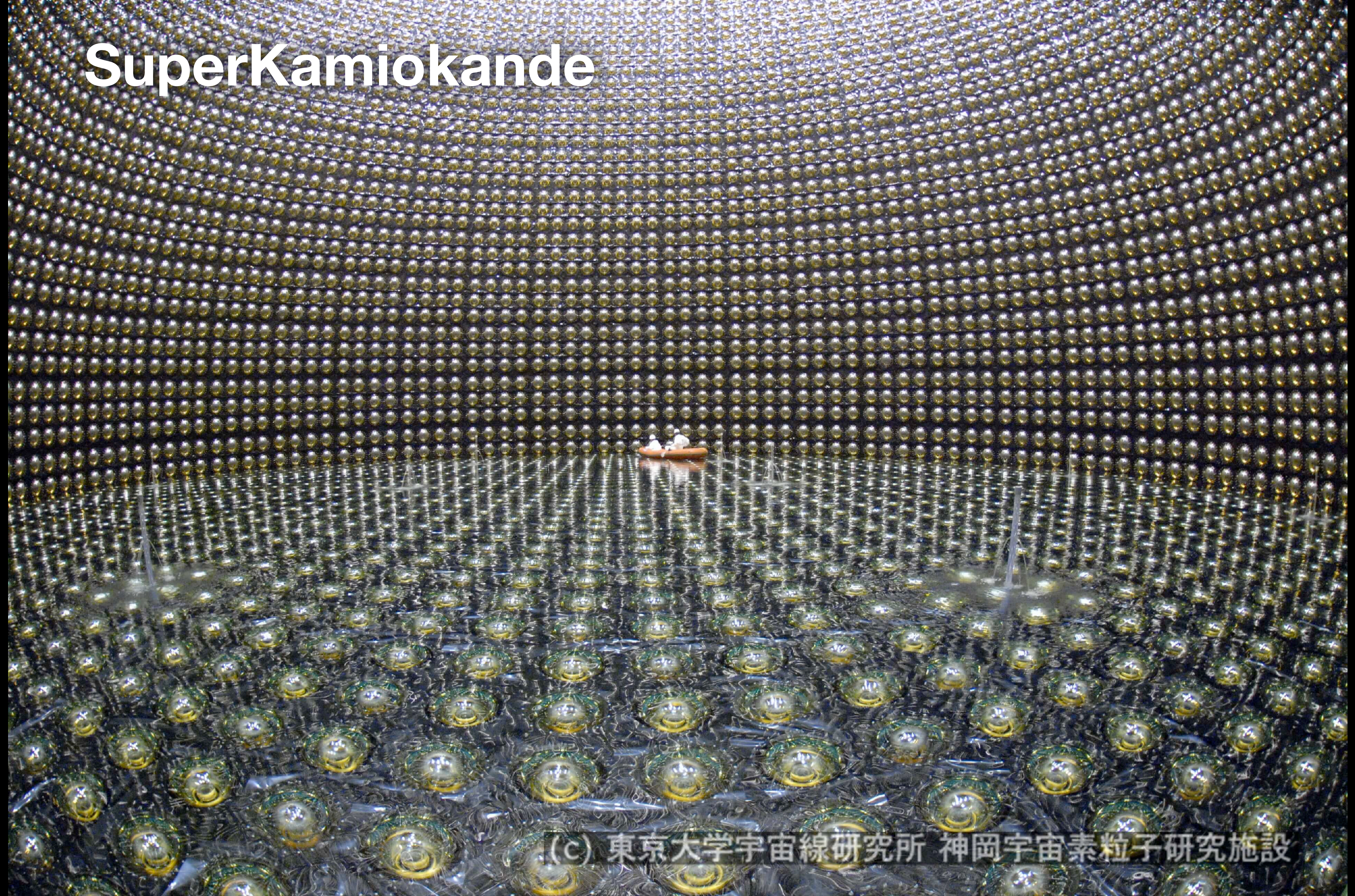
# Long-Baseline Experiments: Kamiokande

<b>Kamiokande</b> 1983~1996	<b>Super-Kamiokande</b> 1996~Present	<b>Hyper-Kamiokande</b> Aiming to start observation in 2027
<b>Water mass ( Fiducial mass)</b>		
4500 ton※ (680~1040 ton)  ※The waer mass in the tank(inner tank and, upper and bottom outer tank) is 3000 ton	50000 ton (22500 ton)	260000 ton (190000 ton)
<b>Photomultiplier Tubes</b>		
50cm diameter / 948	50cm diameter / 11146	50cm diameter / about 40000
<b>Main and expected Results</b>		

# Long-Baseline Experiments: Kamiokande

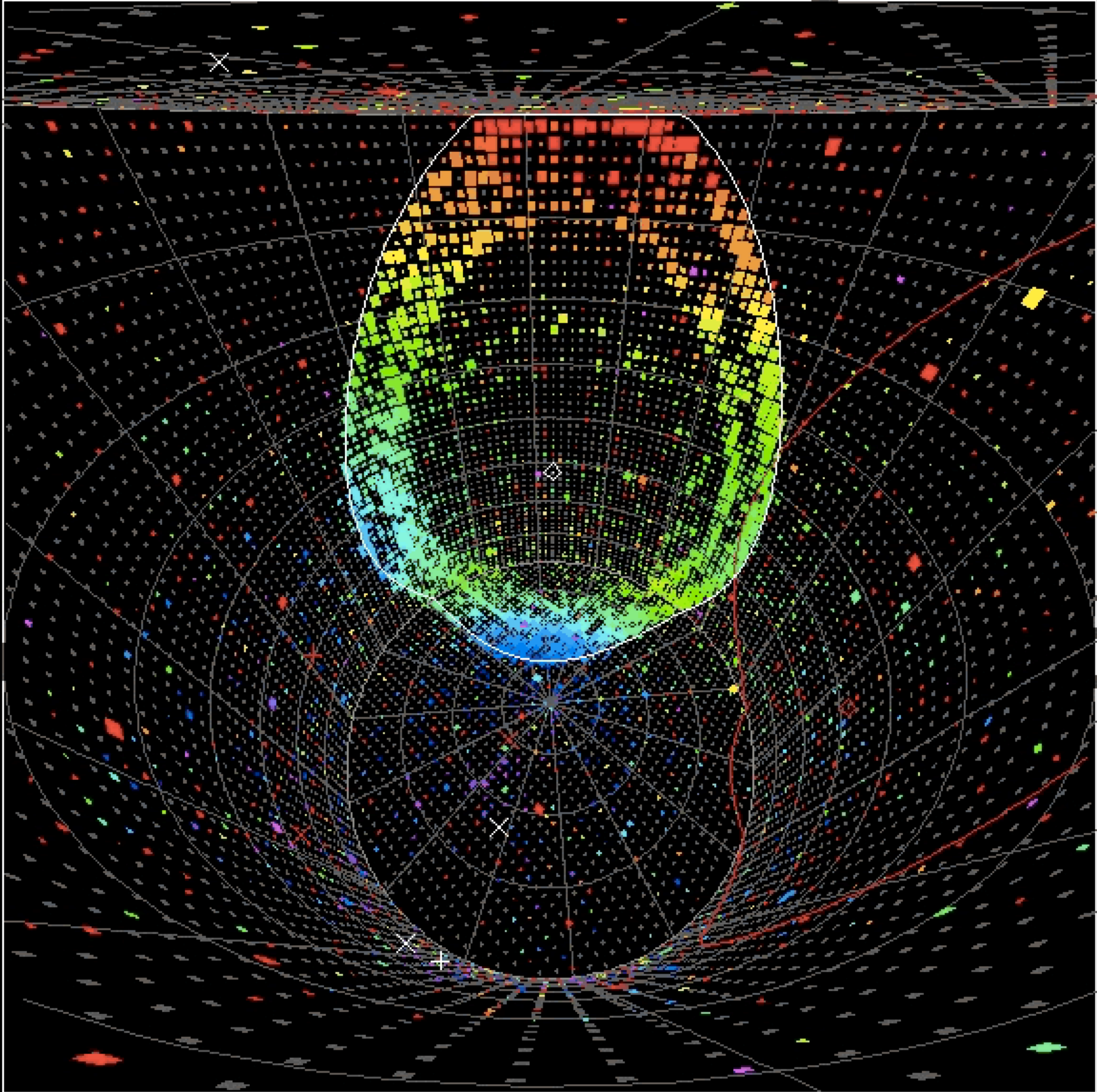
<b>Kamiokande</b> 1983~1996	<b>Super-Kamiokande</b> 1996~Present	<b>Hyper-Kamiokande</b> Aiming to start observation in 2027
<b>Main and expected Results</b>		
World's first observation of neutrinos from a supernova explosion and observation of solar neutrinos, leading to the creation of neutrino astronomy	Discovery of neutrino oscillations, showing that neutrinos have mass	<ol style="list-style-type: none"><li>1. Discovery of the difference between neutrino and antineutrino oscillations (CP violation) and precise measurements to elucidate the origin of matter in the universe</li><li>2. Further development of neutrino astronomy</li><li>3. Proof of “unification of elementary particles” and “unification of electromagnetic, weak and strong force” by the discovery of proton decay</li></ol>
<b>Major awards</b>		
The Nobel Prize in Physics 2002 Masatoshi Koshiba	The Nobel Prize in Physics 2015 Takaaki Kajita	

# SuperKamiokande



(c) 東京大学宇宙線研究所 神岡宇宙素粒子研究施設

# A SuperKamiokande Event





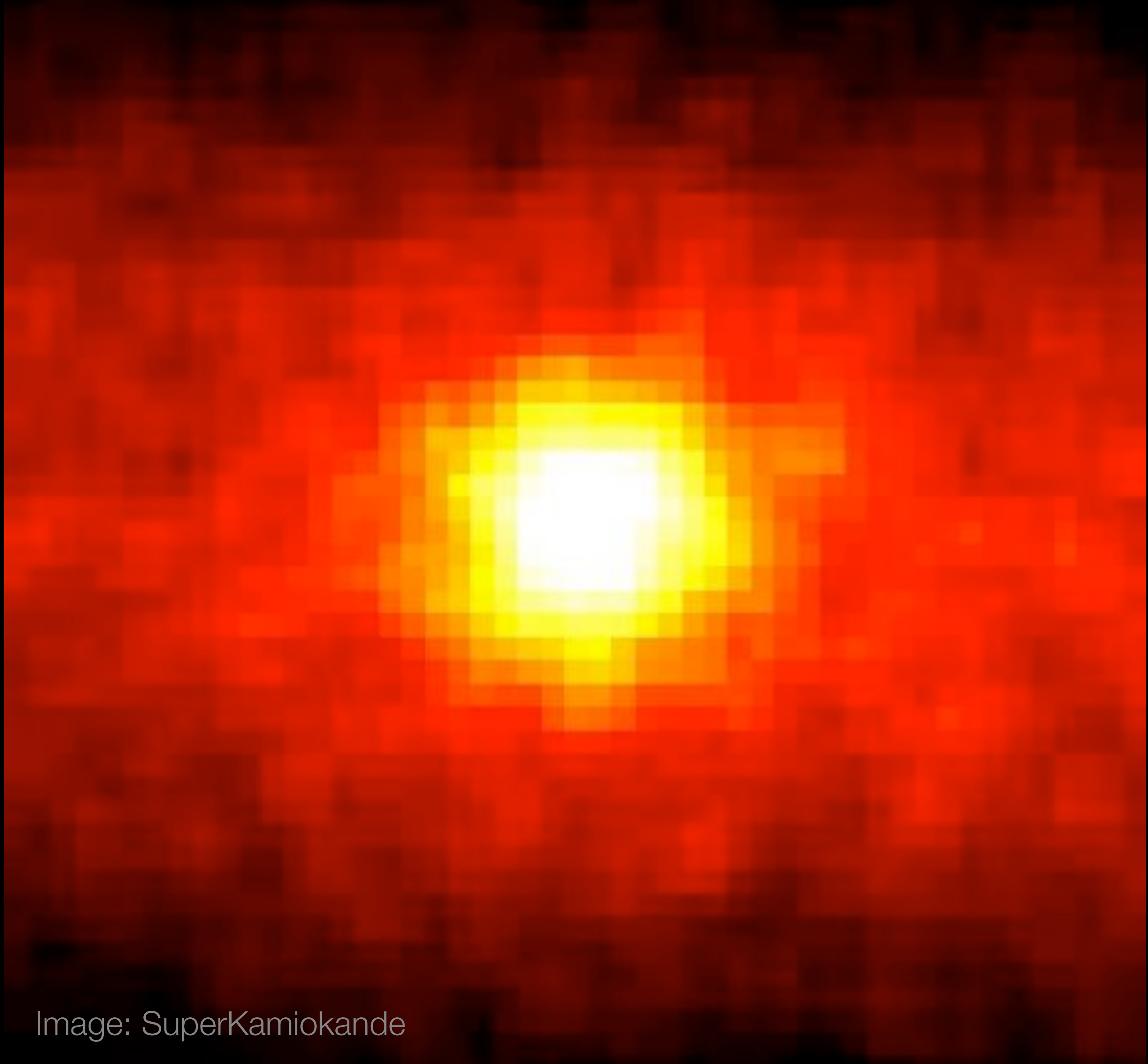
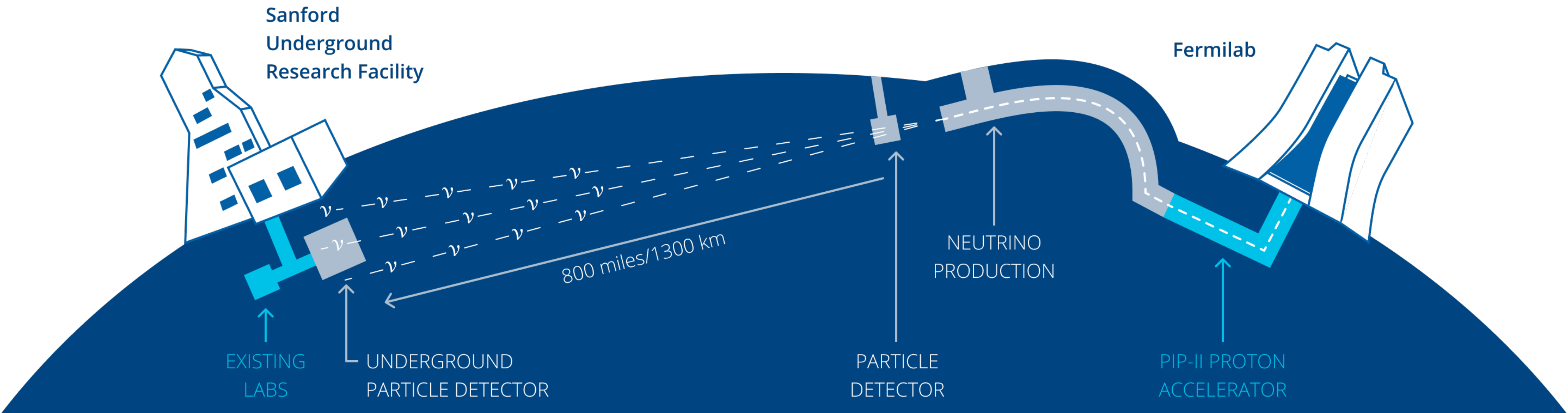


Image: SuperKamiokande

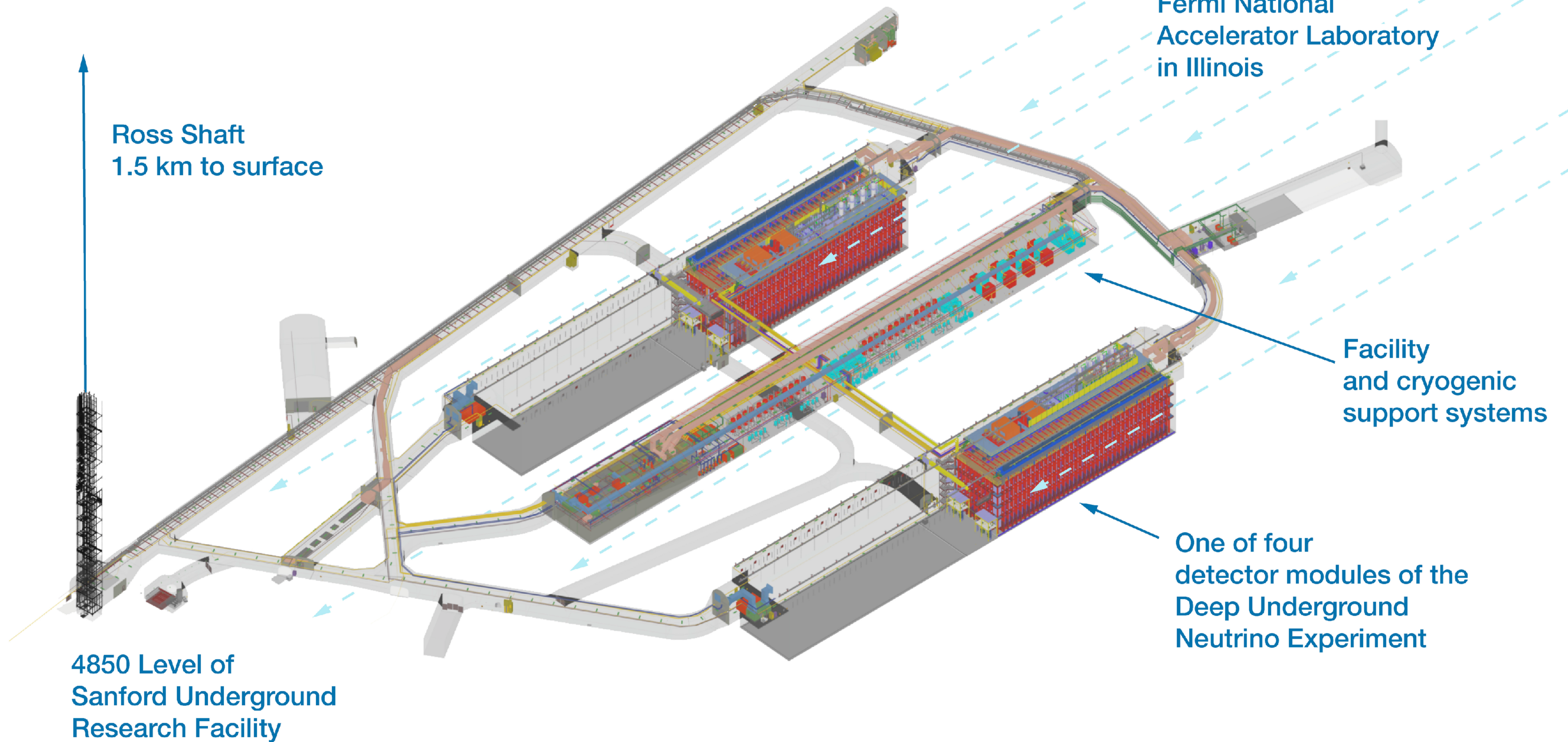
# Long-Baseline Experiments: DUNE





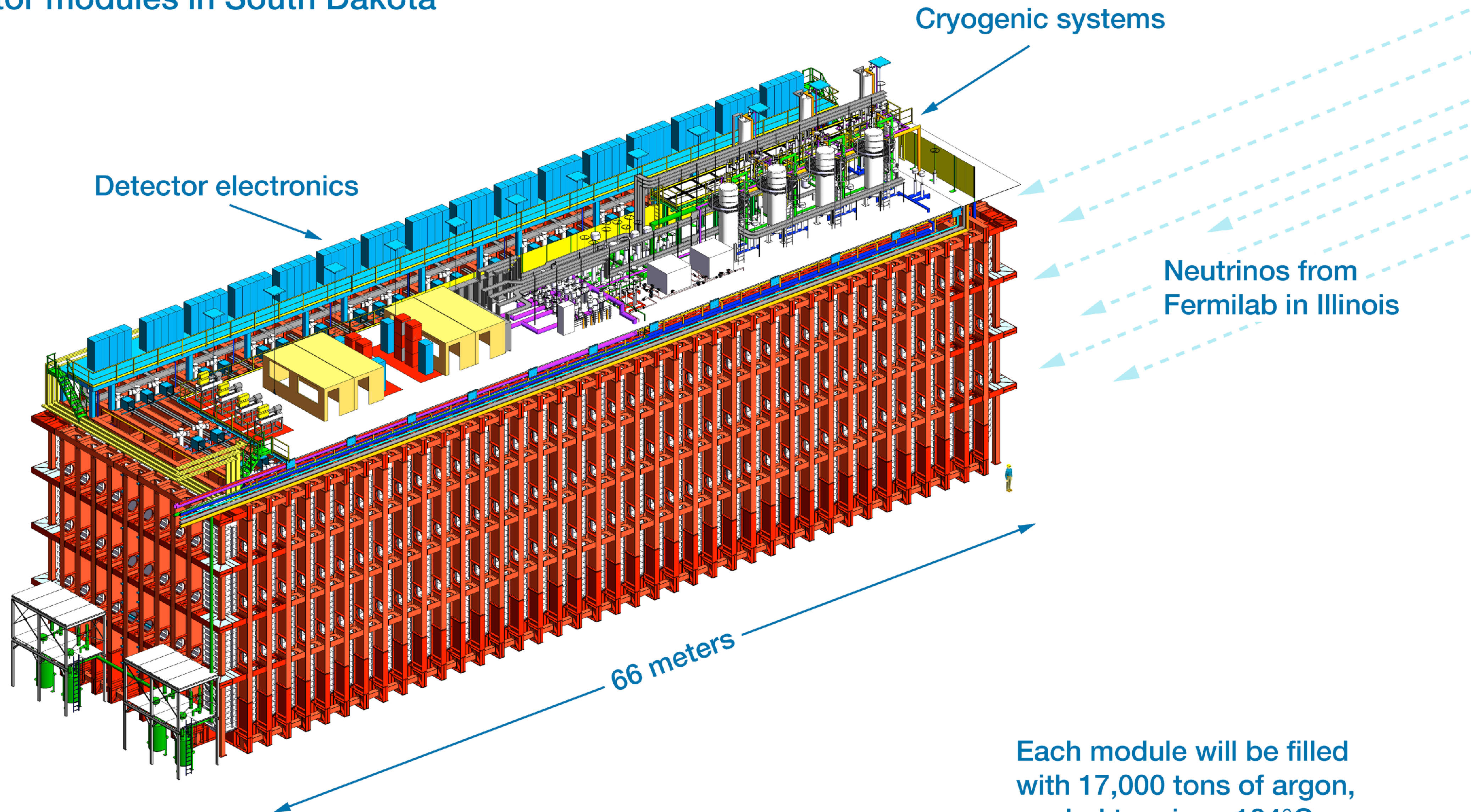


# Long-Baseline Neutrino Facility South Dakota Site



# Deep Underground Neutrino Experiment

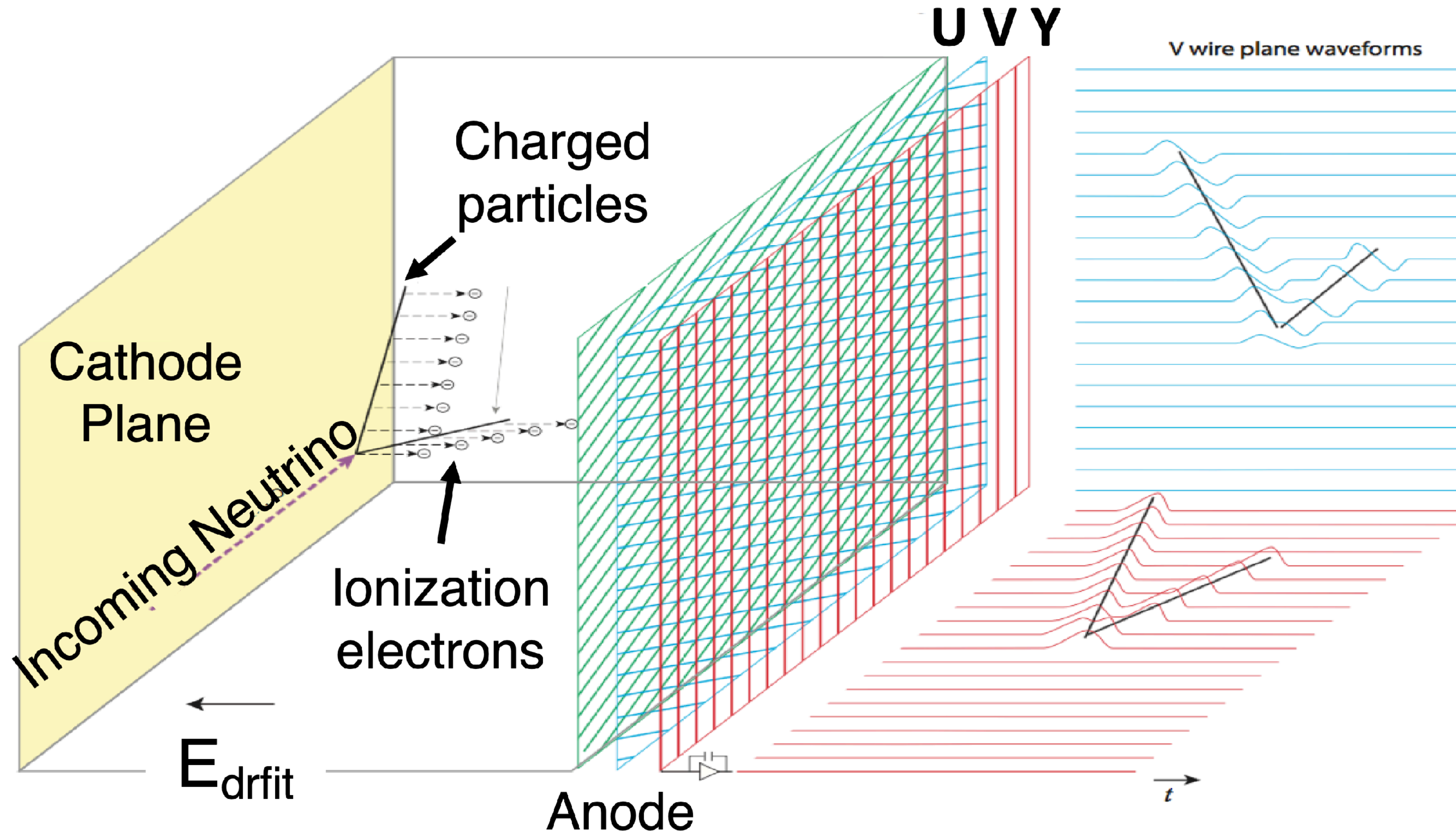
One of four detector modules in South Dakota



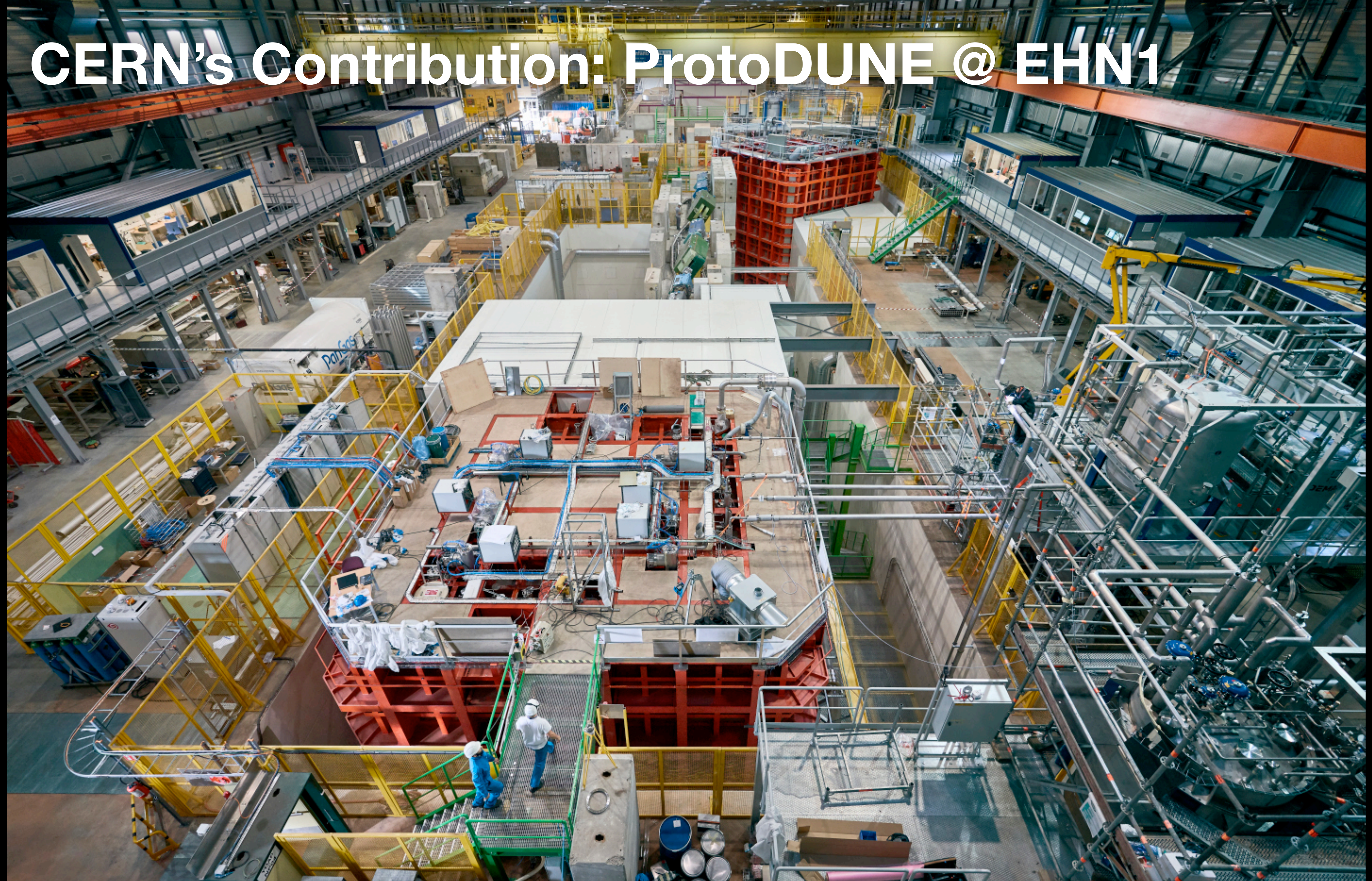
Detector located  
1.5 kilometers  
underground at  
Sanford Lab

Each module will be filled  
with 17,000 tons of argon,  
cooled to minus 184°C

# Neutrino Detection in Liquid Argon TPCs



# CERN's Contribution: ProtoDUNE @ EHN1

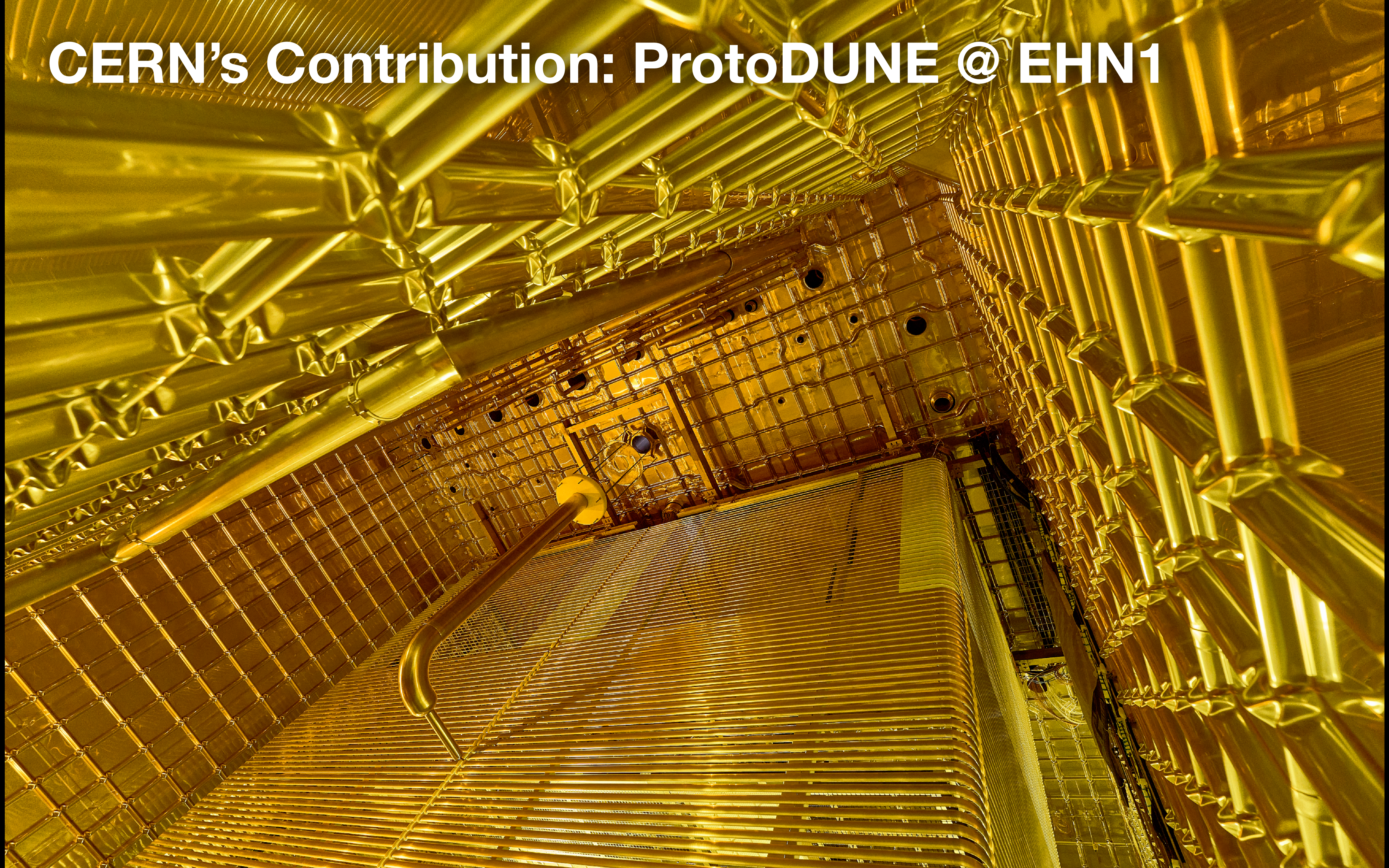




# CERN's Contribution: ProtoDUNE @ EHN1



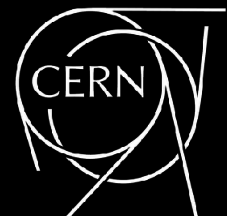
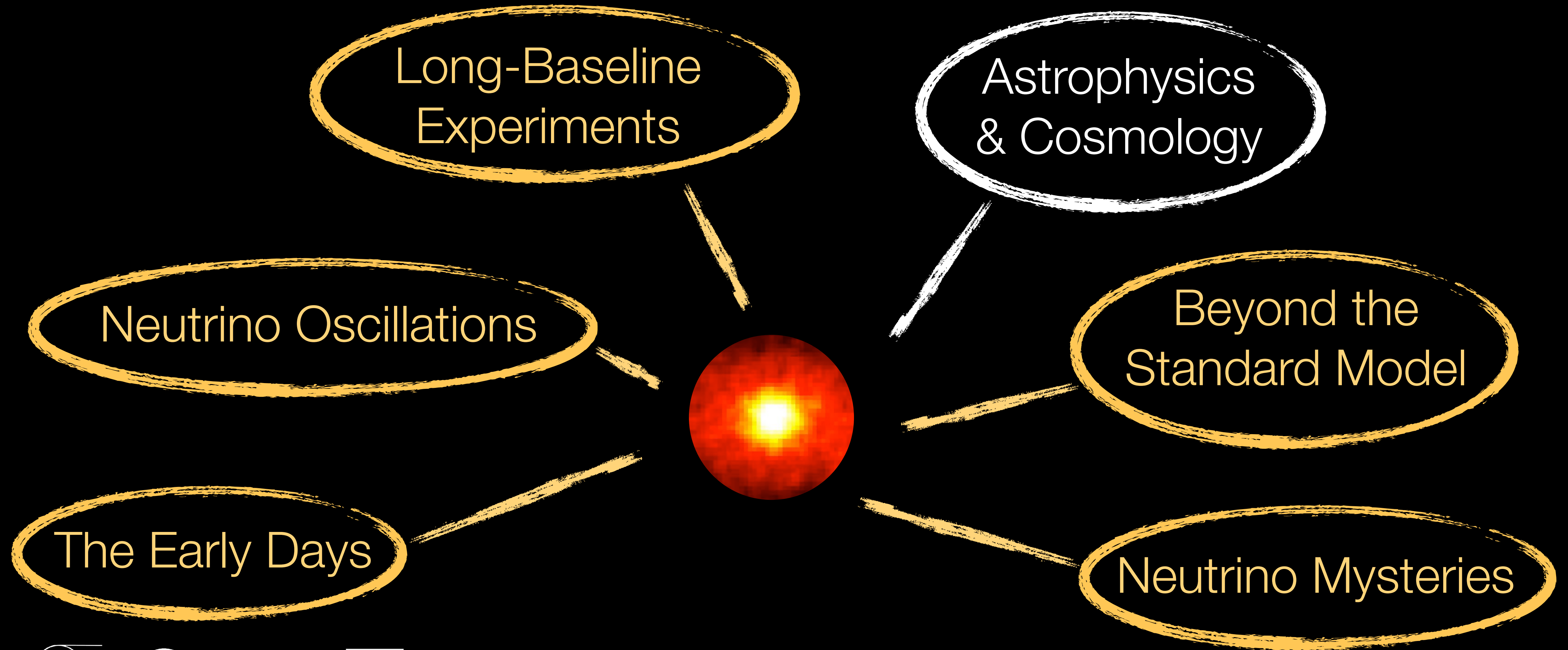
# CERN's Contribution: ProtoDUNE @ EHN1



# Yes, But Why?

- Connection between **leptonic CP violation** and **baryogenesis**
- Portal to **new physics**
- Precise knowledge of particle physics is indispensable for using **neutrinos as astrophysical messengers**
- Hints for the **origin of flavour**
- Multi-purpose detectors** with lots of secondary opportunities (supernova neutrinos, light dark sectors, proton decay, ...)
- ...

# Outline



# Neutrinos as Astrophysical Messengers

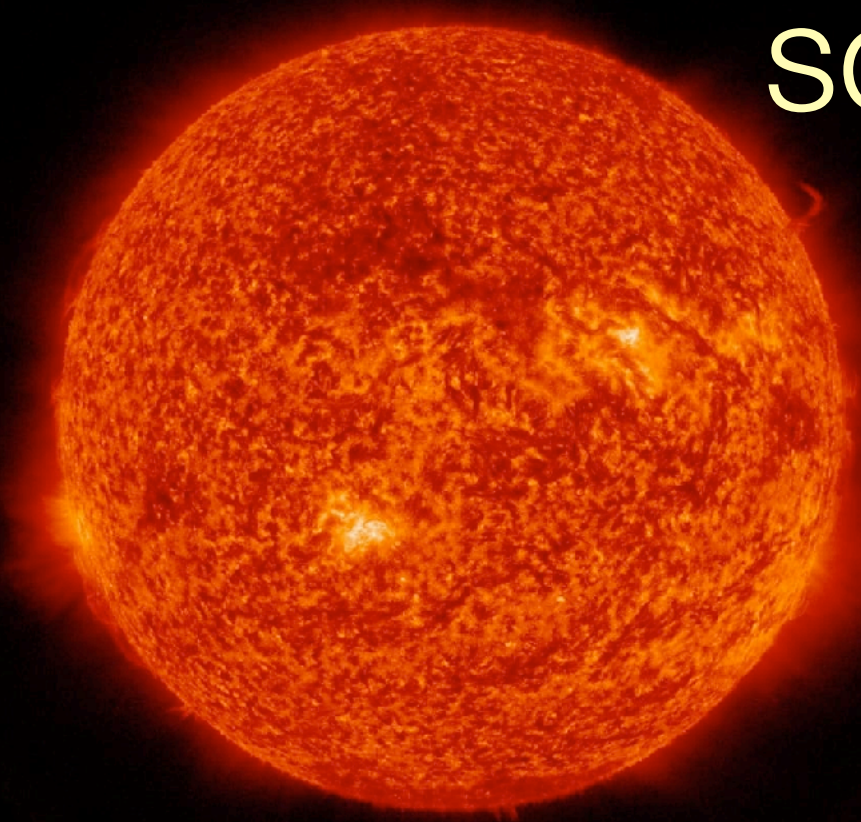
# Neutrinos as Astrophysical Messengers



solar neutrinos

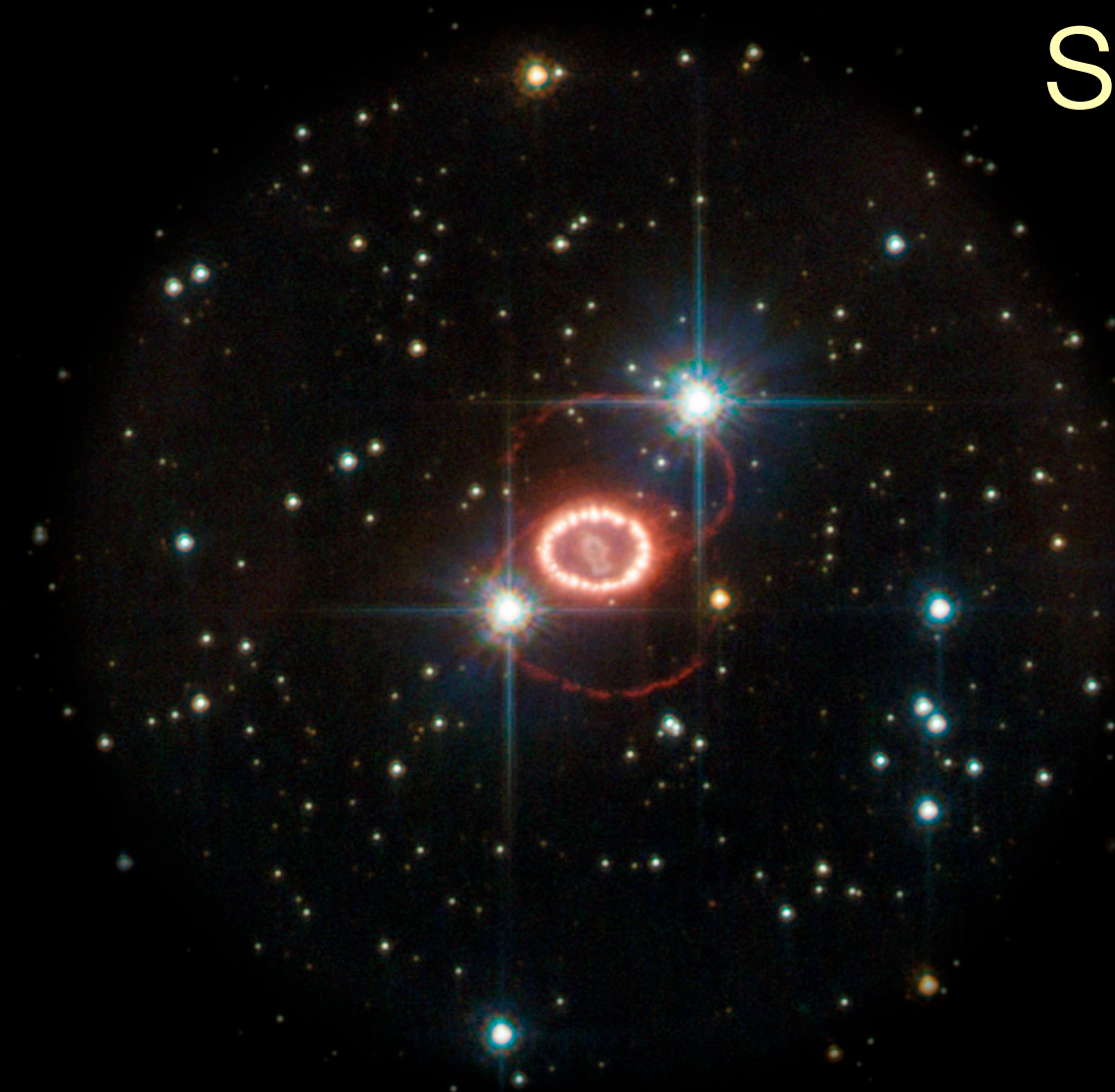
★ stellar evolution

# Neutrinos as Astrophysical Messengers



solar neutrinos

- ★ stellar evolution



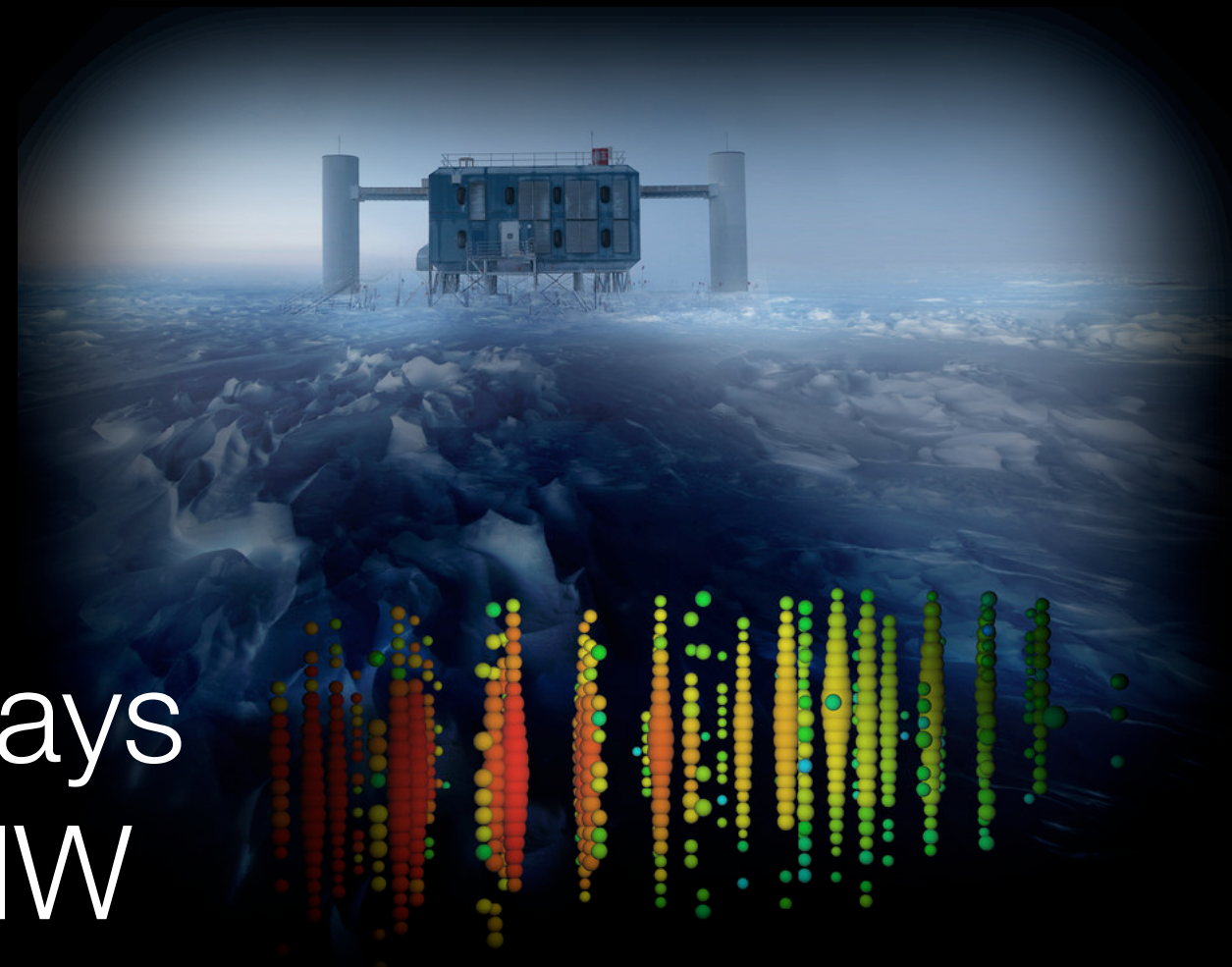
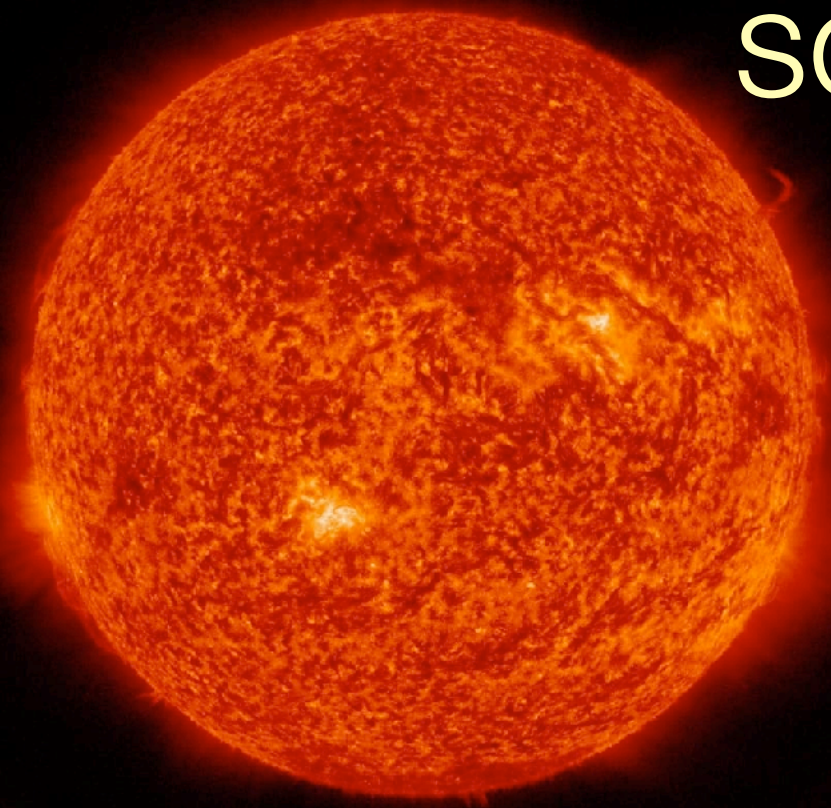
supernova neutrinos

- ★ death throes of massive stars
- ★ nucleosynthesis
- ★ matter under extreme conditions

# Neutrinos as Astrophysical Messengers

## solar neutrinos

- ★ stellar evolution

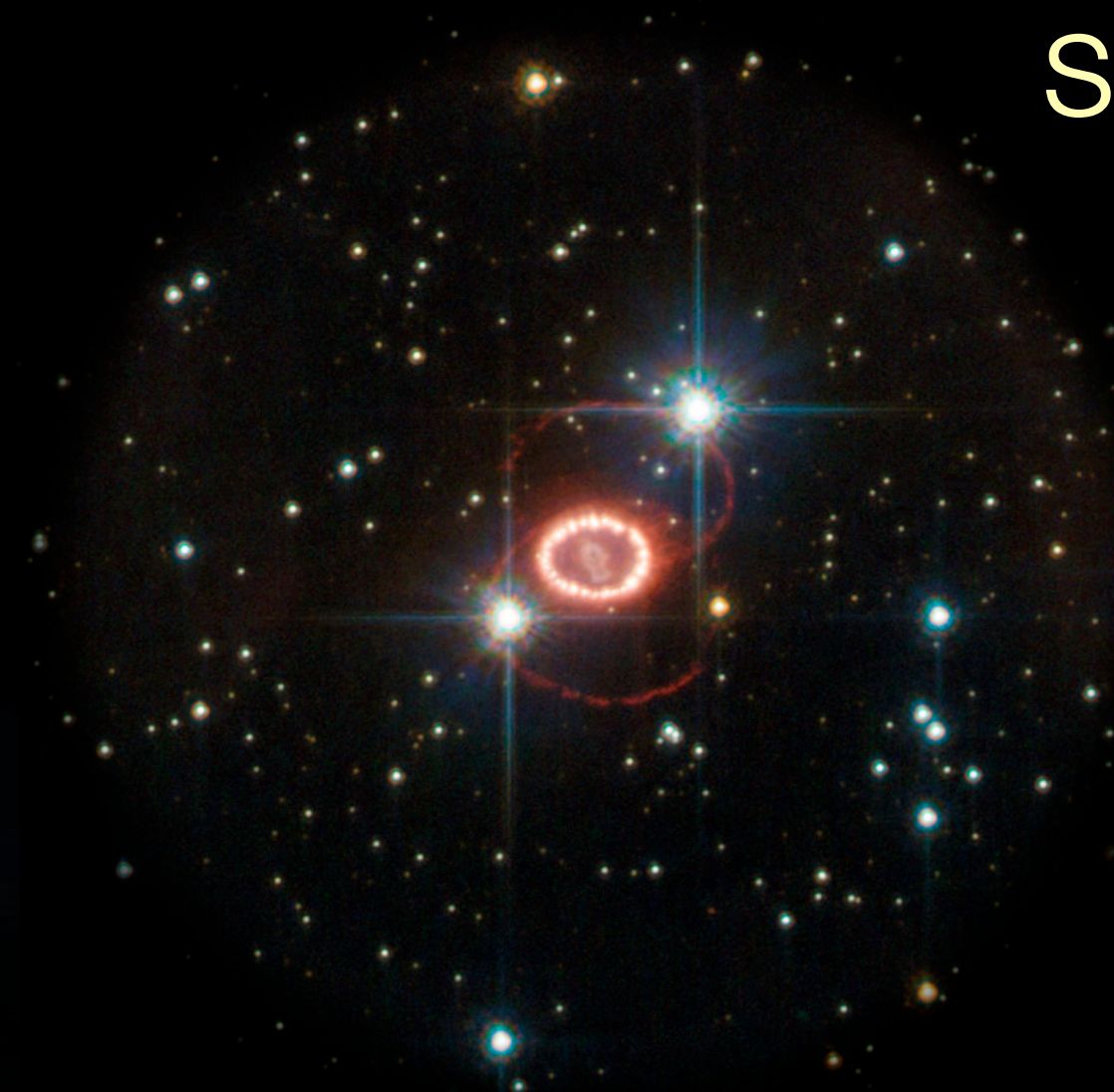


## high- $E$ neutrinos

- ★ origin of cosmic rays
- ★ AGNs, blazars, MW

## supernova neutrinos

- ★ death throes of massive stars
- ★ nucleosynthesis
- ★ matter under extreme conditions

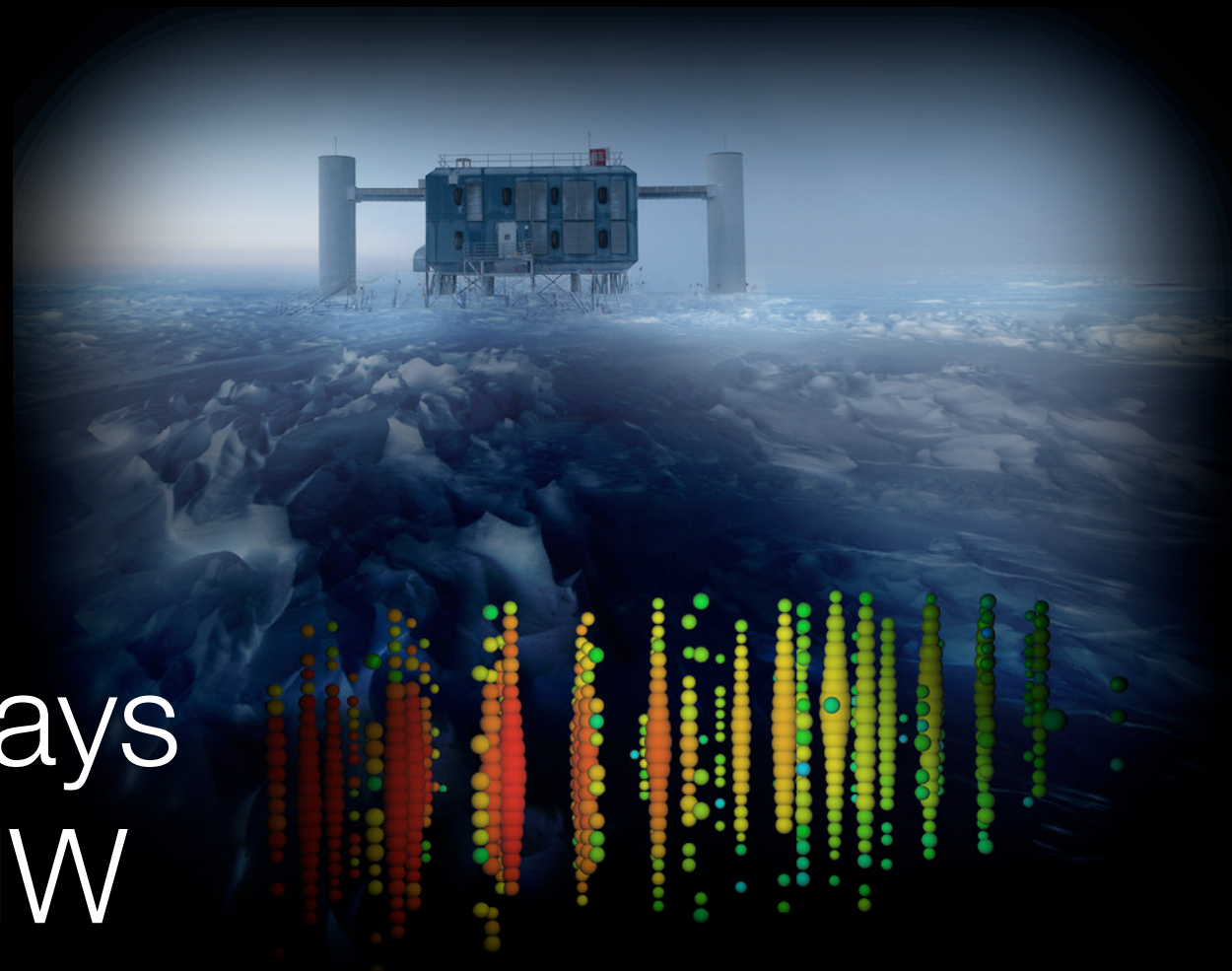
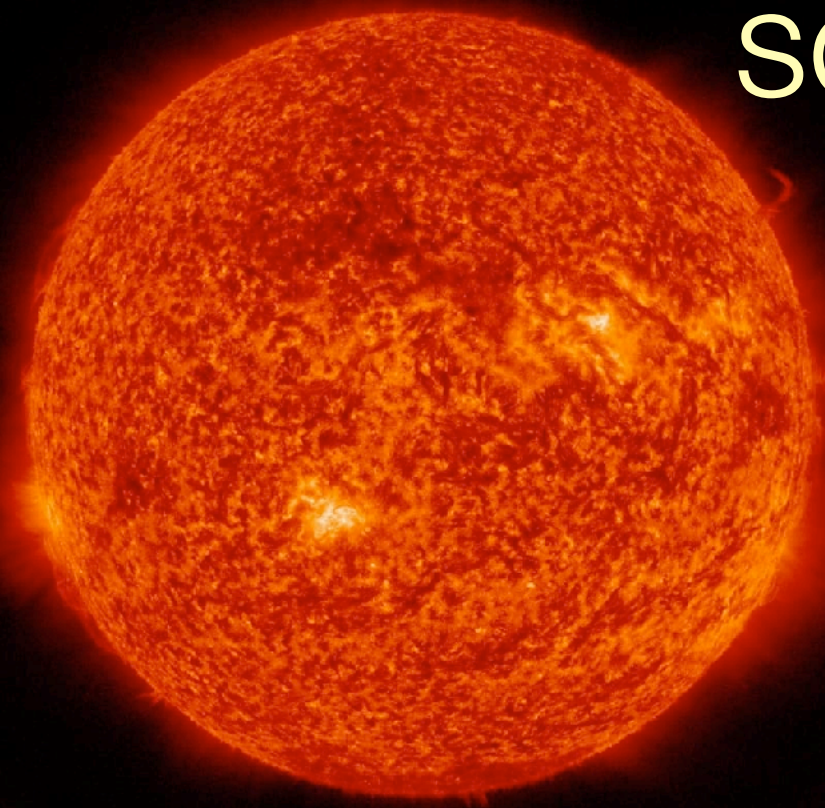




# Neutrinos as Astrophysical Messengers

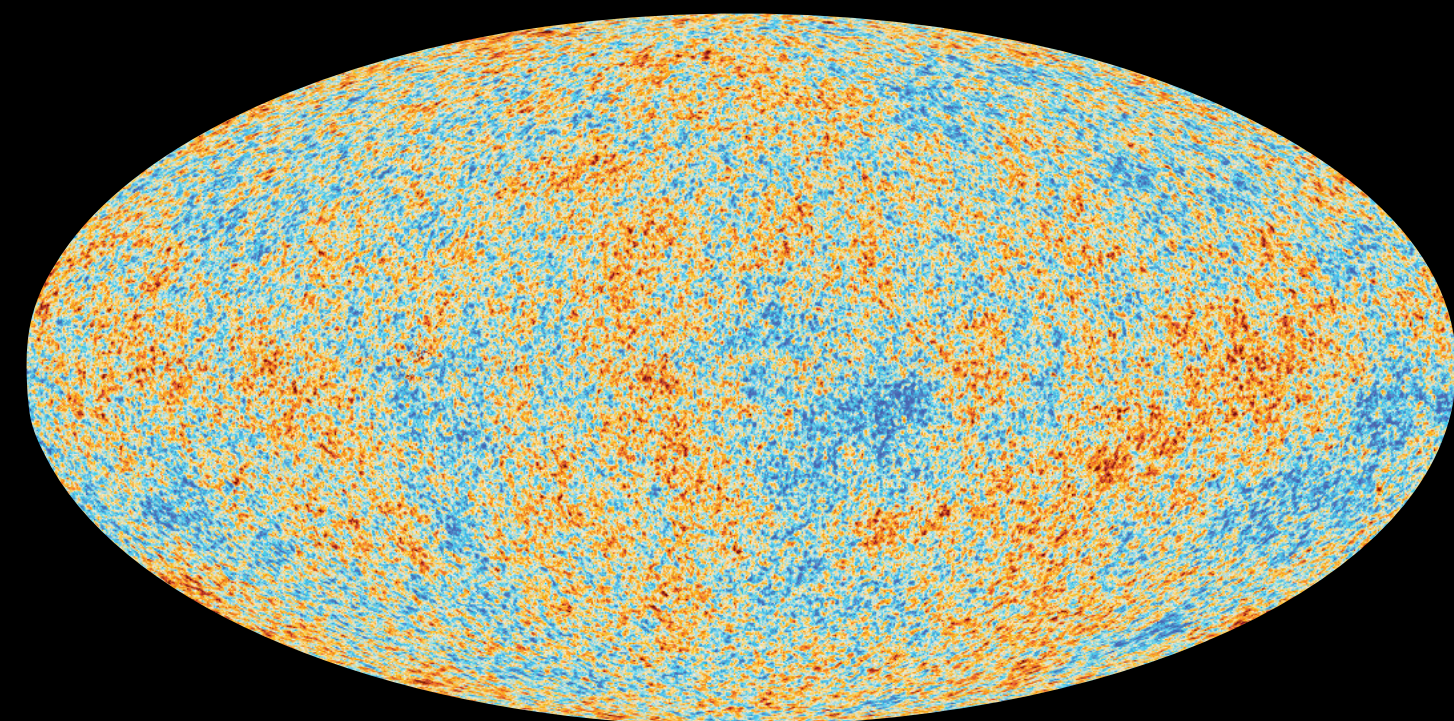
## solar neutrinos

- ★ stellar evolution



## high- $E$ neutrinos

- ★ origin of cosmic rays
- ★ AGNs, blazars, MW

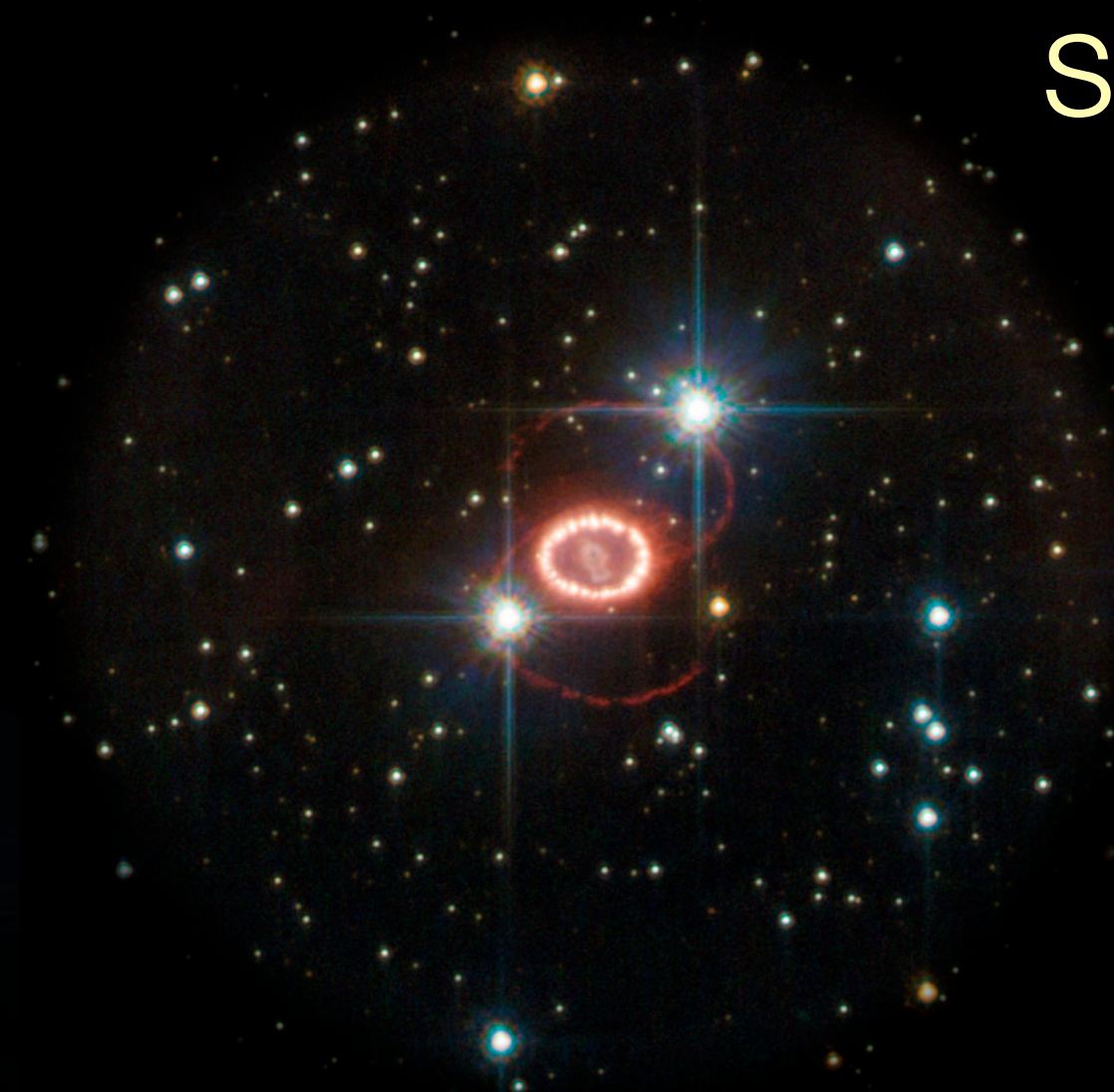


## cosmology

- ★ early Universe

## supernova neutrinos

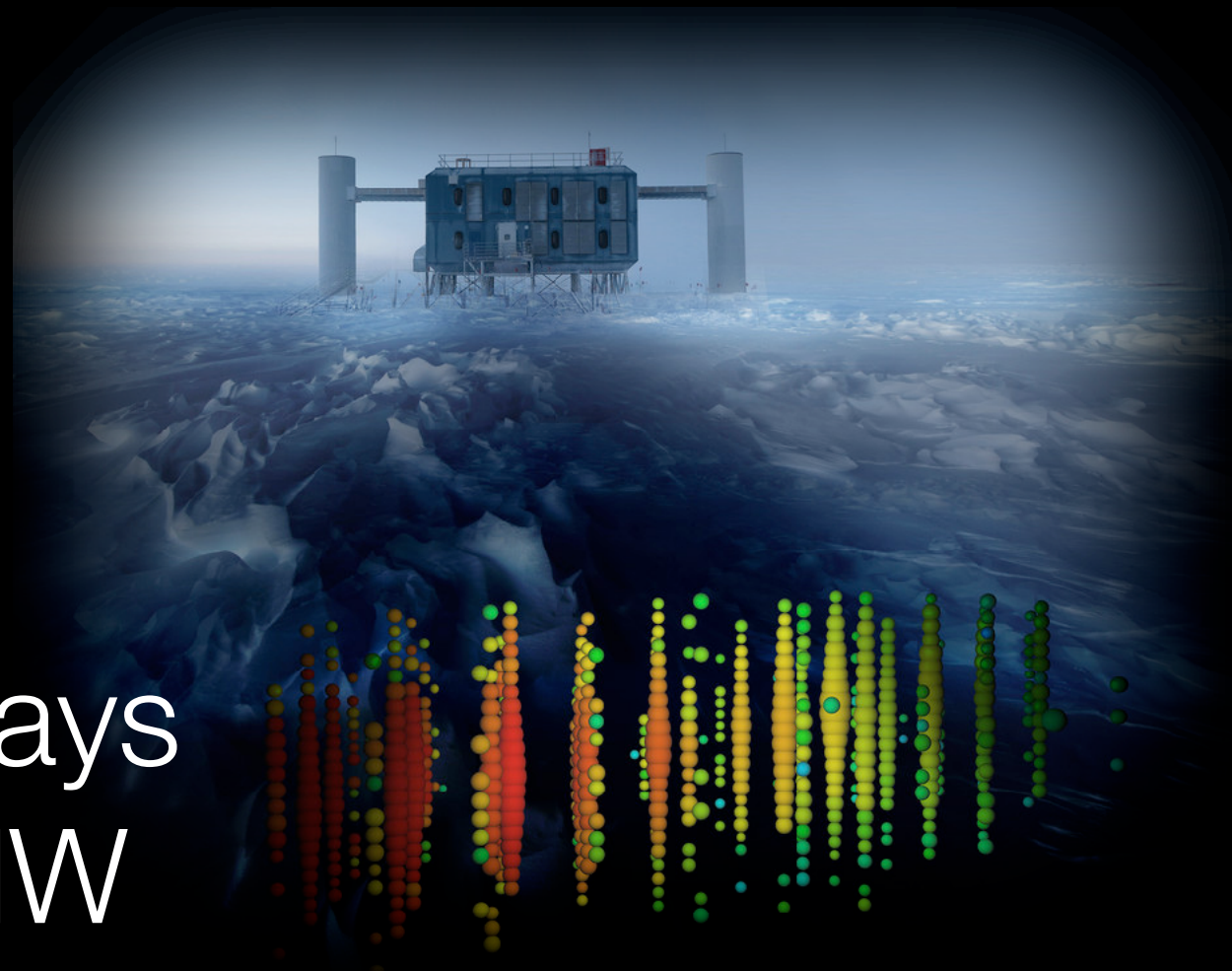
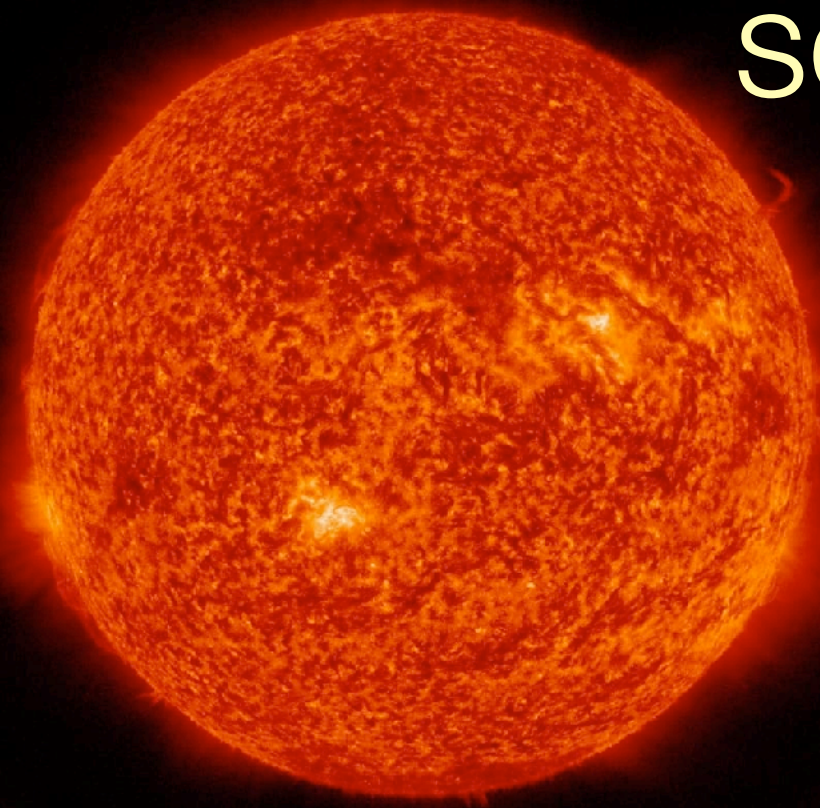
- ★ death throes of massive stars
- ★ nucleosynthesis
- ★ matter under extreme conditions



# Neutrinos as Astrophysical Messengers

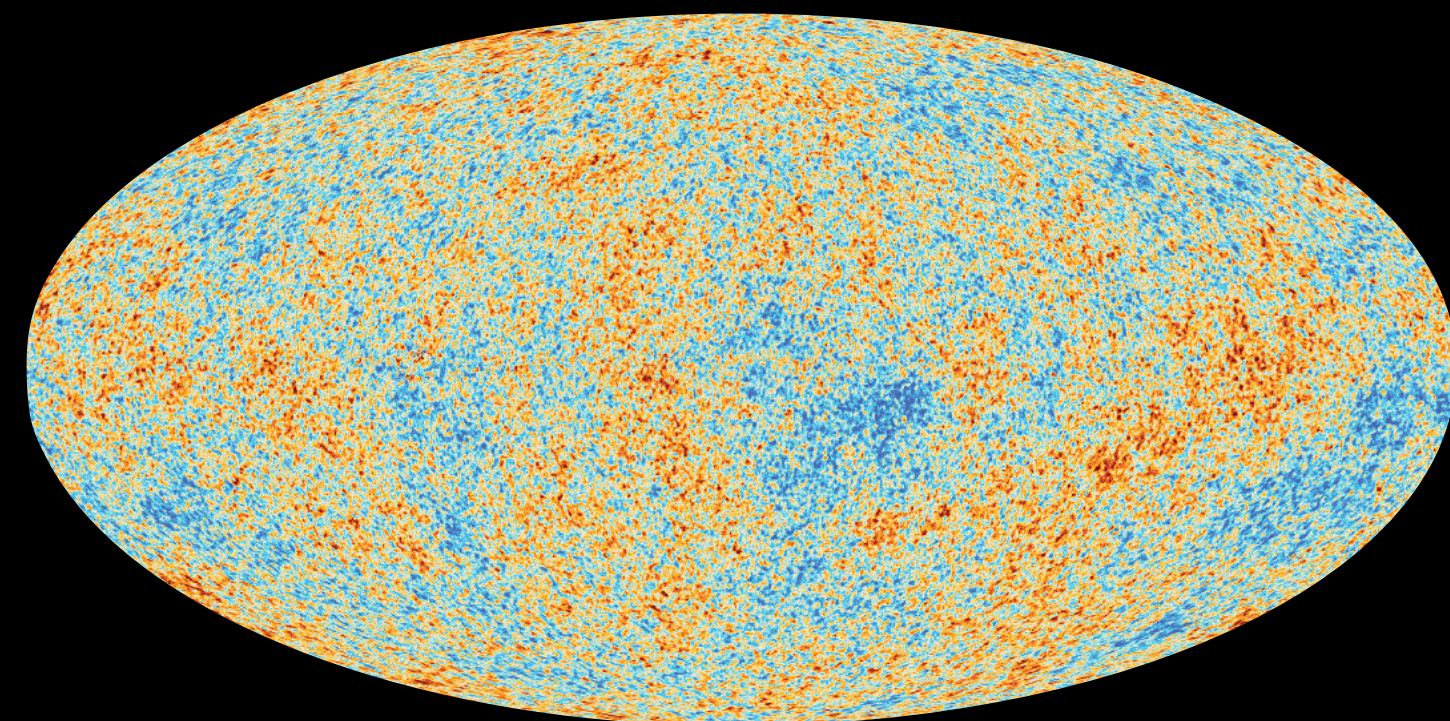
## solar neutrinos

- ★ stellar evolution



## high- $E$ neutrinos

- ★ origin of cosmic rays
- ★ AGNs, blazars, MW



## cosmology

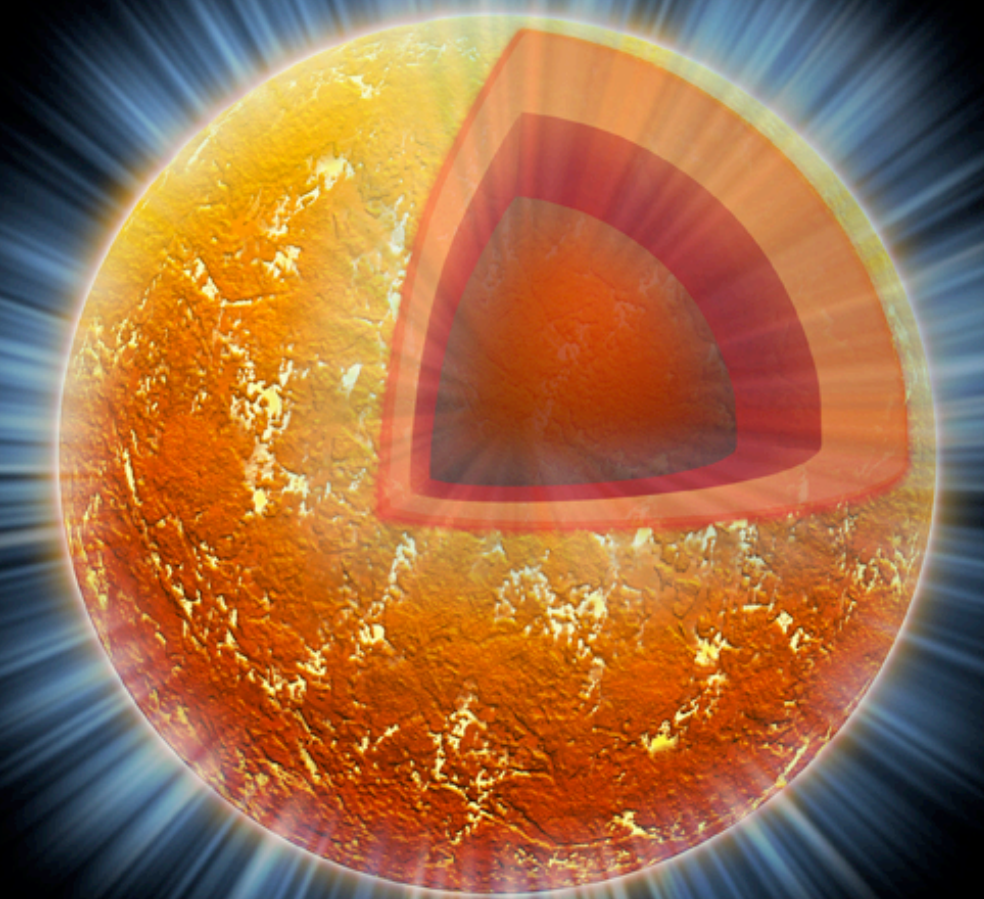
- ★ early Universe

## supernova neutrinos

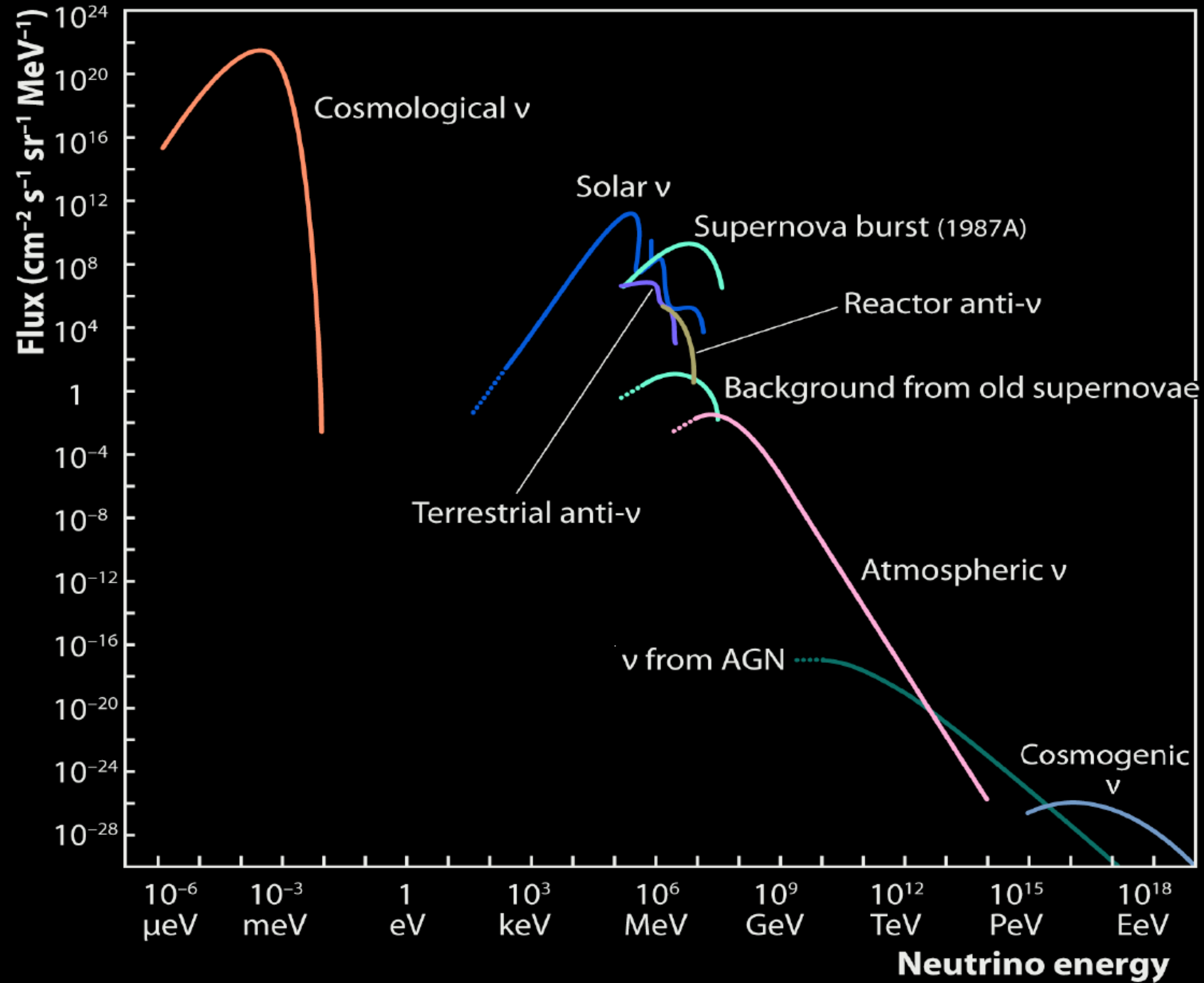
- ★ death throes of massive stars
- ★ nucleosynthesis
- ★ matter under extreme conditions

## neutron stars

- ★ common-envelope systems
- ★ muon decays

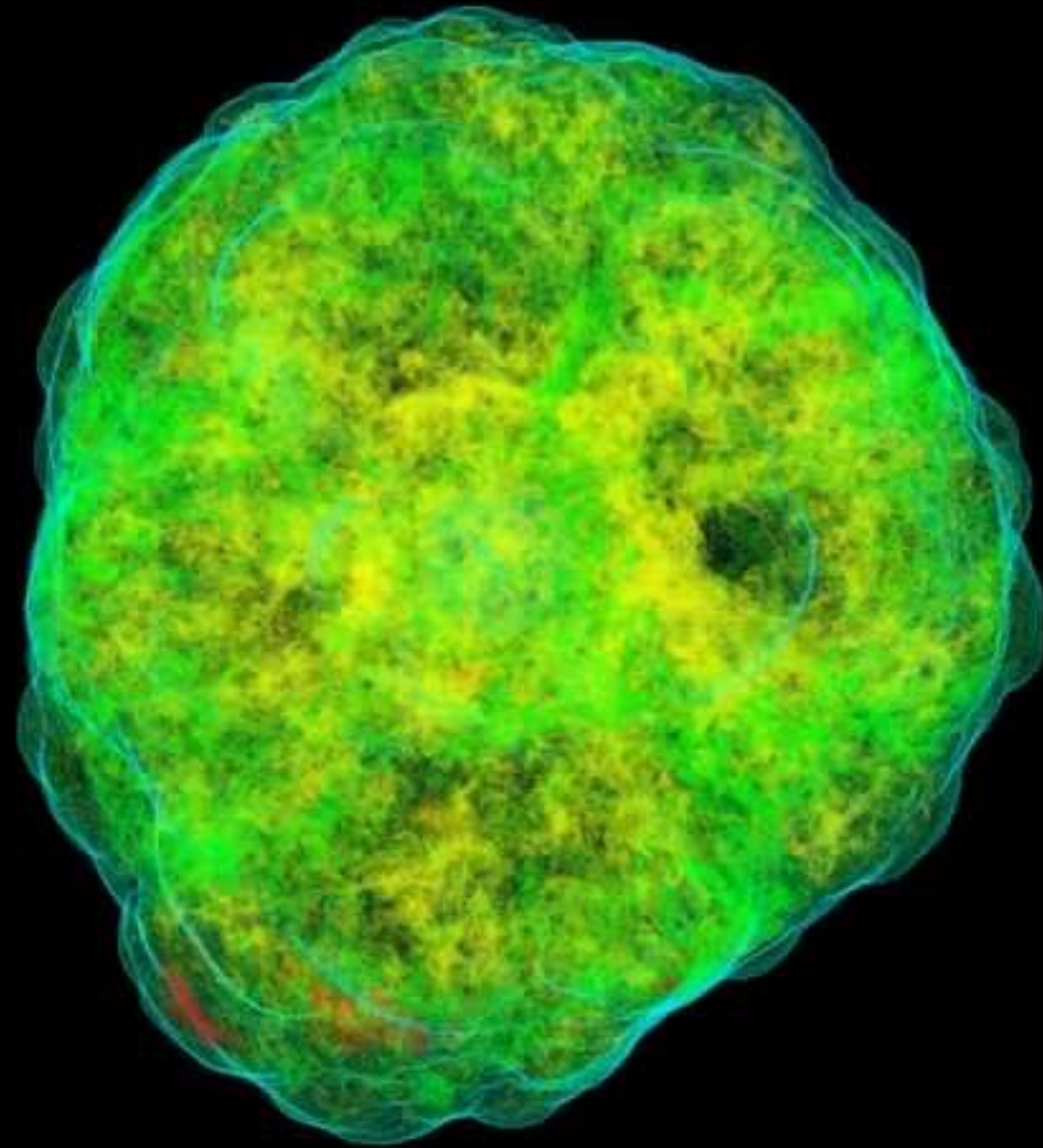


# Neutrinos as Astrophysical Messengers

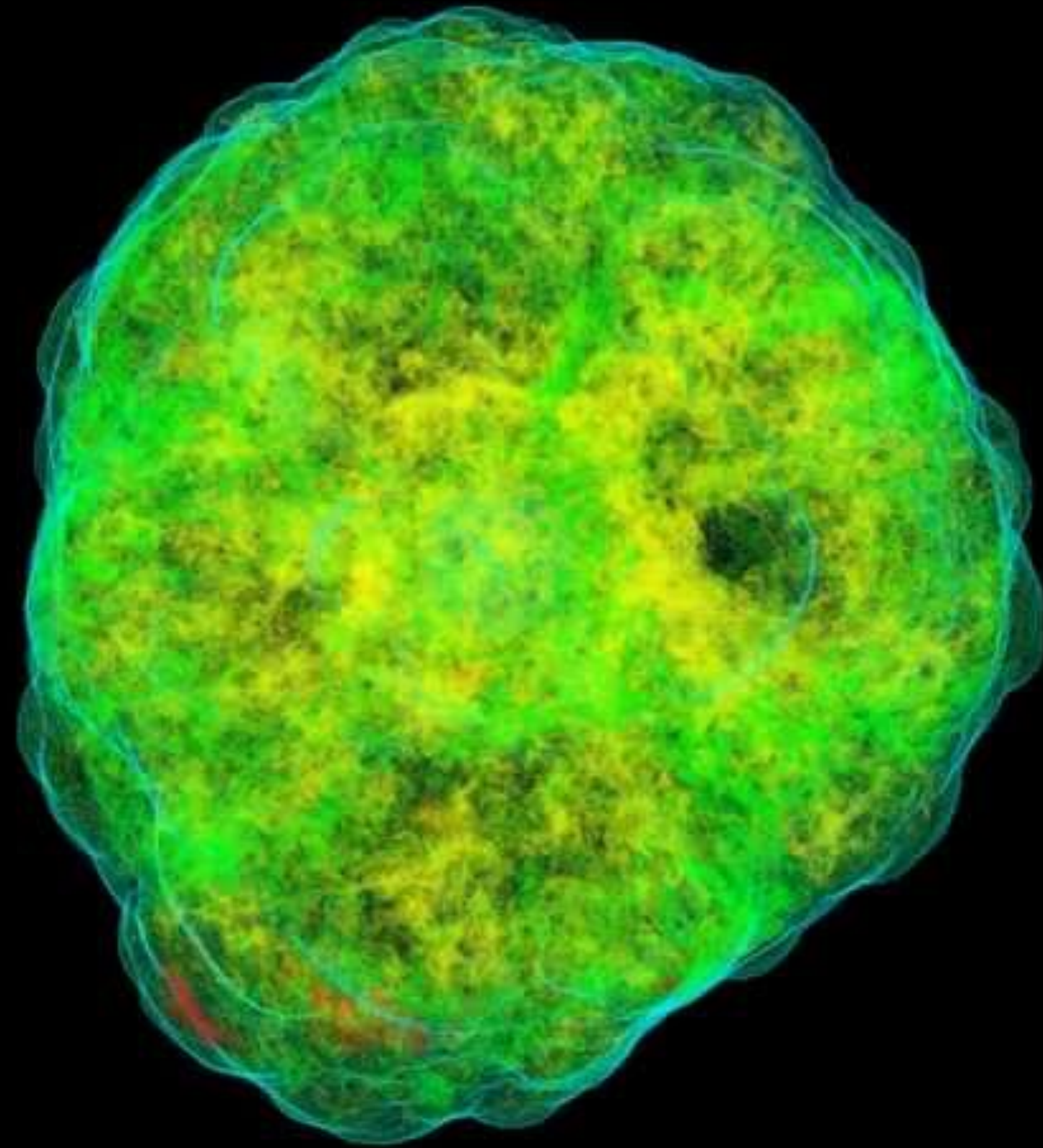




134.05 ms

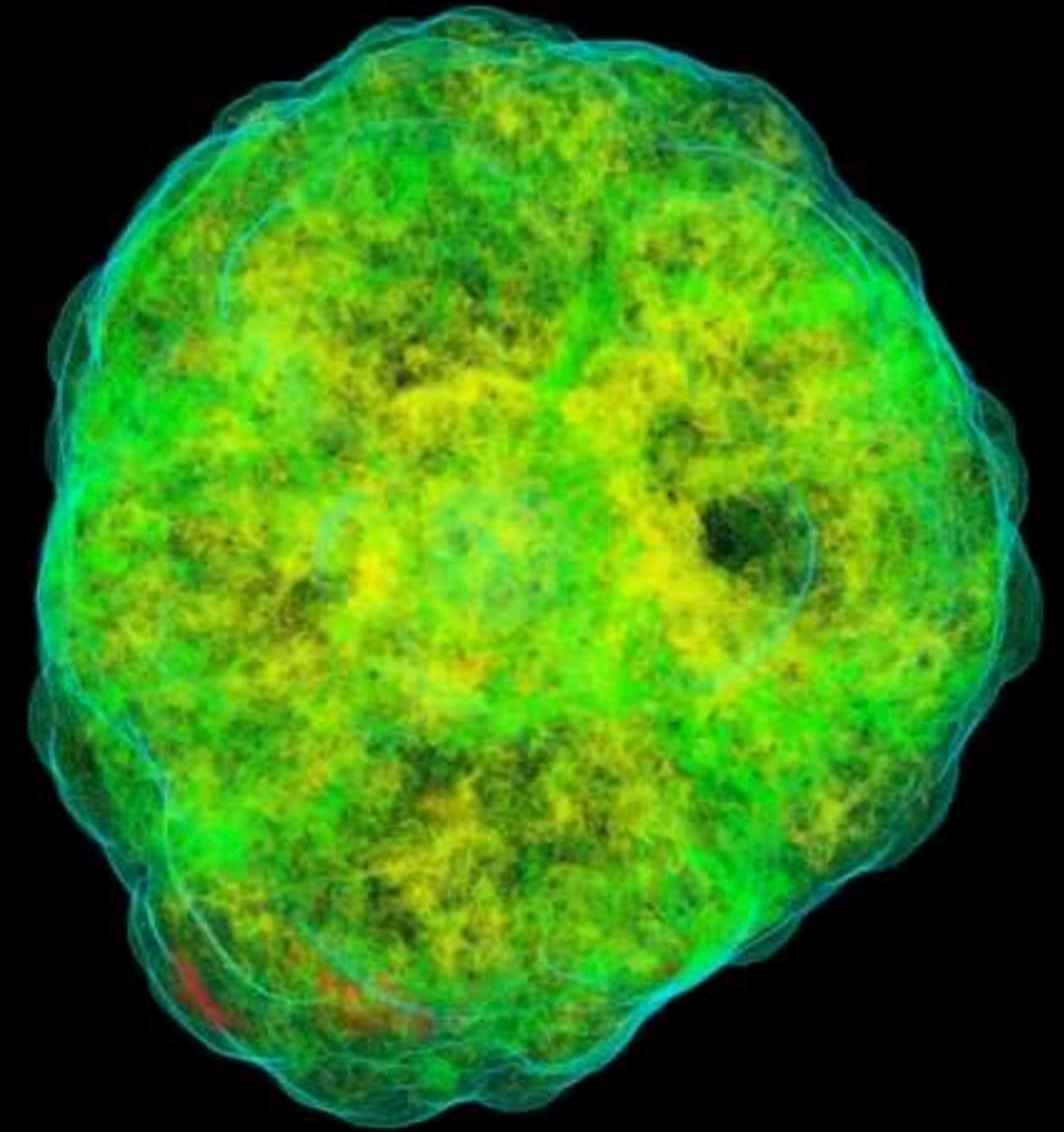


134.05 ms

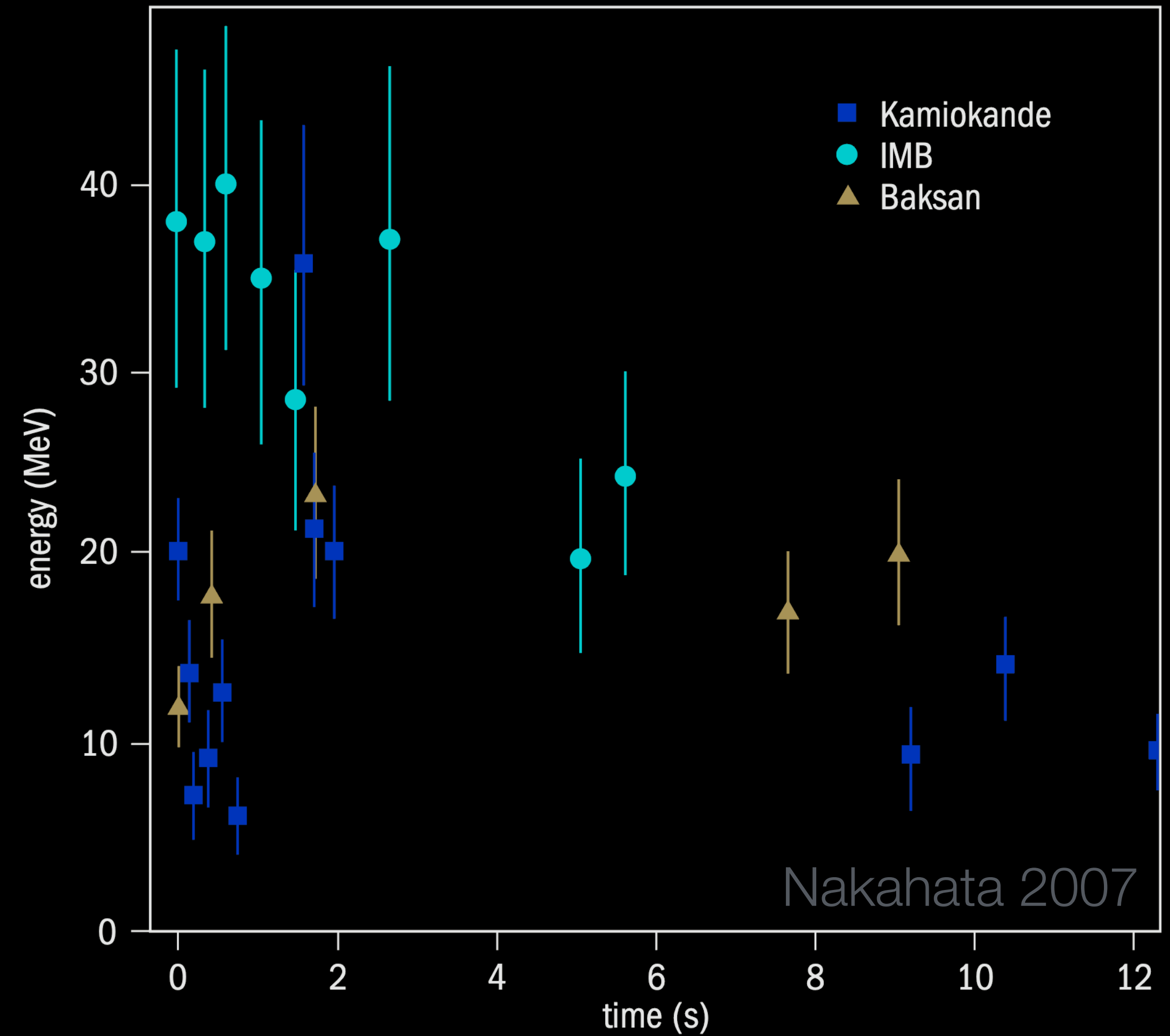


# Core-Collapse Supernovae

- explosion of massive star ( $\geq 8 M_{\odot}$ ) that has run out of fuel
  - no more thermal pressure
  - core collapses
  - gigantic release of gravitational energy
- brighter than an entire galaxy
- $\sim 10\%$  of the star's mass converted to energy
  - 0.01% photons
  - 1% kinetic energy of ejecta
  - 99% neutrinos



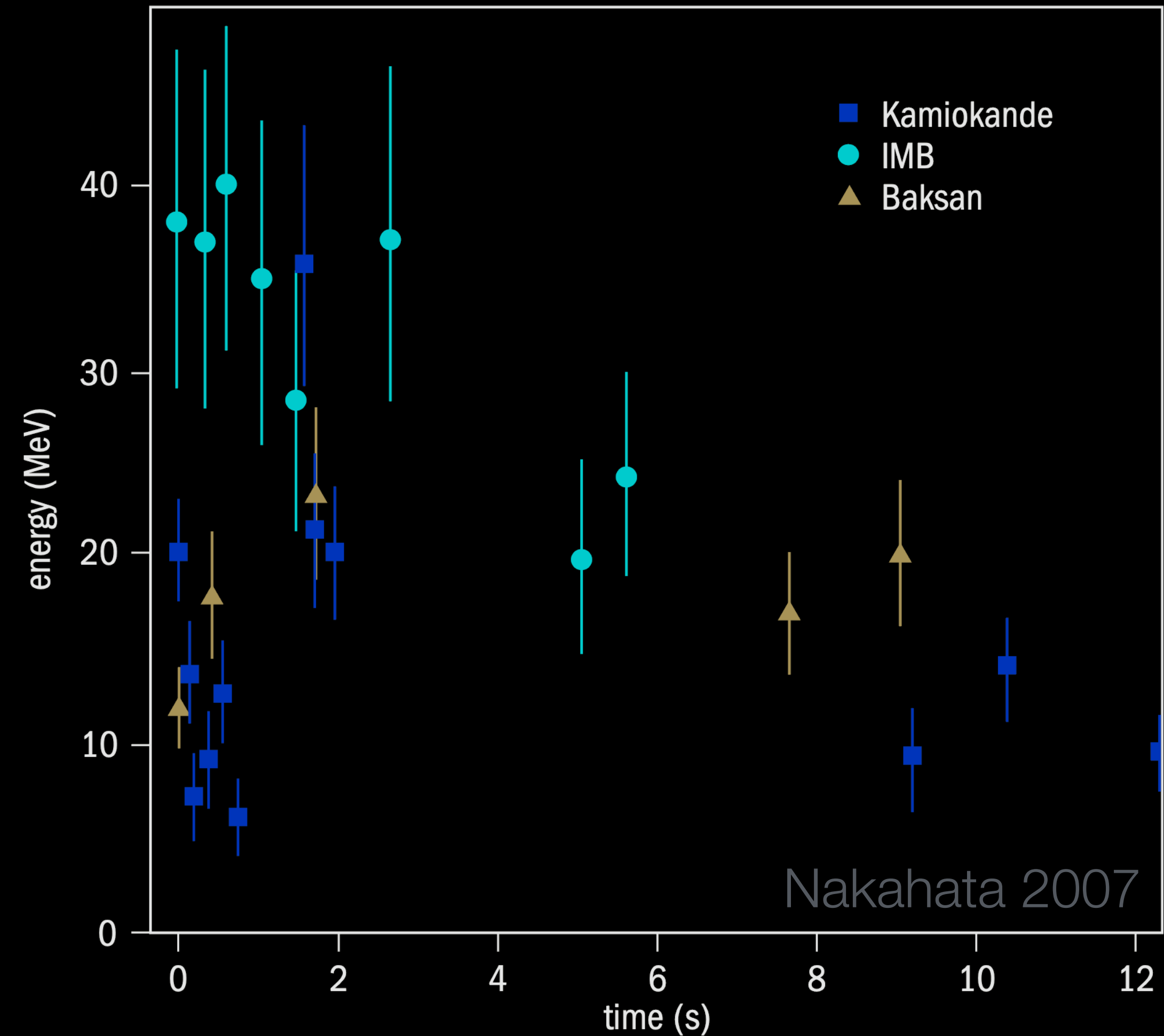
# Supernova Neutrinos





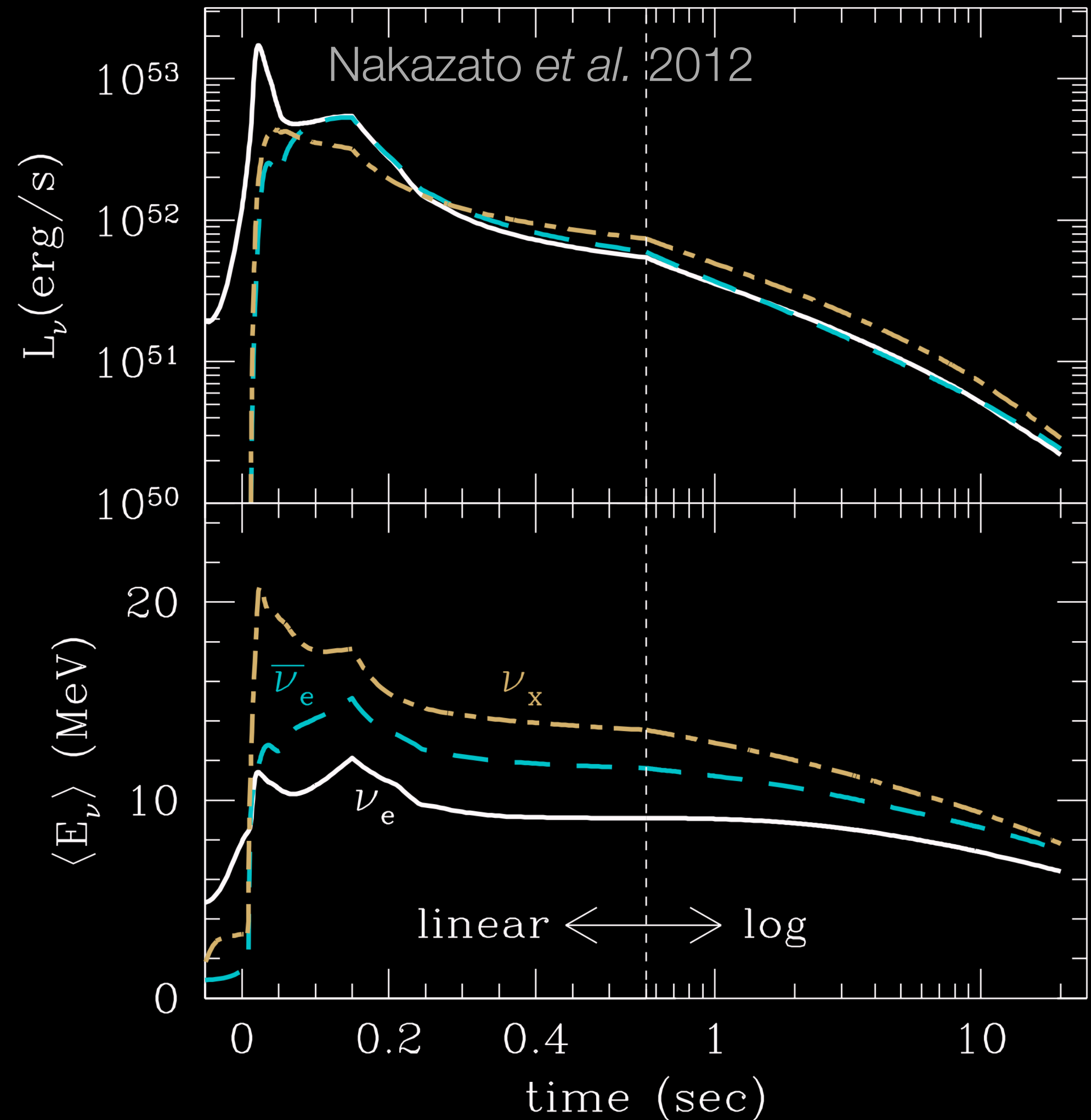
# Supernova Neutrinos

- SN 1987A
  - 25 neutrino events



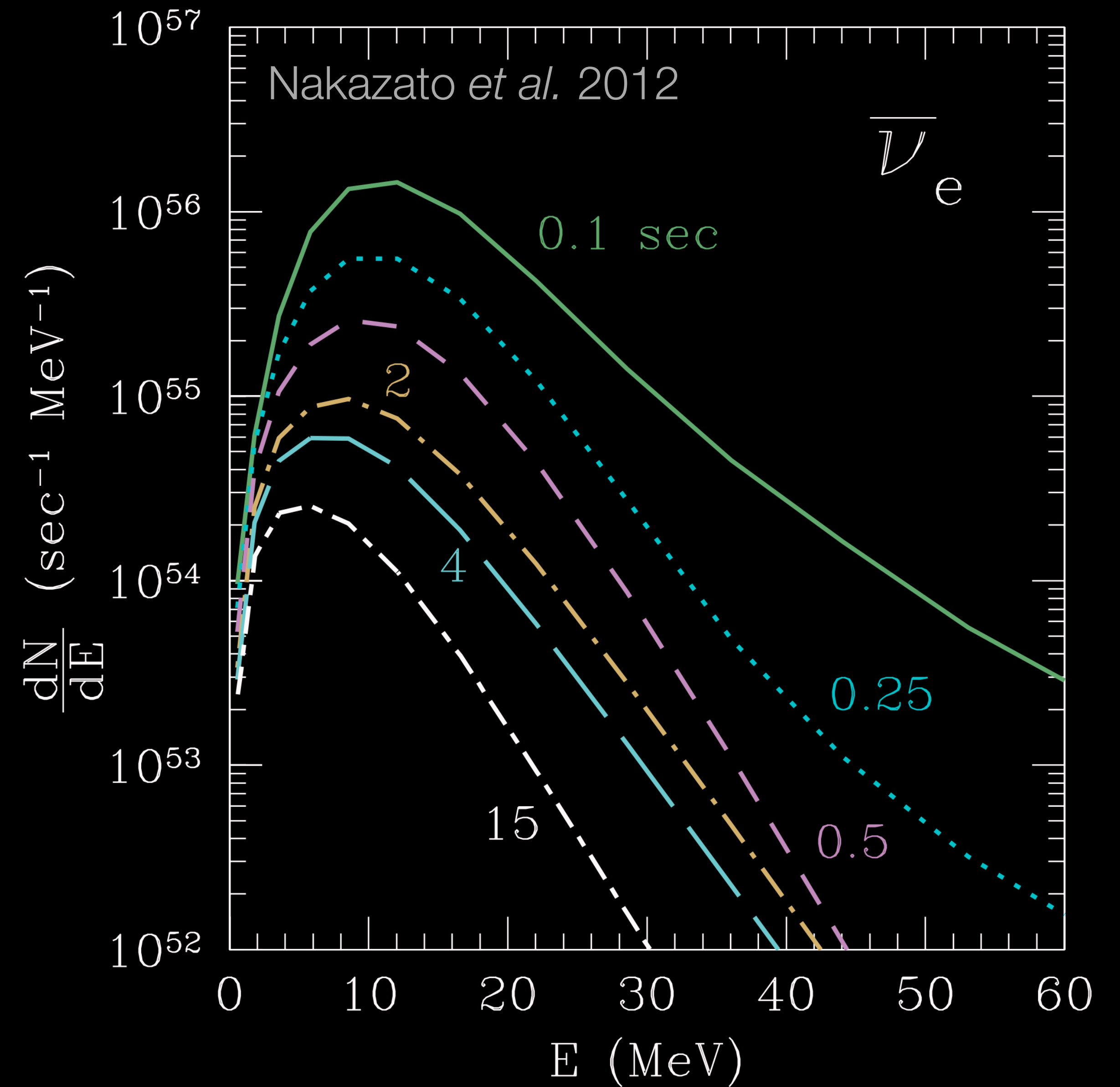
# Supernova Neutrinos

- SN 1987A
  - 25 neutrino events
- the next galactic supernova
  - 10s of thousands of events
  - detailed spectra
  - high-resolution “light” curves
  - wealth of information on collapse dynamics, nucleosynthesis, ...



# Supernova Neutrinos

- SN 1987A
  - 25 neutrino events
- the next galactic supernova
  - 10s of thousands of events
  - detailed spectra
  - high-resolution “light” curves
  - wealth of information on collapse dynamics, nucleosynthesis, ...



# Supernova Neutrinos

- neutrino density  $> 10^{30} \text{ cm}^{-3}$ 
  - ▮ neutrinos induce **MSW** matter effects for themselves
- flavour evolution described by von Neumann equation

$$i(\partial_t + \vec{v} \cdot \vec{\nabla}_{\vec{r}}) \rho_{\vec{r}, \vec{p}} = [H_{\text{vac}} + H_{\text{MSW}} + H_{\nu\nu}, \rho_{\vec{r}, \vec{p}}]$$

# Supernova Neutrinos

- neutrino density  $> 10^{30} \text{ cm}^{-3}$ 
  - ▮▮▮▮▮ neutrinos induce MSW matter effects for themselves
- flavour evolution described by von Neumann equation

density matrix  
in flavour space

$$i(\partial_t + \vec{v} \cdot \vec{\nabla}_{\vec{r}}) \rho_{\vec{r}, \vec{p}} = [H_{\text{vac}} + H_{\text{MSW}} + H_{\nu\nu}, \rho_{\vec{r}, \vec{p}}]$$

**vacuum oscillations**

$$H_{\text{vac}} = \frac{1}{2E} U_{\text{PMNS}} M^2 U_{\text{PMNS}}^\dagger$$

**matter effects**

$$H_{\text{MSW}} = \sqrt{2} G_F n_e \begin{pmatrix} 1 & & \\ & 0 & \\ & & 0 \end{pmatrix}$$

**self-interactions**

$$H_{\nu\nu} = \sqrt{2} G_F \int \frac{d^3 q}{(2\pi)^3} (1 - \cos \theta_{\vec{p}\vec{q}}) (\rho_{\vec{r}, \vec{q}} - \bar{\rho}_{\vec{r}, \vec{q}})$$

# Supernova Neutrinos

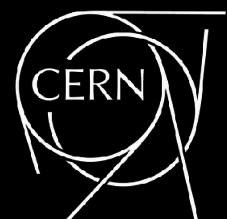
- neutrino density  $> 10^{30} \text{ cm}^{-3}$ 
  - ▣ neutrinos induce **MSW** matter effects for themselves
- flavour evolution described by von Neumann equation

$$i(\partial_t + \vec{v} \cdot \vec{\nabla}_{\vec{r}}) \rho_{\vec{r}, \vec{p}} = [H_{\text{vac}} + H_{\text{MSW}} + H_{\nu\nu}, \rho_{\vec{r}, \vec{p}}]$$

- at large  $n_\nu$ :
  - same equation for all energies ▣ synchronization
  - non-trivial angular dependence
- non-linear equation ▣ dynamics highly non-trivial
- computationally intractable so far

# Supernova Neutrinos

- ★ pure **Standard Model** problem
- ★ solution will be crucial for the next **Galactic supernova**



# Supernova Neutrinos on a Quantum Computer

- highly entangled quantum system calls for simulation on a quantum system
- basic idea: flavour state of each neutrino mode represented by qubit  $q_i$   
(in 2-flavour approximation)

Hall et al. 2021, Amitrano et al. 2022, Siwach et al. 2023

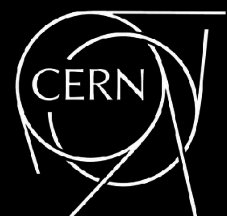
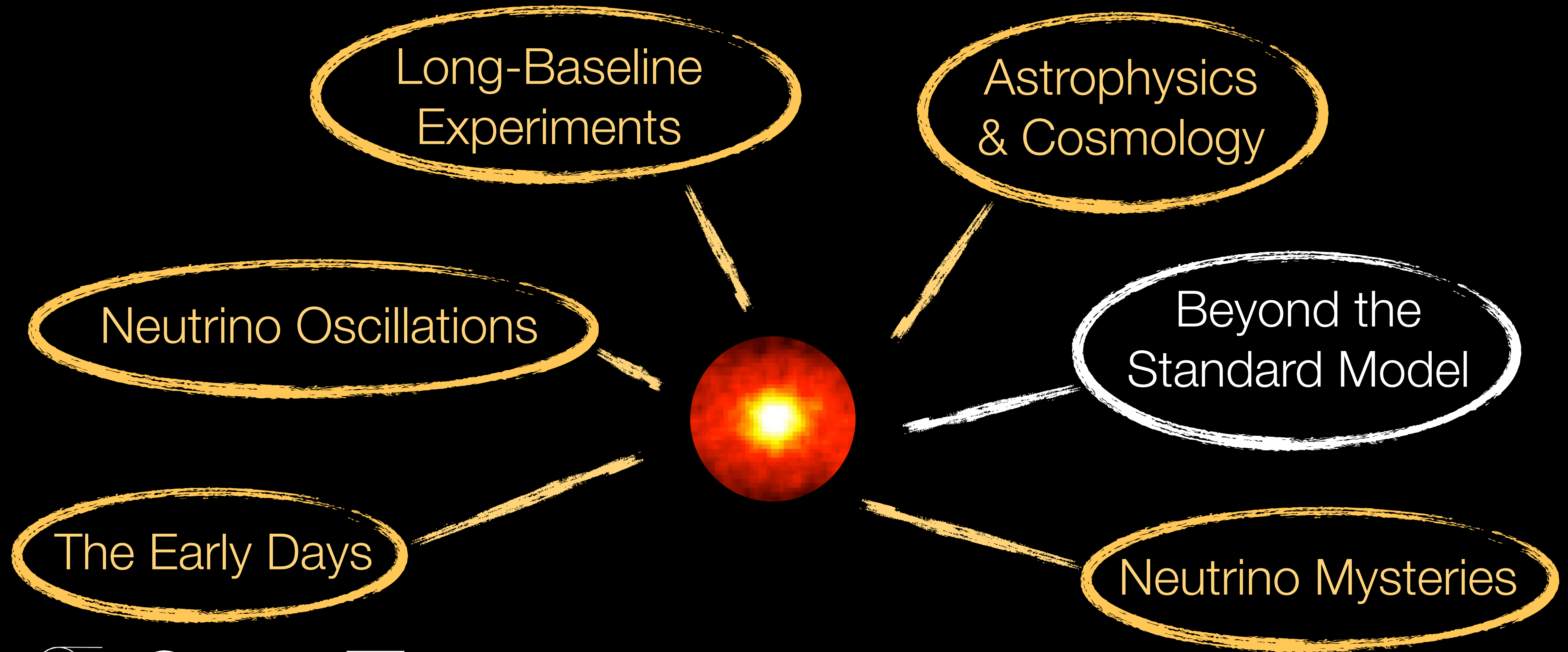
states:  $|\psi\rangle = |q_1\rangle \otimes |q_2\rangle \otimes \dots \otimes |q_N\rangle$

Hamiltonian:  $H = \sum_{k=1}^N \vec{b} \cdot \vec{\sigma}_k + \sum_{p < q}^N J_{pq} \vec{\sigma}_p \cdot \vec{\sigma}_q$

- time-evolution via Trotterization (discretisation in  $t$  + low-order expansion of  $S = e^{i\hat{H}\delta t}$ )

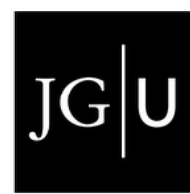
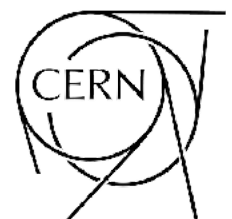


# Outline



# Example: Neutrino Magnetic Moments

Petcov 1977  
Fujikawa Shrock 1980



# Example: Neutrino Magnetic Moments

- Magnetic moment operator

$$\mathcal{L} \supset \frac{1}{2} \mu_\nu^{\alpha\beta} \bar{\nu}_L^\alpha \sigma^{\mu\nu} \nu_R^\beta F_{\mu\nu}$$

Petcov 1977  
Fujikawa Shrock 1980

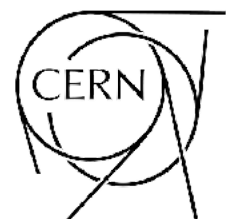


# Example: Neutrino Magnetic Moments

- Magnetic n Couples LH and RH neutrinos

$$\mathcal{L} \supset \frac{1}{2} \mu_{\nu}^{\alpha\beta} \bar{\nu}_L^{\alpha} \sigma^{\mu\nu} \nu_R^{\beta} F_{\mu\nu}$$

Petcov 1977  
Fujikawa Shrock 1980



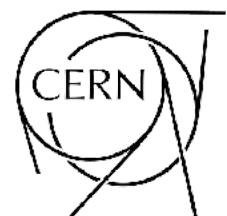
# Example: Neutrino Magnetic Moments

- Magnetic n Couples LH and RH neutrinos

$$\mathcal{L} \supset \frac{1}{2} \mu_{\nu}^{\alpha\beta} \bar{\nu}_L^{\alpha} \sigma^{\mu\nu} \nu_R^{\beta} F_{\mu\nu}$$

electromagnetic  
field strength tensor

Petcov 1977  
Fujikawa Shrock 1980

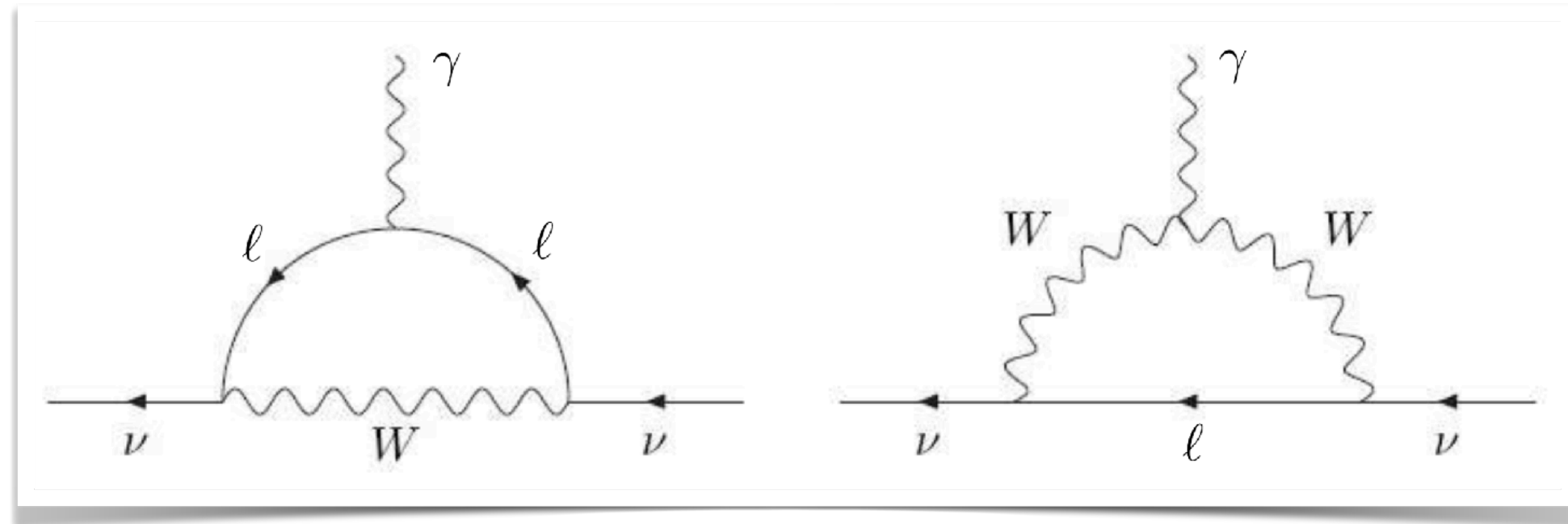


# Example: Neutrino Magnetic Moments

- Magnetic moment operator

$$\mathcal{L} \supset \frac{1}{2} \mu_\nu^{\alpha\beta} \bar{\nu}_L^\alpha \sigma^{\mu\nu} \nu_R^\beta F_{\mu\nu}$$

- In the SM: generated by loop diagrams



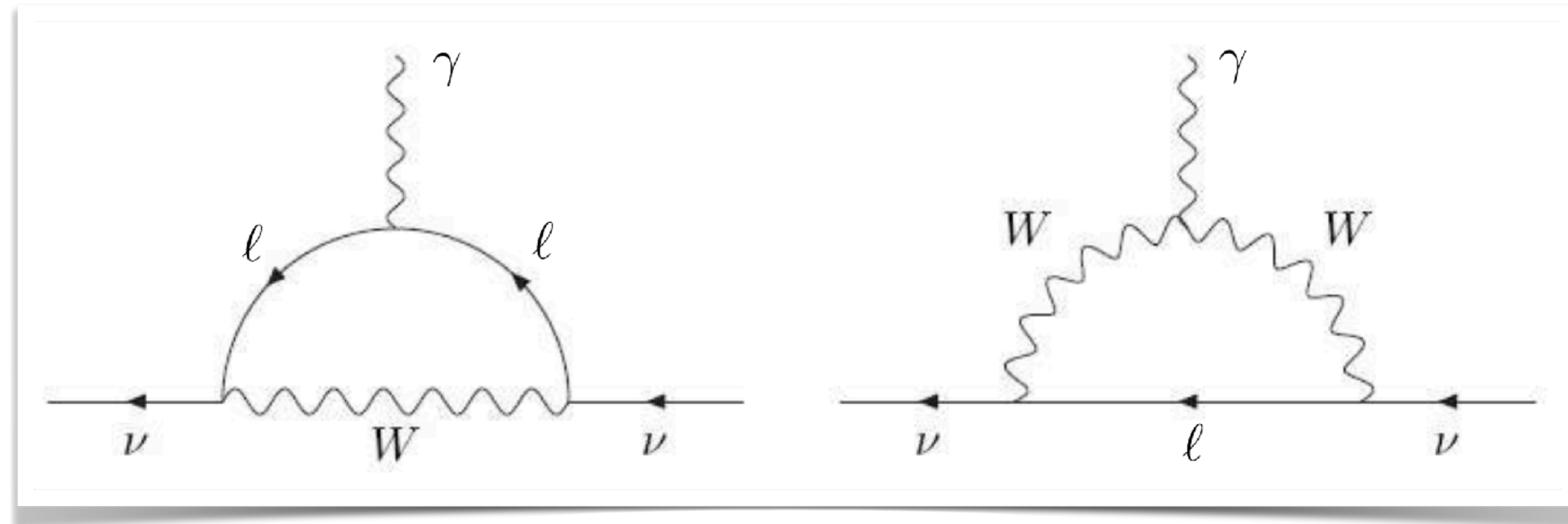
Petcov 1977  
Fujikawa Shrock 1980

# Example: Neutrino Magnetic Moments

- Magnetic moment operator

$$\mathcal{L} \supset \frac{1}{2} \mu_{\nu}^{\alpha\beta} \bar{\nu}_L^{\alpha} \sigma^{\mu\nu} \nu_R^{\beta} F_{\mu\nu}$$

- In the SM: generated by loop diagrams



- Numerically tiny:  $10^{-19} \mu_B$

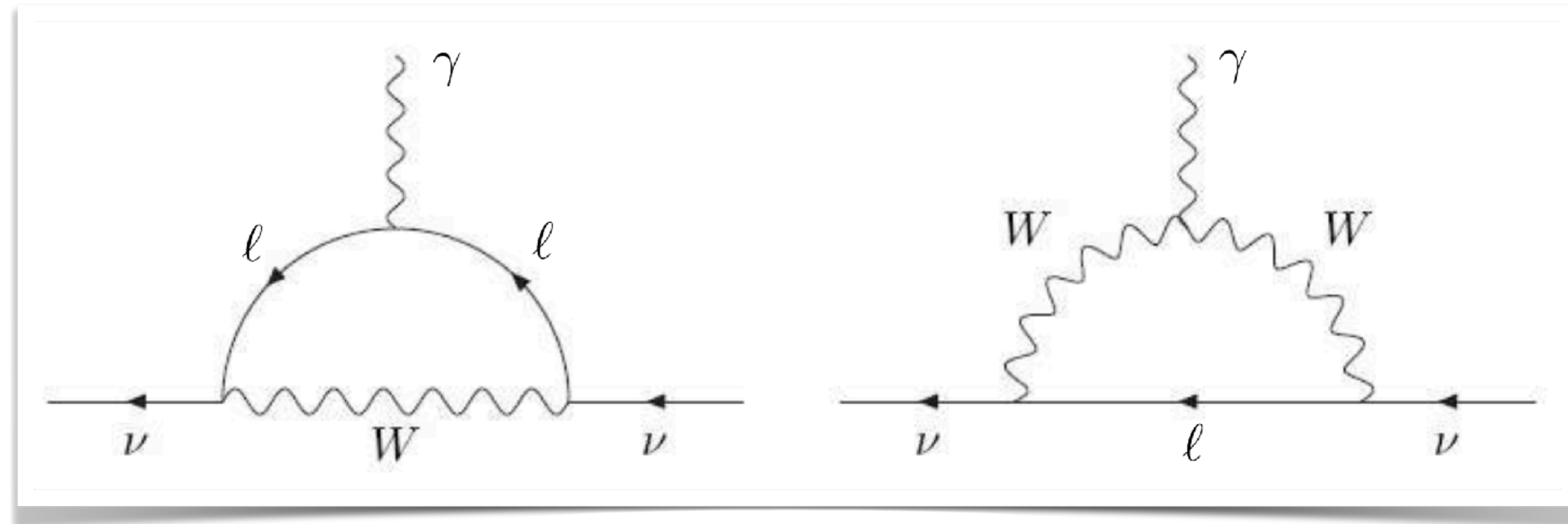
Petcov 1977  
Fujikawa Shrock 1980

# Example: Neutrino Magnetic Moments

- Magnetic moment operator

$$\mathcal{L} \supset \frac{1}{2} \mu_\nu^{\alpha\beta} \bar{\nu}_L^\alpha \sigma^{\mu\nu} \nu_R^\beta F_{\mu\nu}$$

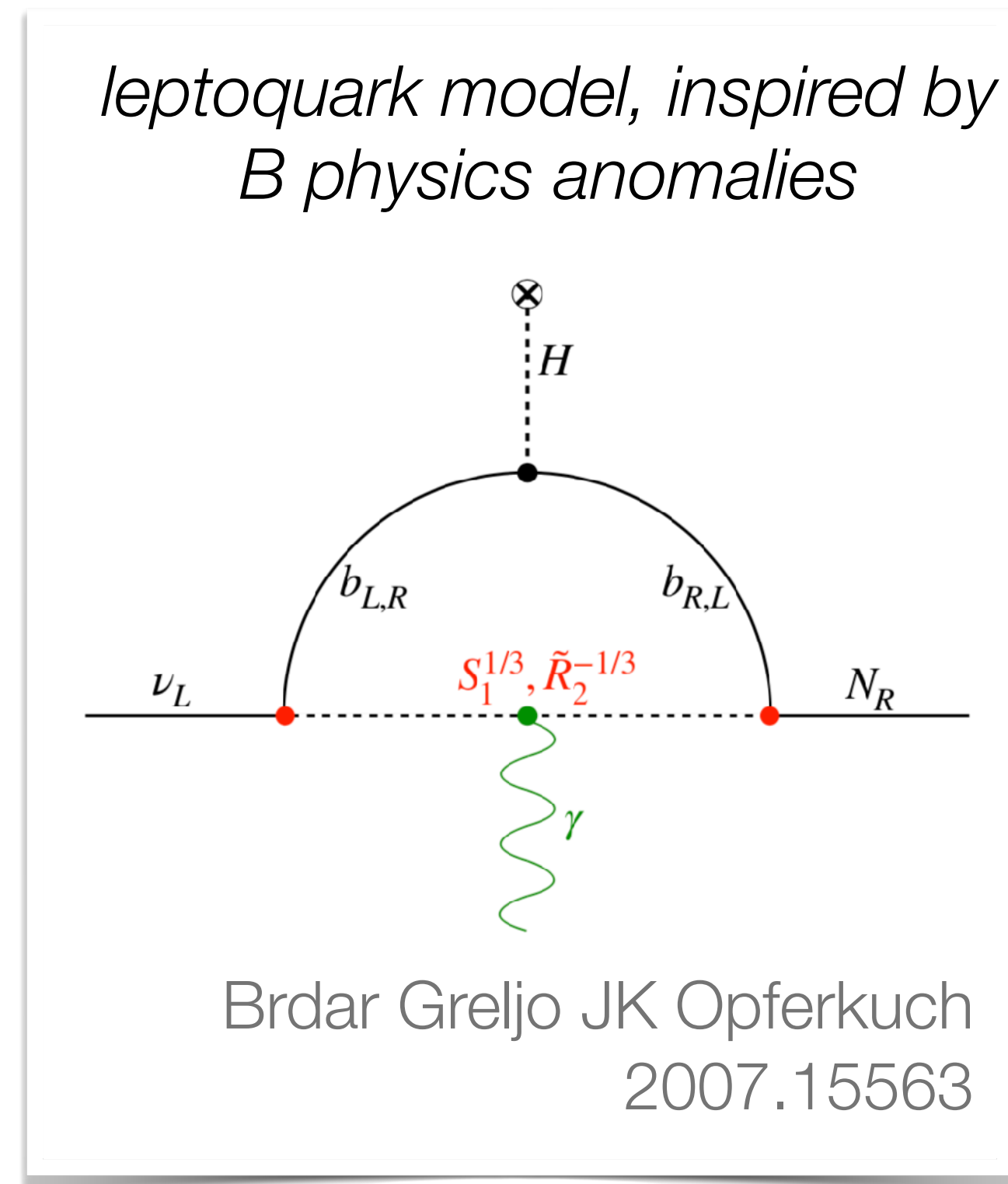
- In the SM: generated by loop diagrams



- Numerically tiny:  $10^{-19} \mu_B$

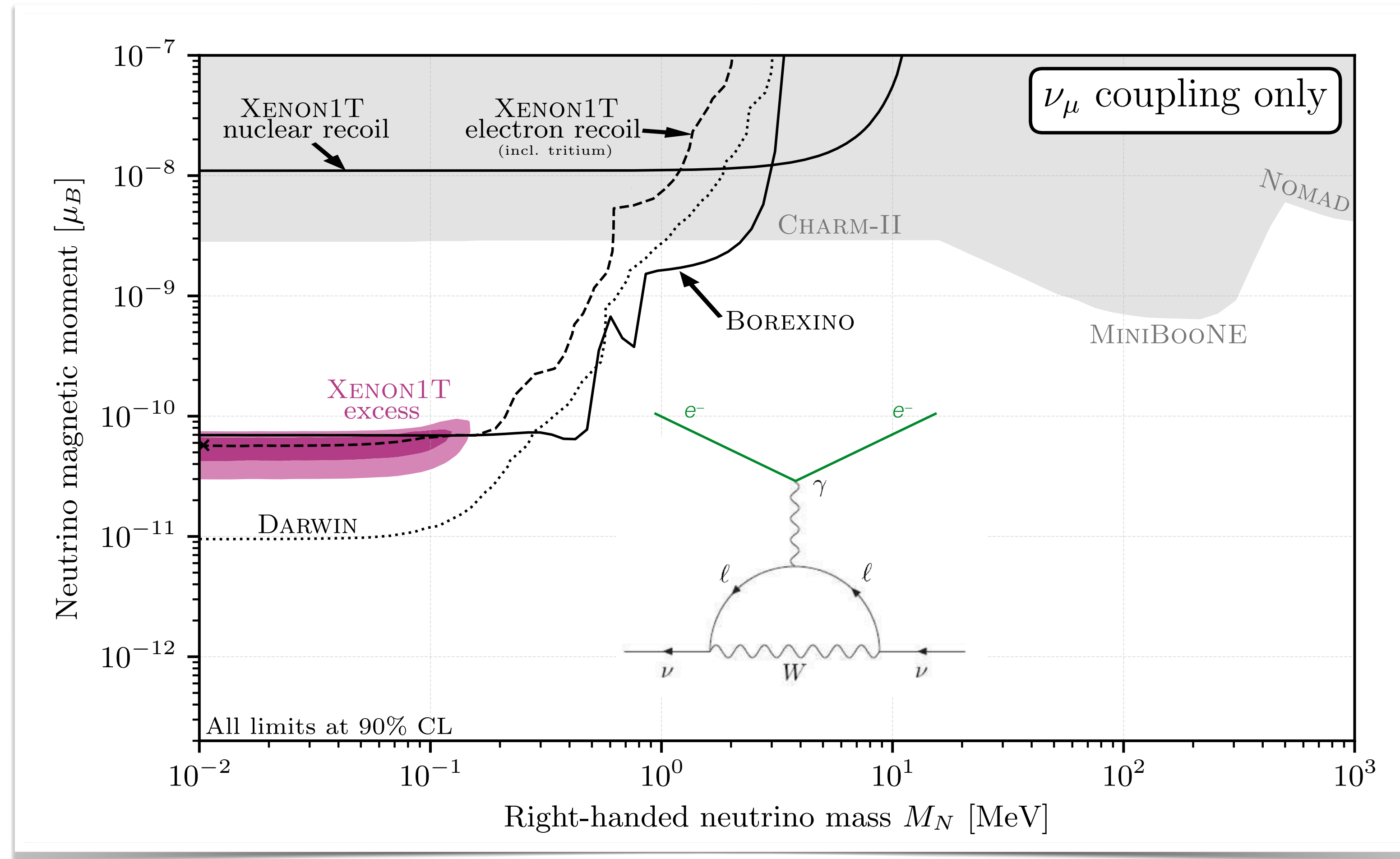
Petcov 1977  
Fujikawa Shrock 1980

- Can be significantly enhanced in extensions of the SM





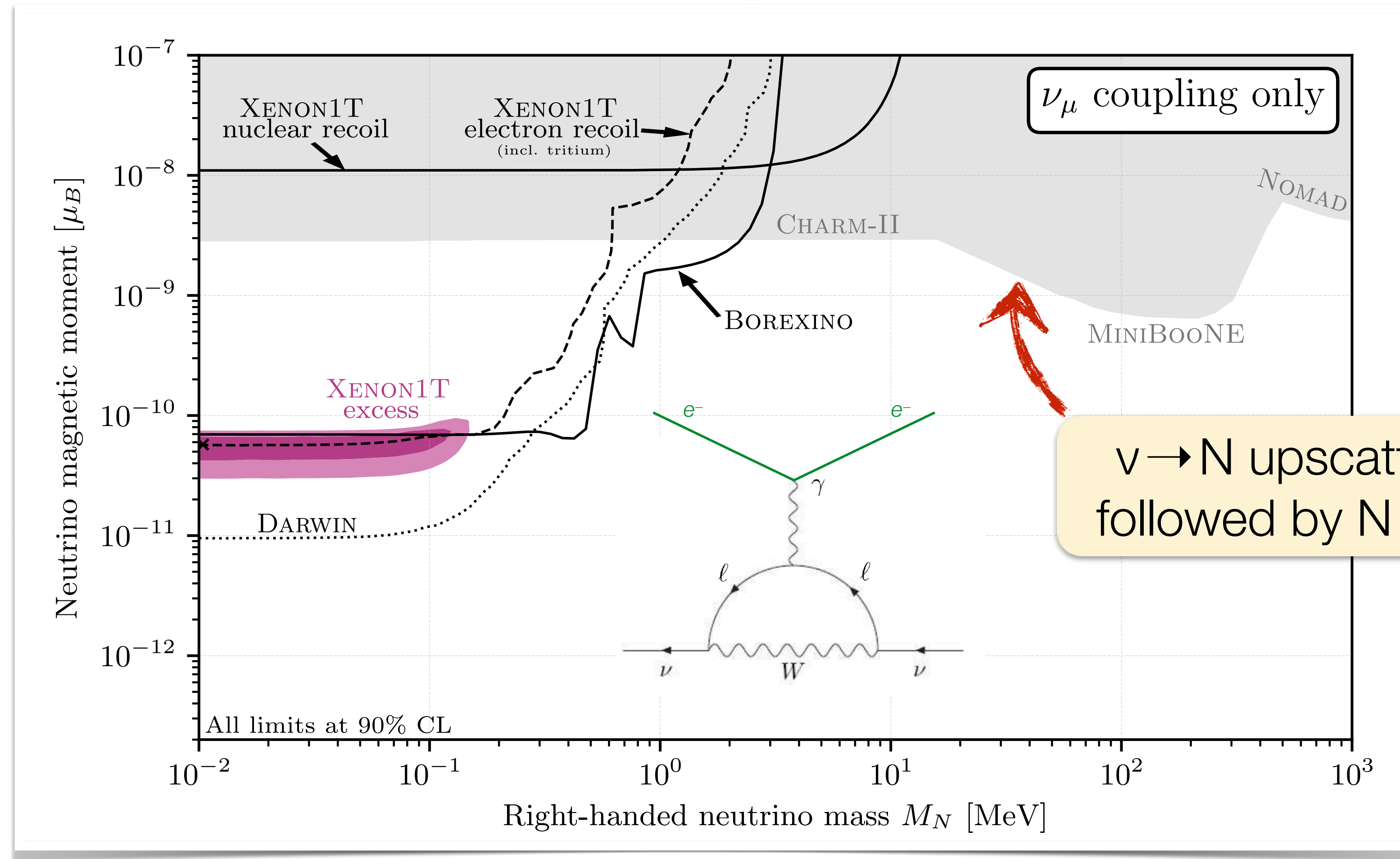
# Neutrino Magnetic Moments: Constraints



Coloma Machado Martinez-Soler Shoemaker [1707.08573](#), Magill Plestid Pospelov Tsai [1803.03262](#)  
 Shoemaker Wyenberg [1811.12435](#), Brdar Greljo JK Opferkuch [arXiv:2007.15563](#), Greljo Stangl Thomsen [2103.13991](#)

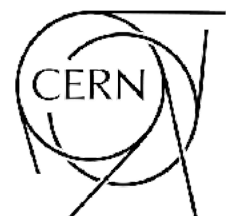


# Neutrino Magnetic Moments: Constraints

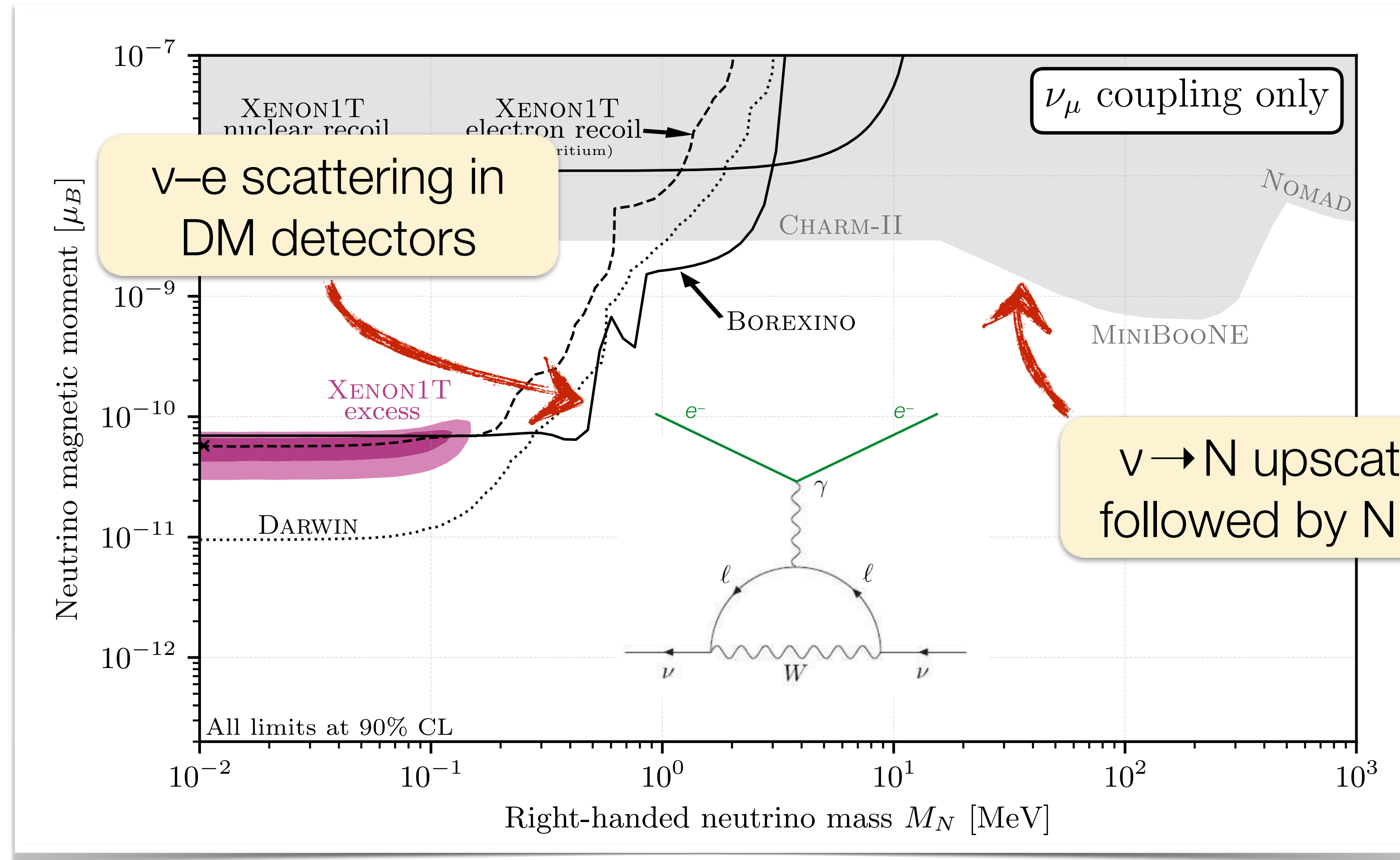


Coloma Machado Martinez-Soler Shoemaker [1707.08573](#), Magill Plestid Pospelov Tsai [1803.03262](#)

Shoemaker Wyenberg [1811.12435](#), Brdar Greljo JK Opferkuch [arXiv:2007.15563](#), Greljo Stangl Thomsen [2103.13991](#)



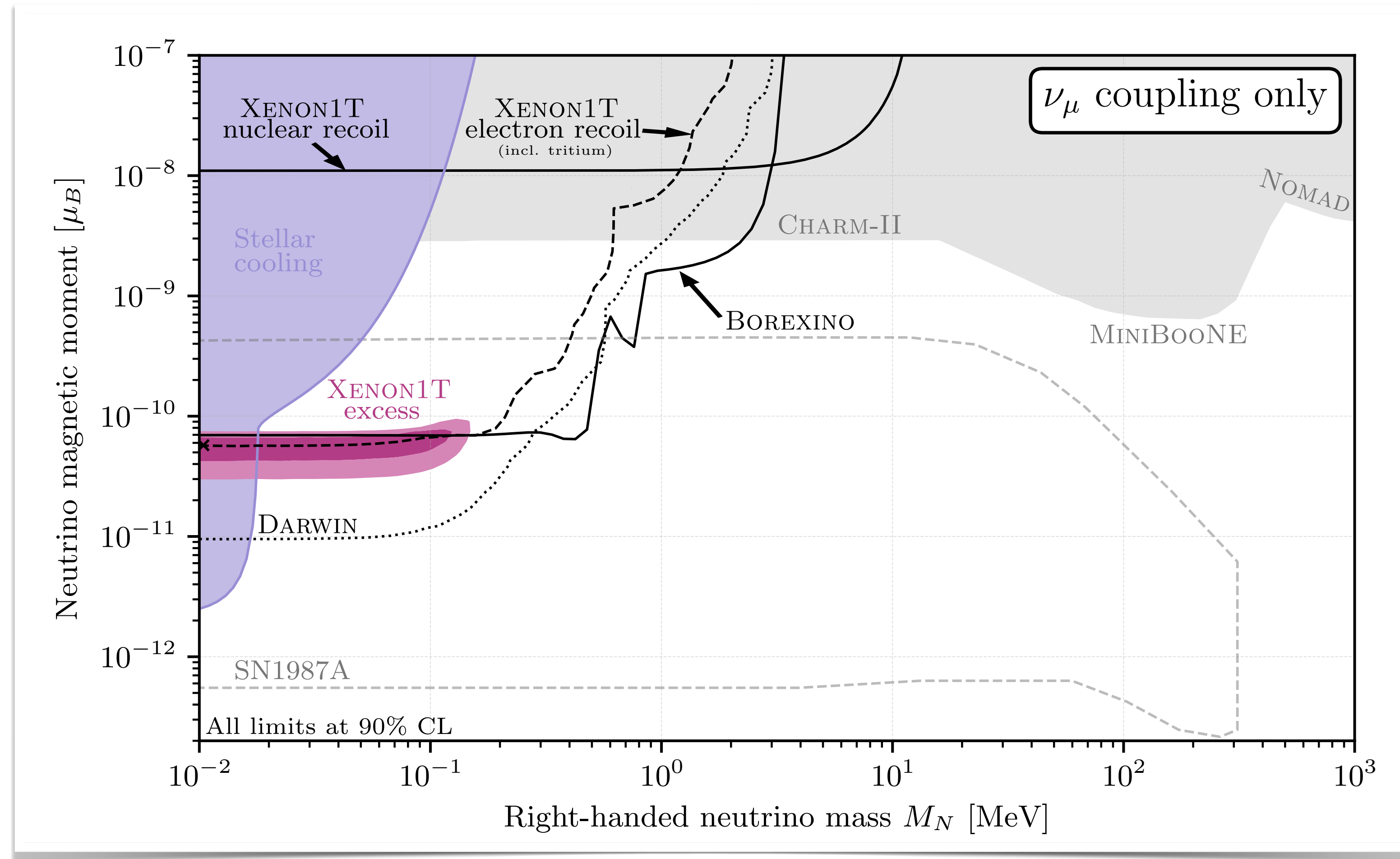
# Neutrino Magnetic Moments: Constraints



Coloma Machado Martinez-Soler Shoemaker [1707.08573](#), Magill Plestid Pospelov Tsai [1803.03262](#)  
 Shoemaker Wyenberg [1811.12435](#), Brdar Greljo JK Opferkuch [arXiv:2007.15563](#), Greljo Stangl Thomsen [2103.13991](#)

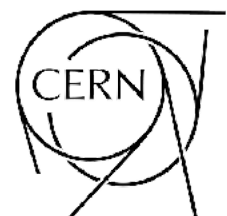


# Neutrino Magnetic Moments: Constraints

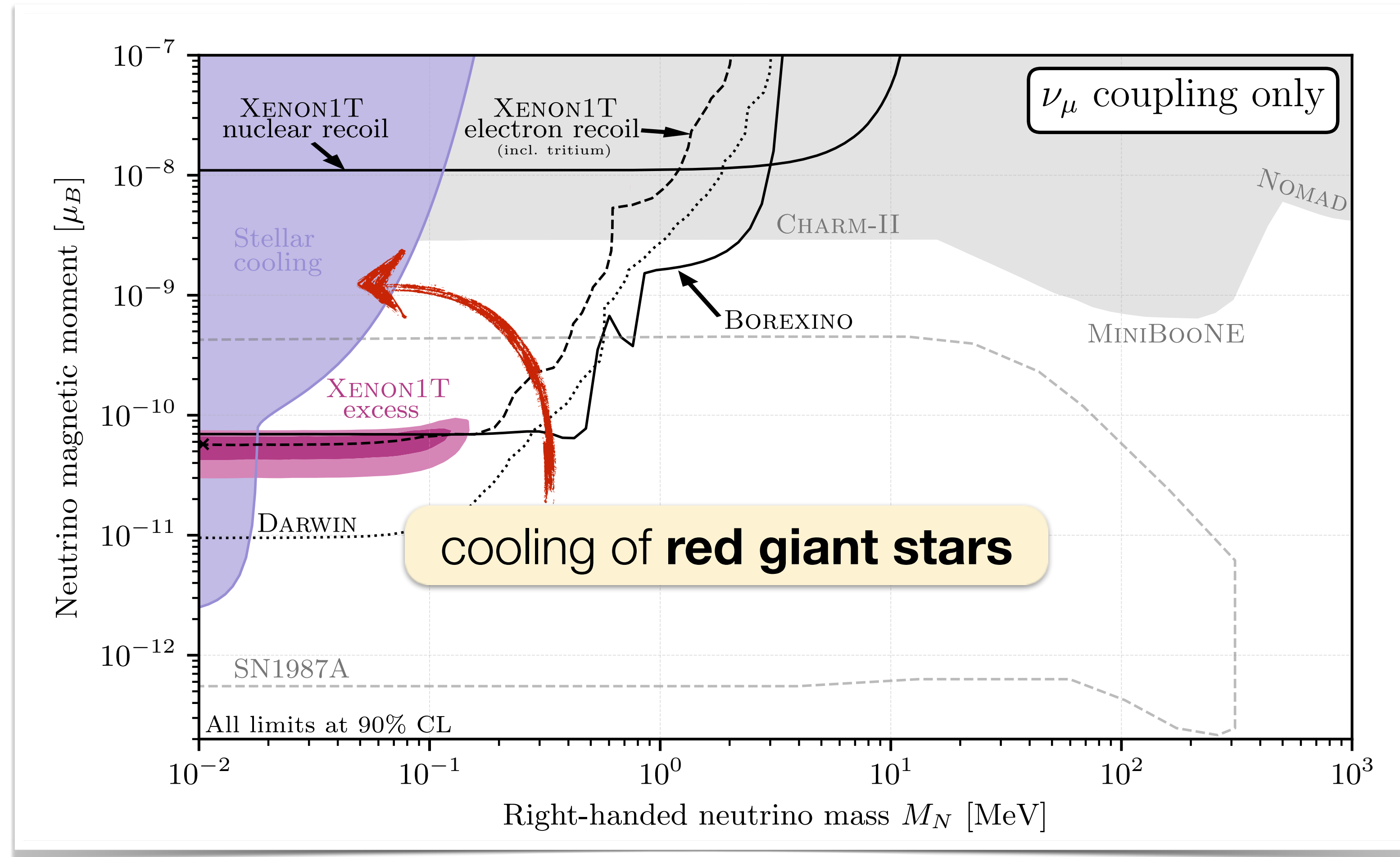


Coloma Machado Martinez-Soler Shoemaker [1707.08573](#), Magill Plestid Pospelov Tsai [1803.03262](#)

Shoemaker Wyenberg [1811.12435](#), Brdar Greljo JK Opferkuch [arXiv:2007.15563](#), Greljo Stangl Thomsen [2103.13991](#)



# Neutrino Magnetic Moments: Constraints

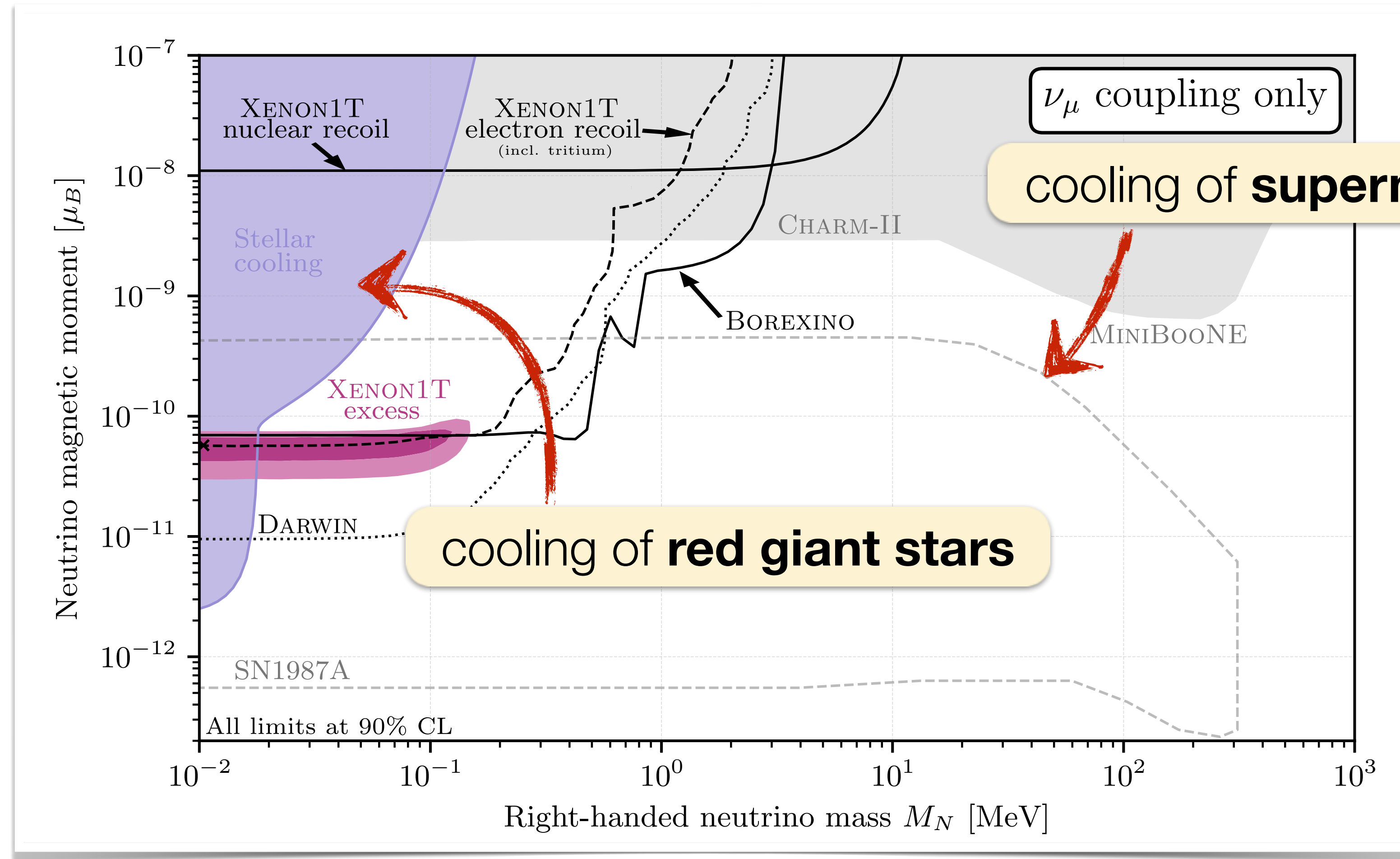


Coloma Machado Martinez-Soler Shoemaker [1707.08573](#), Magill Plestid Pospelov Tsai [1803.03262](#)

Shoemaker Wyenberg [1811.12435](#), Brdar Greljo JK Opferkuch [arXiv:2007.15563](#), Greljo Stangl Thomsen [2103.13991](#)



# Neutrino Magnetic Moments: Constraints

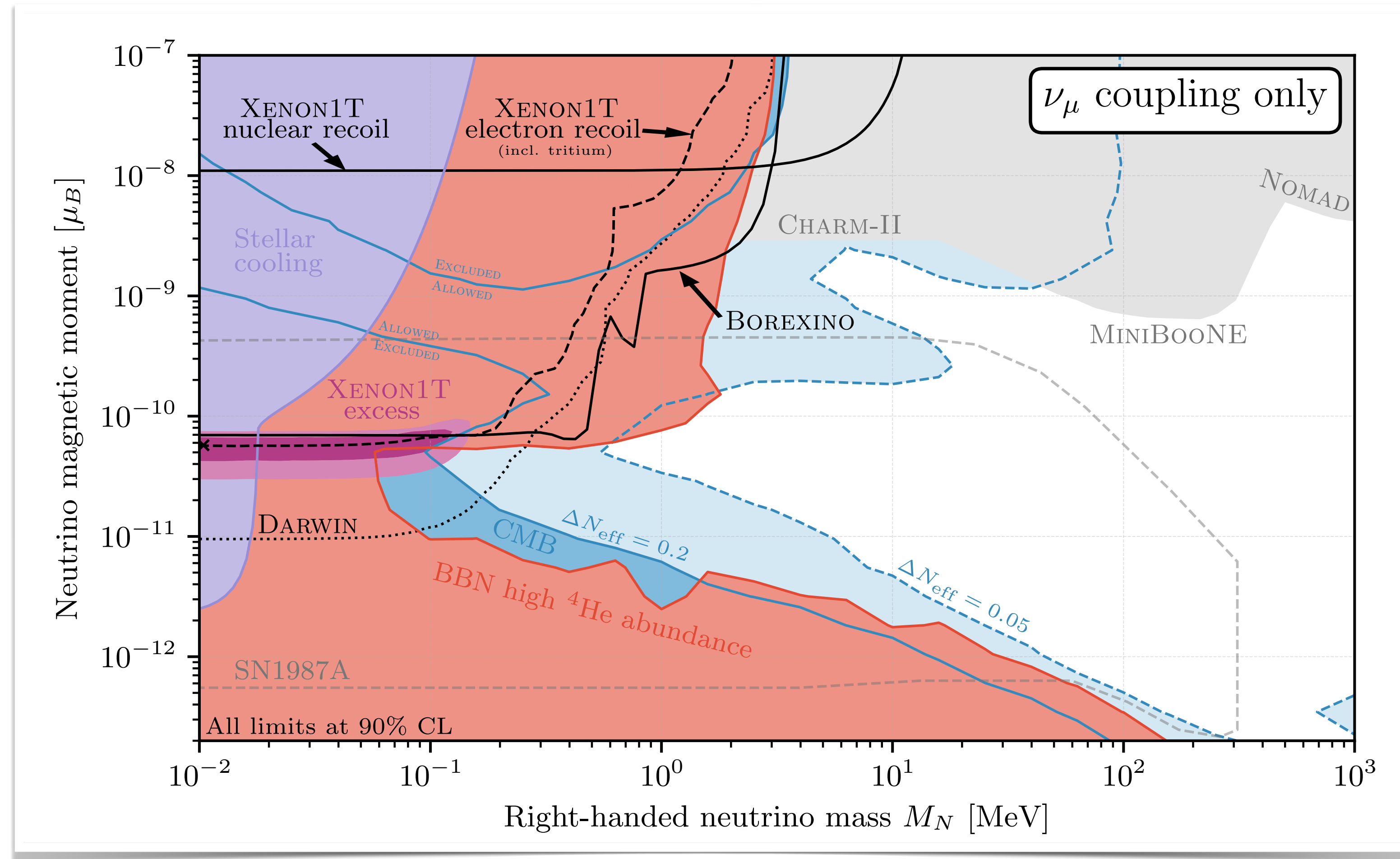


Coloma Machado Martinez-Soler Shoemaker [1707.08573](#), Magill Plestid Pospelov Tsai [1803.03262](#)

Shoemaker Wyenberg [1811.12435](#), Brdar Greljo JK Opferkuch [arXiv:2007.15563](#), Greljo Stangl Thomsen [2103.13991](#)

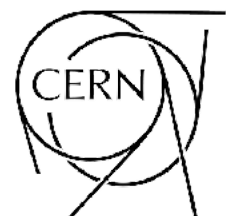


# Neutrino Magnetic Moments: Constraints



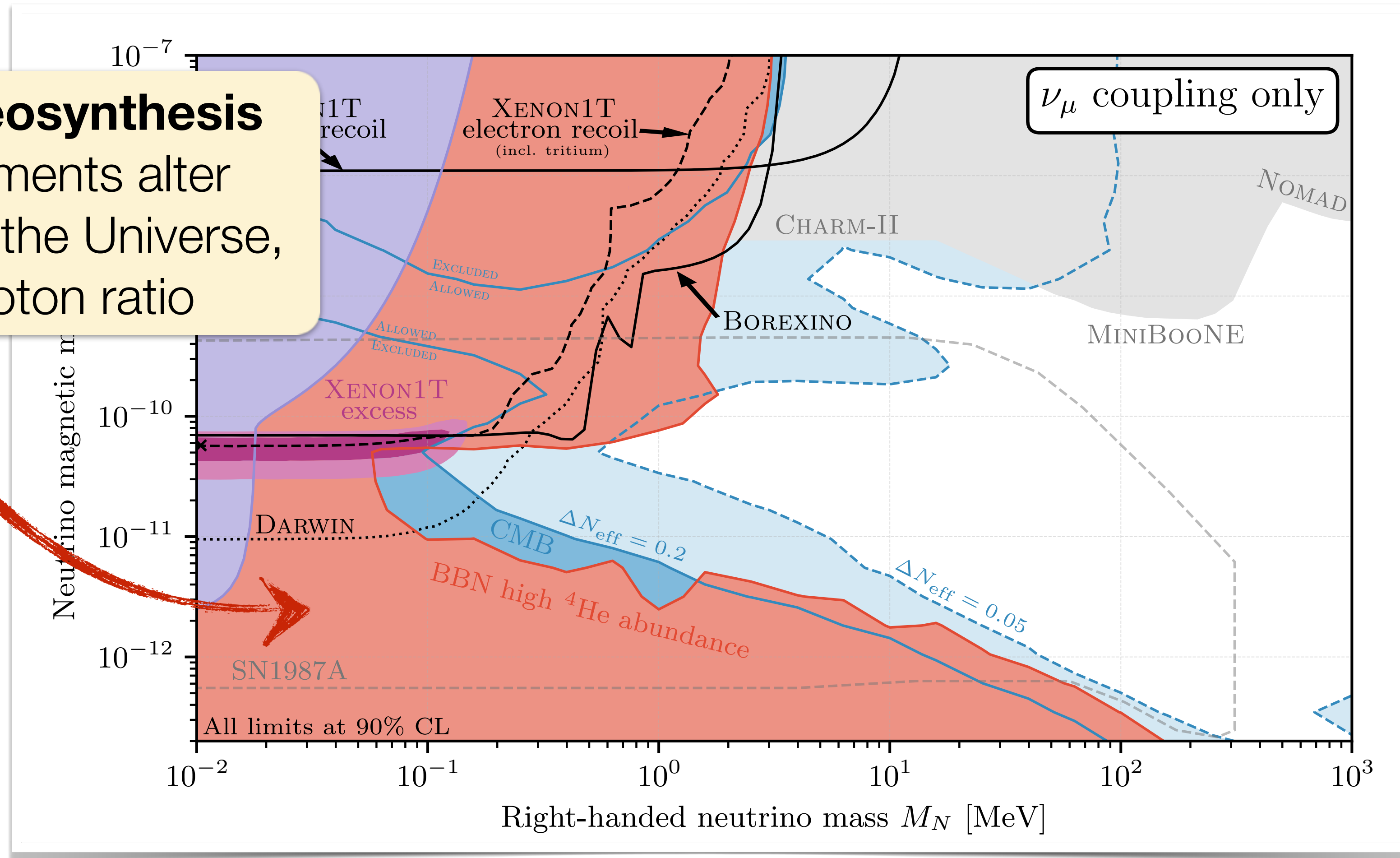
Coloma Machado Martinez-Soler Shoemaker [1707.08573](#), Magill Plestid Pospelov Tsai [1803.03262](#)

Shoemaker Wyenberg [1811.12435](#), Brdar Greljo JK Opferkuch [arXiv:2007.15563](#), Greljo Stangl Thomsen [2103.13991](#)



# Neutrino Magnetic Moments: Constraints

**Big Bang Nucleosynthesis**  
 $\nu$  magnetic moments alter expansion rate of the Universe, baryon-to-photon ratio



Coloma Machado Martinez-Soler Shoemaker [1707.08573](#), Magill Plestid Pospelov Tsai [1803.03262](#)  
 Shoemaker Wyenberg [1811.12435](#), Brdar Greljo JK Opferkuch [arXiv:2007.15563](#), Greljo Stangl Thomsen [2103.13991](#)

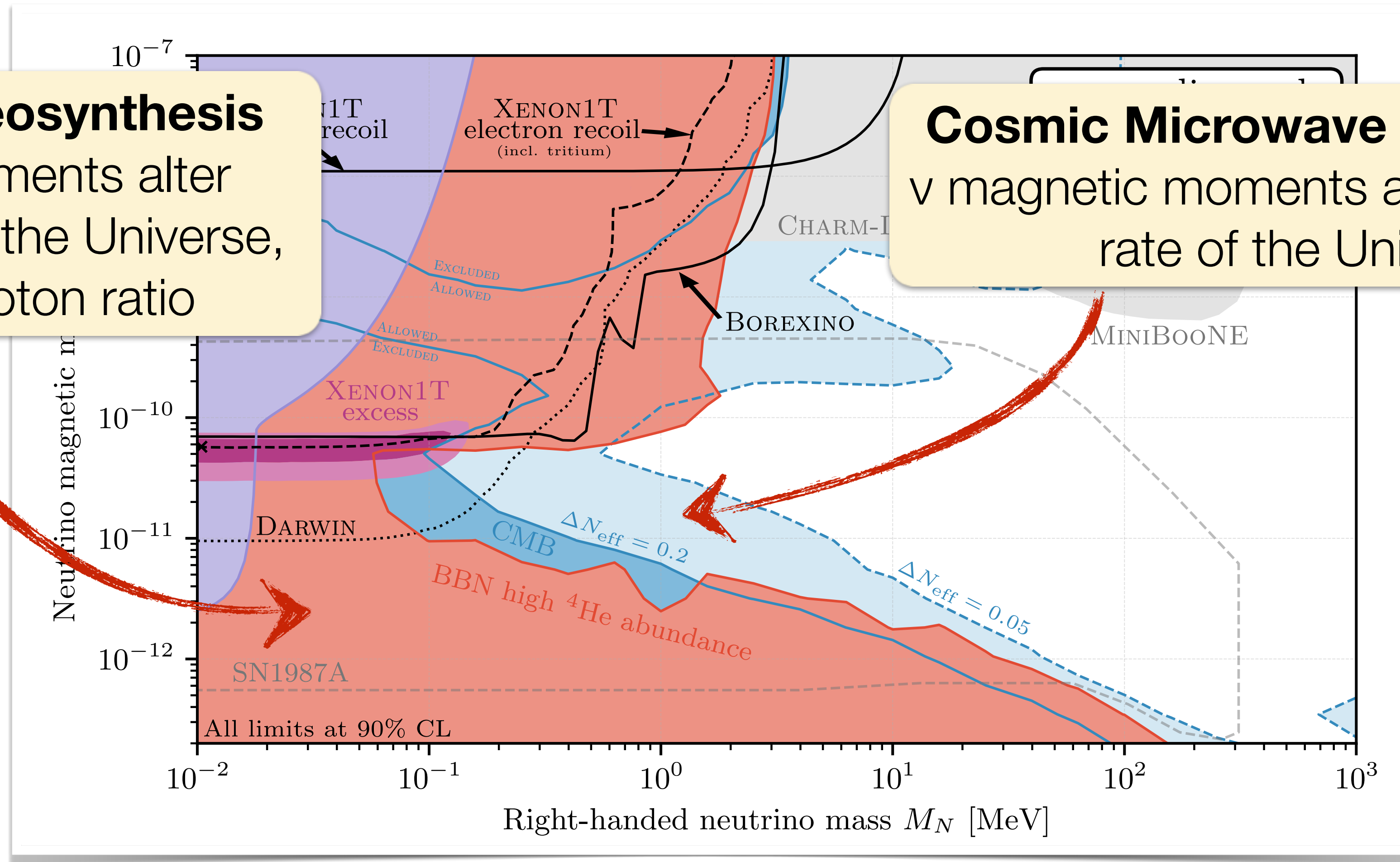




# Neutrino Magnetic Moments: Constraints

**Big Bang Nucleosynthesis**  
 $\nu$  magnetic moments alter expansion rate of the Universe, baryon-to-photon ratio

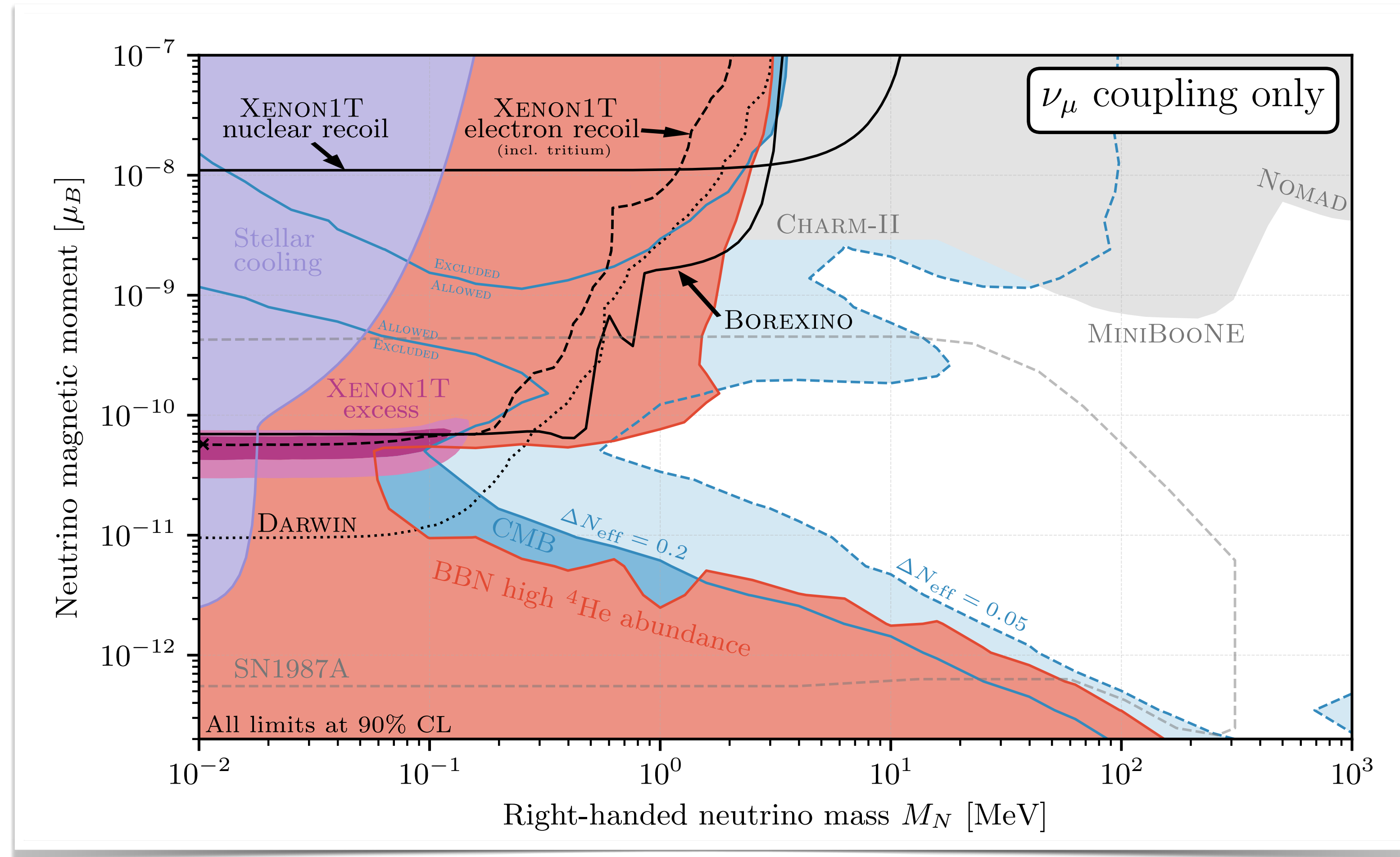
**Cosmic Microwave Background**  
 $\nu$  magnetic moments alter expansion rate of the Universe



Coloma Machado Martinez-Soler Shoemaker [1707.08573](#), Magill Plestid Pospelov Tsai [1803.03262](#)  
 Shoemaker Wyenberg [1811.12435](#), Brdar Greljo JK Opferkuch [arXiv:2007.15563](#), Greljo Stangl Thomsen [2103.13991](#)

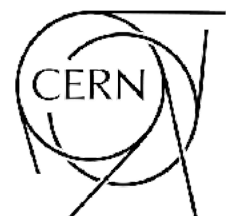


# Neutrino Magnetic Moments: Constraints

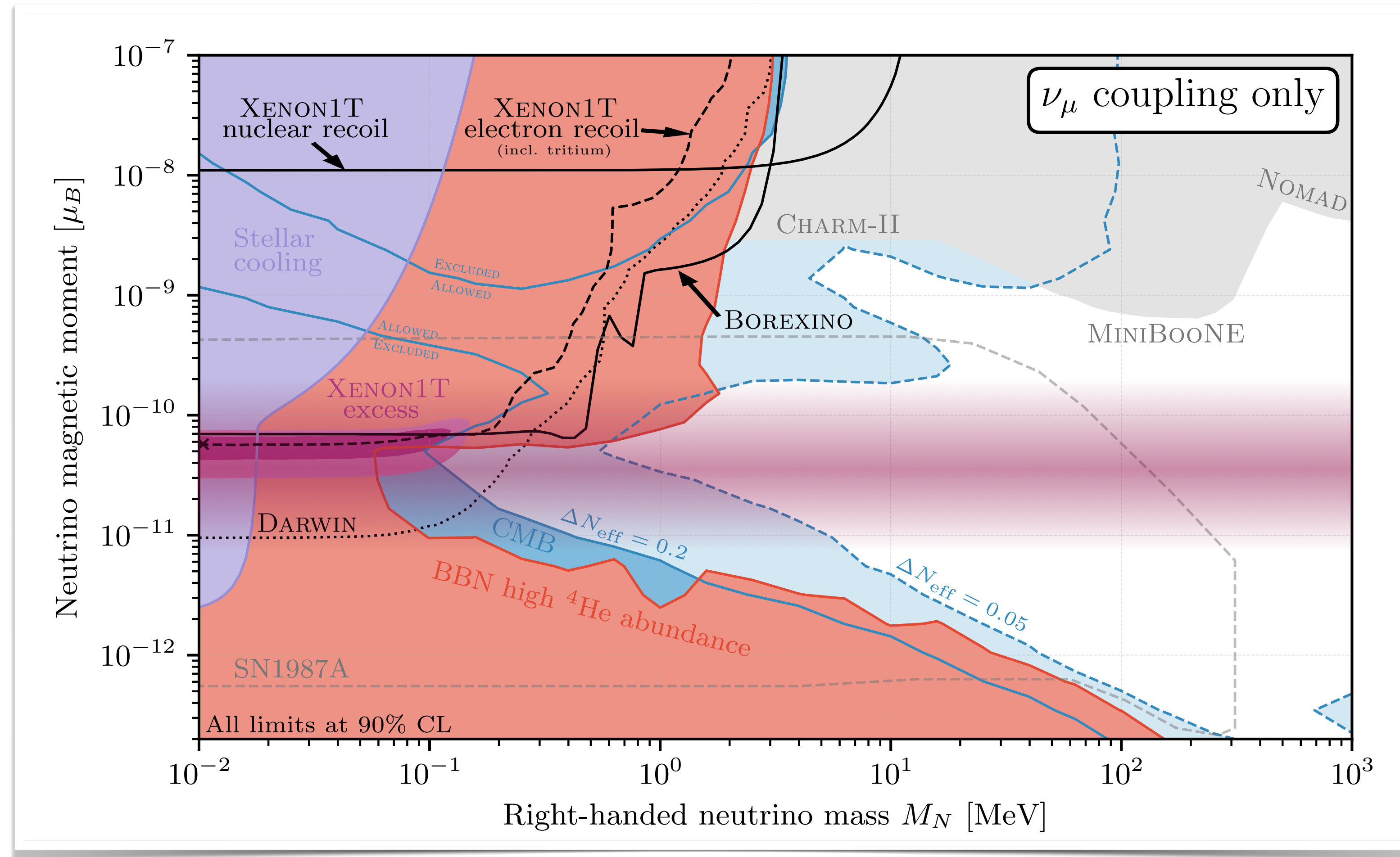


Coloma Machado Martinez-Soler Shoemaker [1707.08573](#), Magill Plestid Pospelov Tsai [1803.03262](#)

Shoemaker Wyenberg [1811.12435](#), Brdar Greljo JK Opferkuch [arXiv:2007.15563](#), Greljo Stangl Thomsen [2103.13991](#)

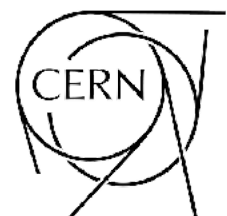


# Neutrino Magnetic Moments: Constraints

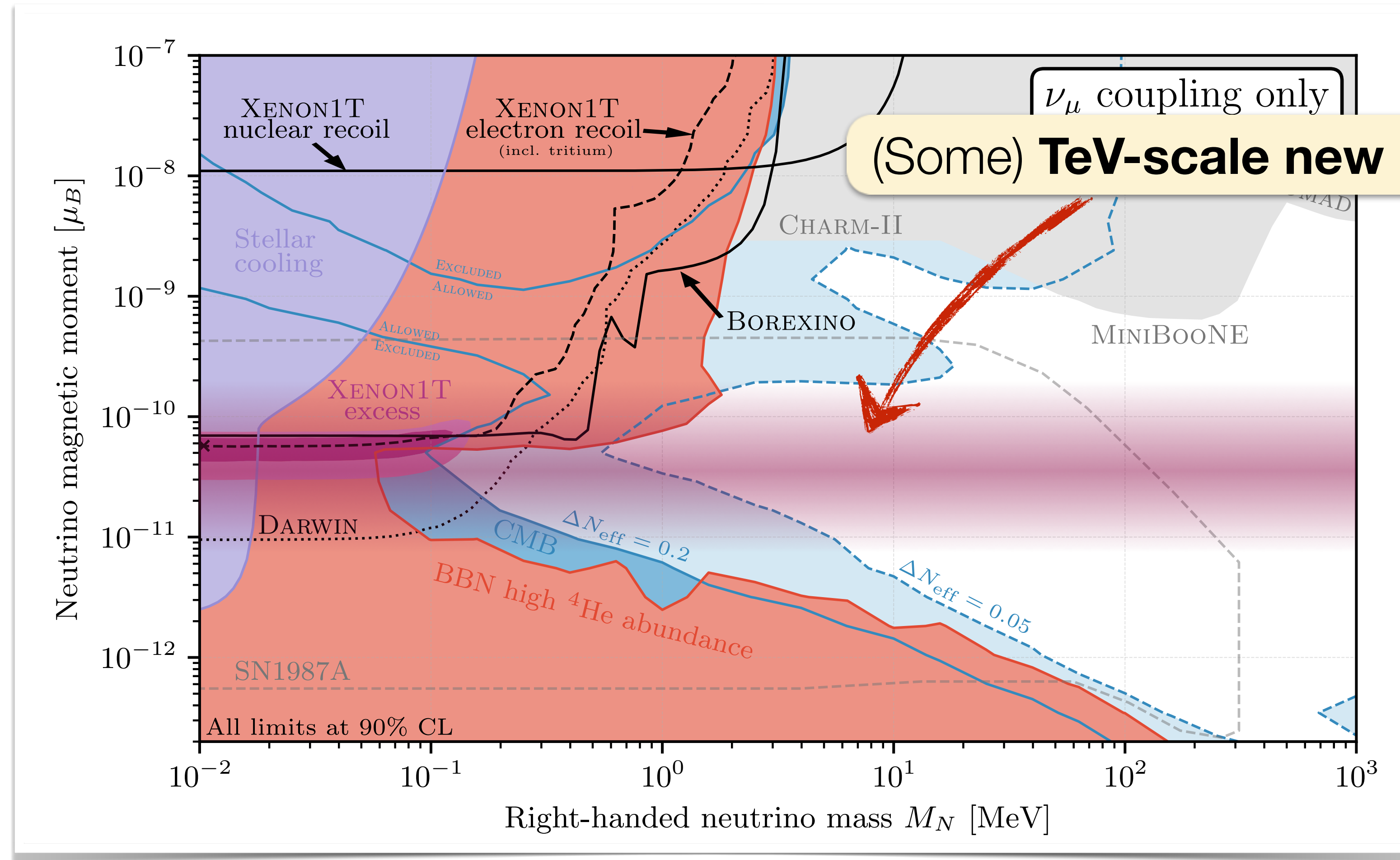


Coloma Machado Martinez-Soler Shoemaker [1707.08573](#), Magill Plestid Pospelov Tsai [1803.03262](#)

Shoemaker Wyenberg [1811.12435](#), Brdar Greljo JK Opferkuch [arXiv:2007.15563](#), Greljo Stangl Thomsen [2103.13991](#)



# Neutrino Magnetic Moments: Constraints

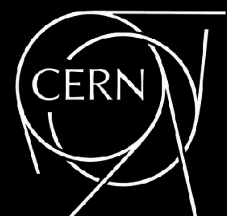
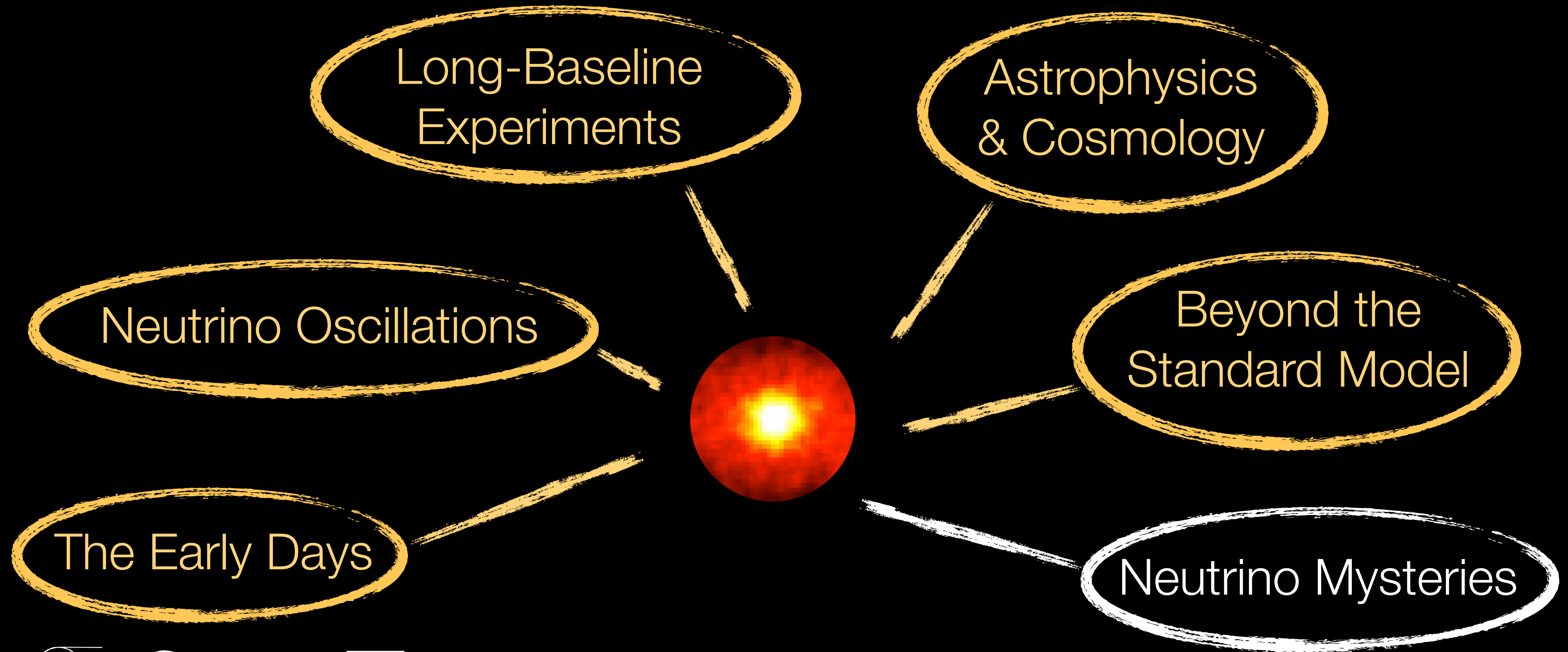


Coloma Machado Martinez-Soler Shoemaker [1707.08573](#), Magill Plestid Pospelov Tsai [1803.03262](#)

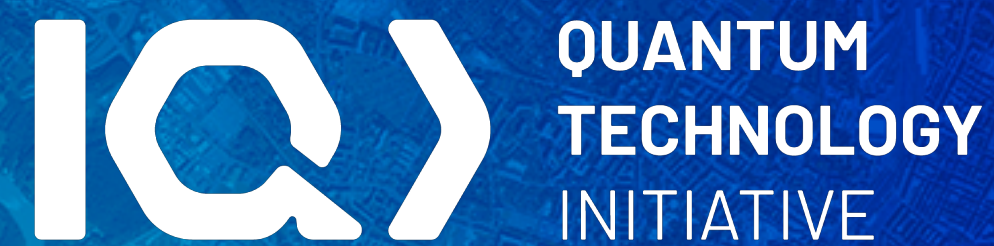
Shoemaker Wyenberg [1811.12435](#), Brdar Greljo JK Opferkuch [arXiv:2007.15563](#), Greljo Stangl Thomsen [2103.13991](#)



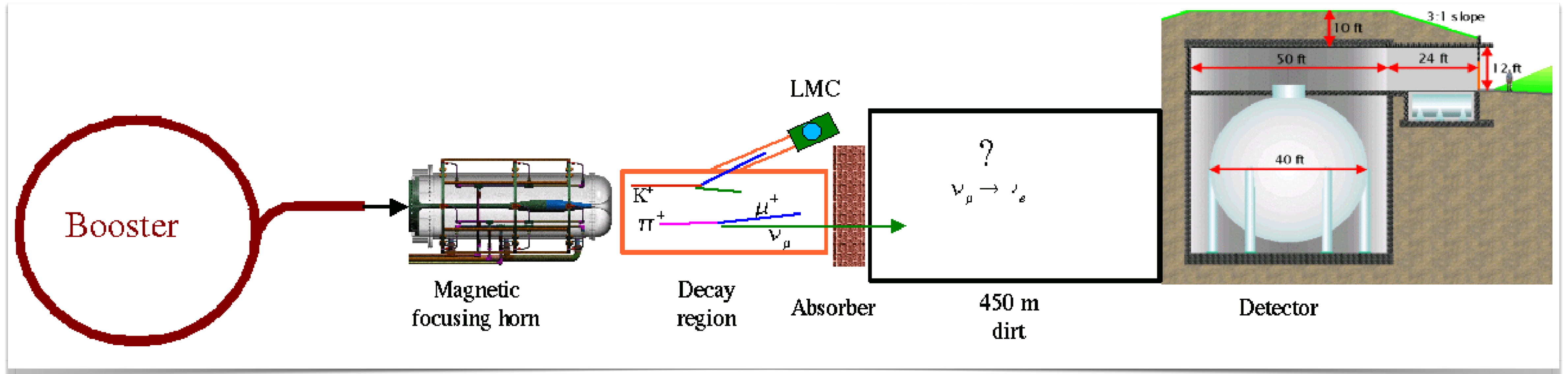
# Outline



# MiniBooNE

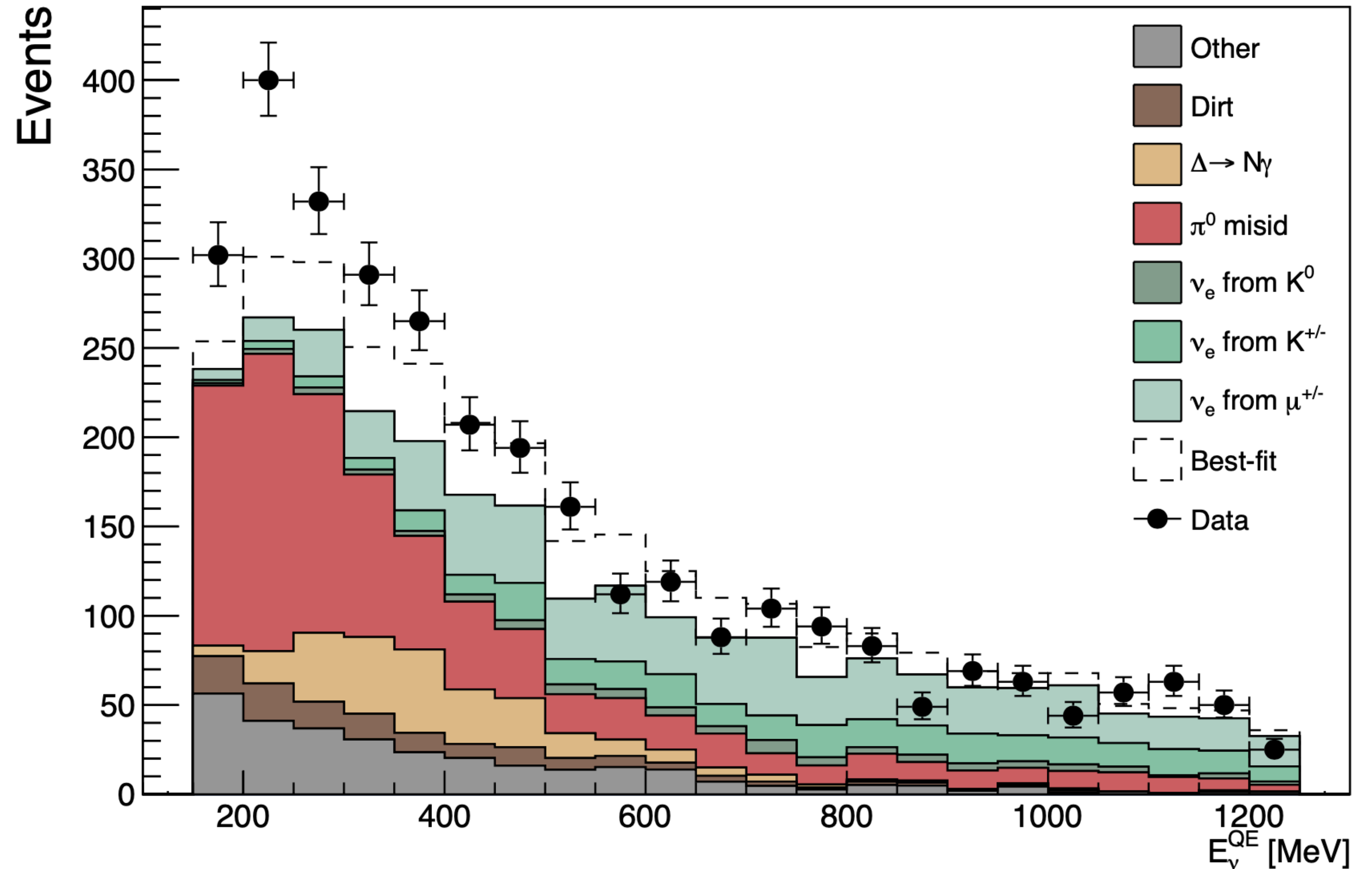


# MiniBooNE



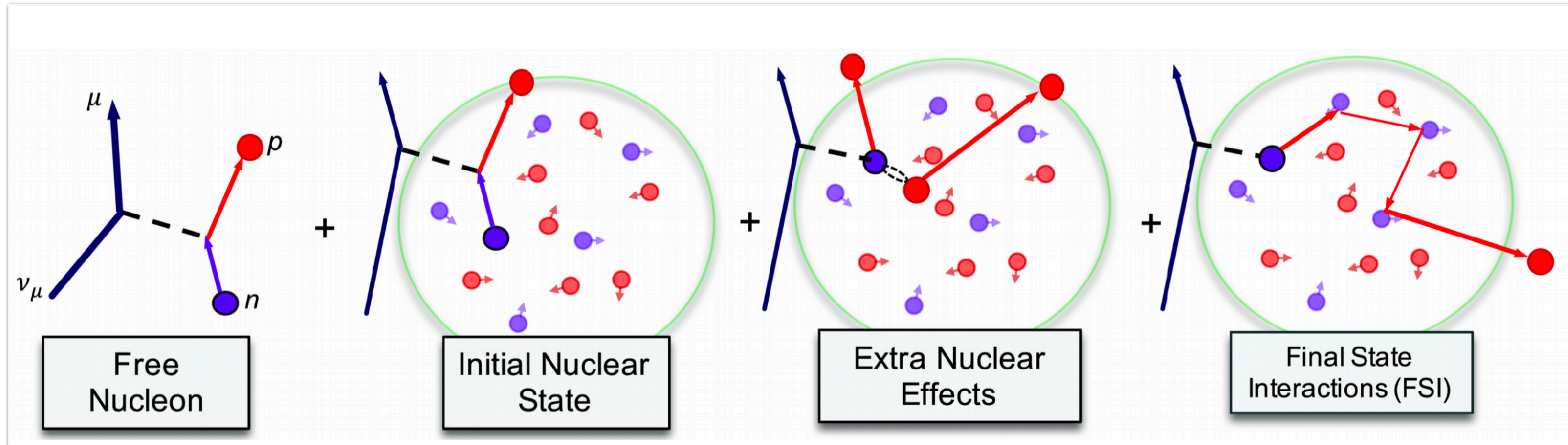
# MiniBooNE

- $\nu_e$  excess in  $\nu_\mu$  beam (4.8 $\sigma$  significance)
- source–detector distance  $\sim 1$  km (too short for standard oscillations)
- a possible hint for the existence of extra neutrino flavours (“sterile neutrinos”)?

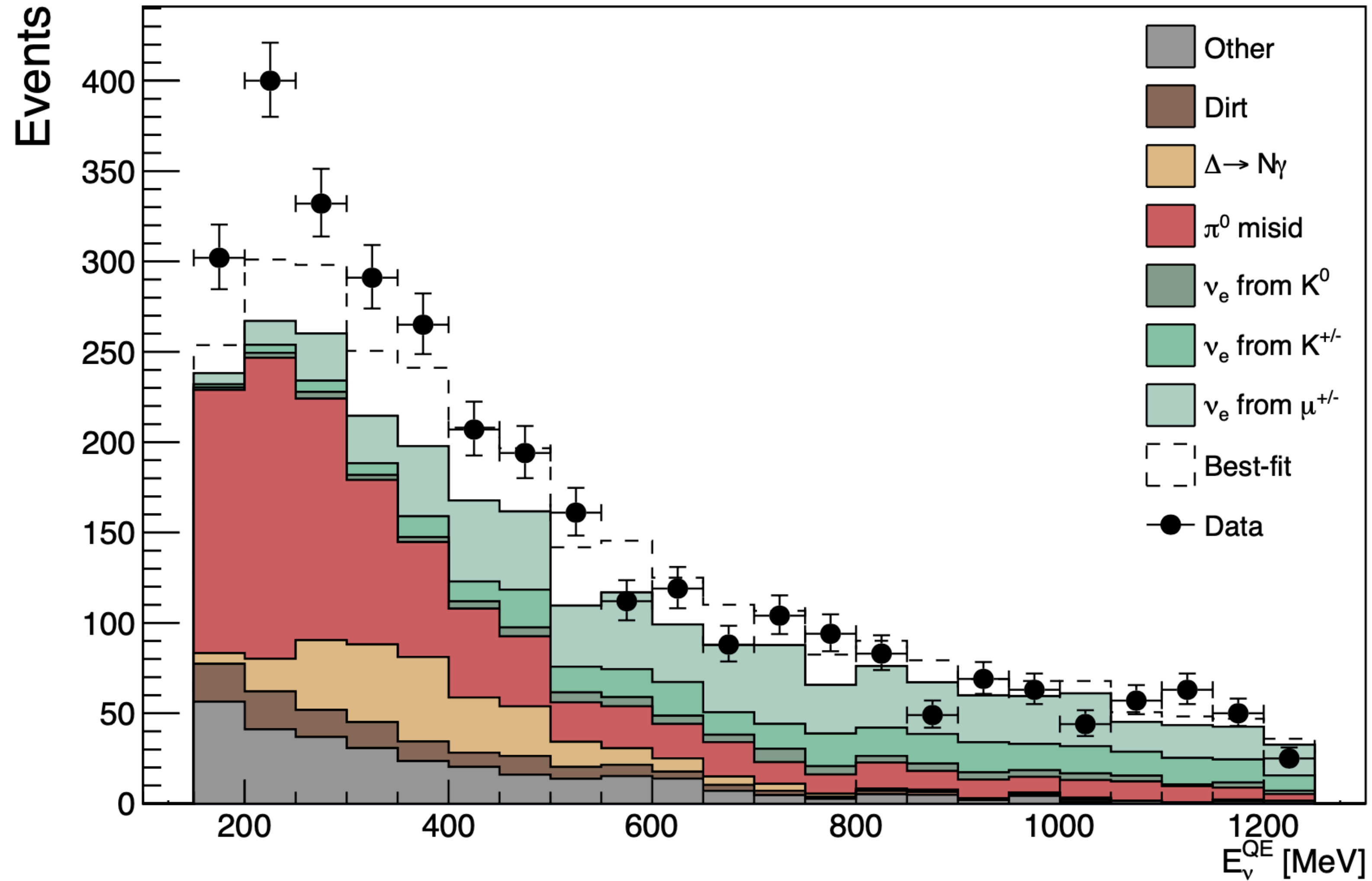




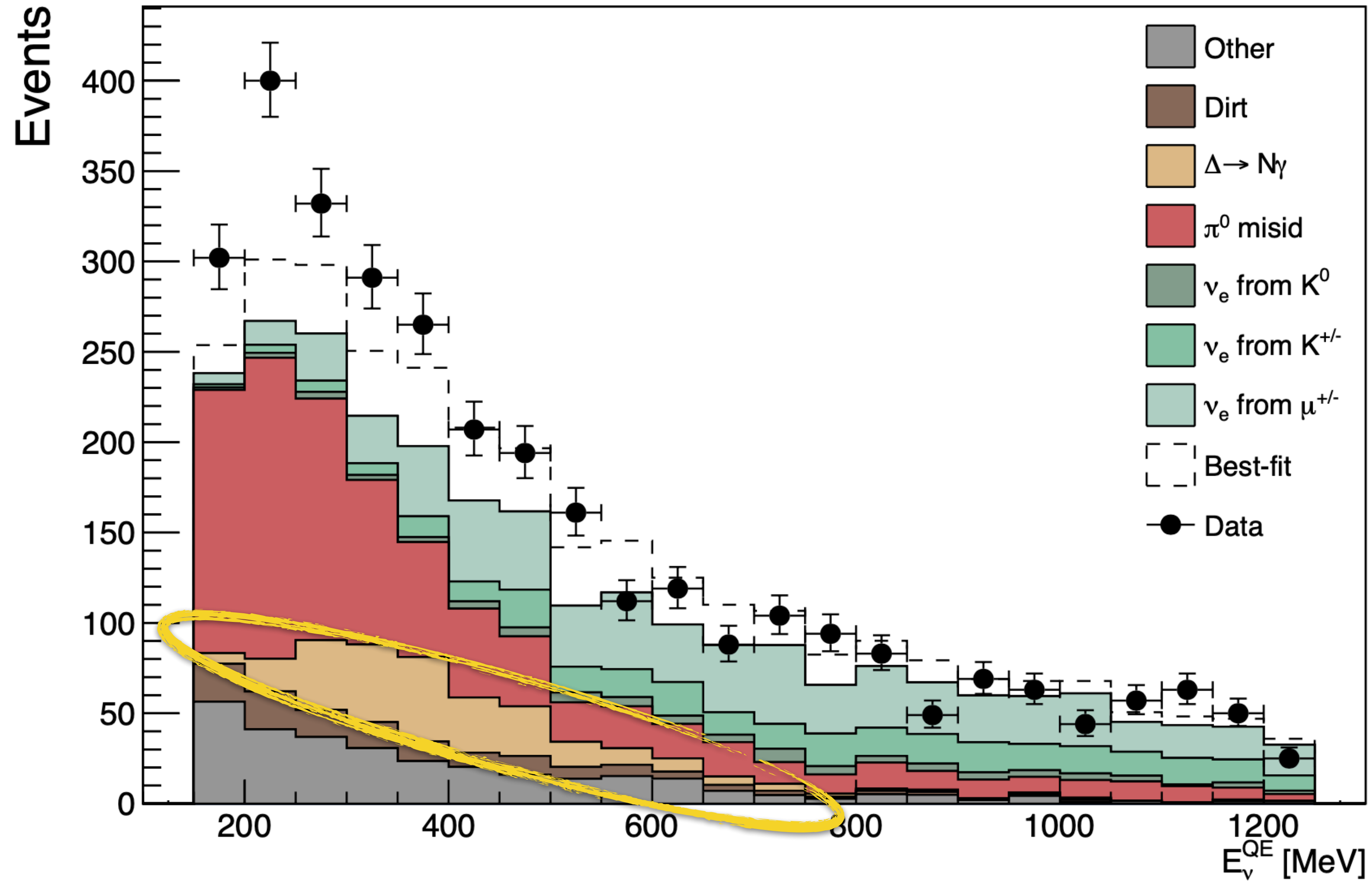
# Neutrino Interactions are complicated



# Example: $\Delta \rightarrow N + \gamma$

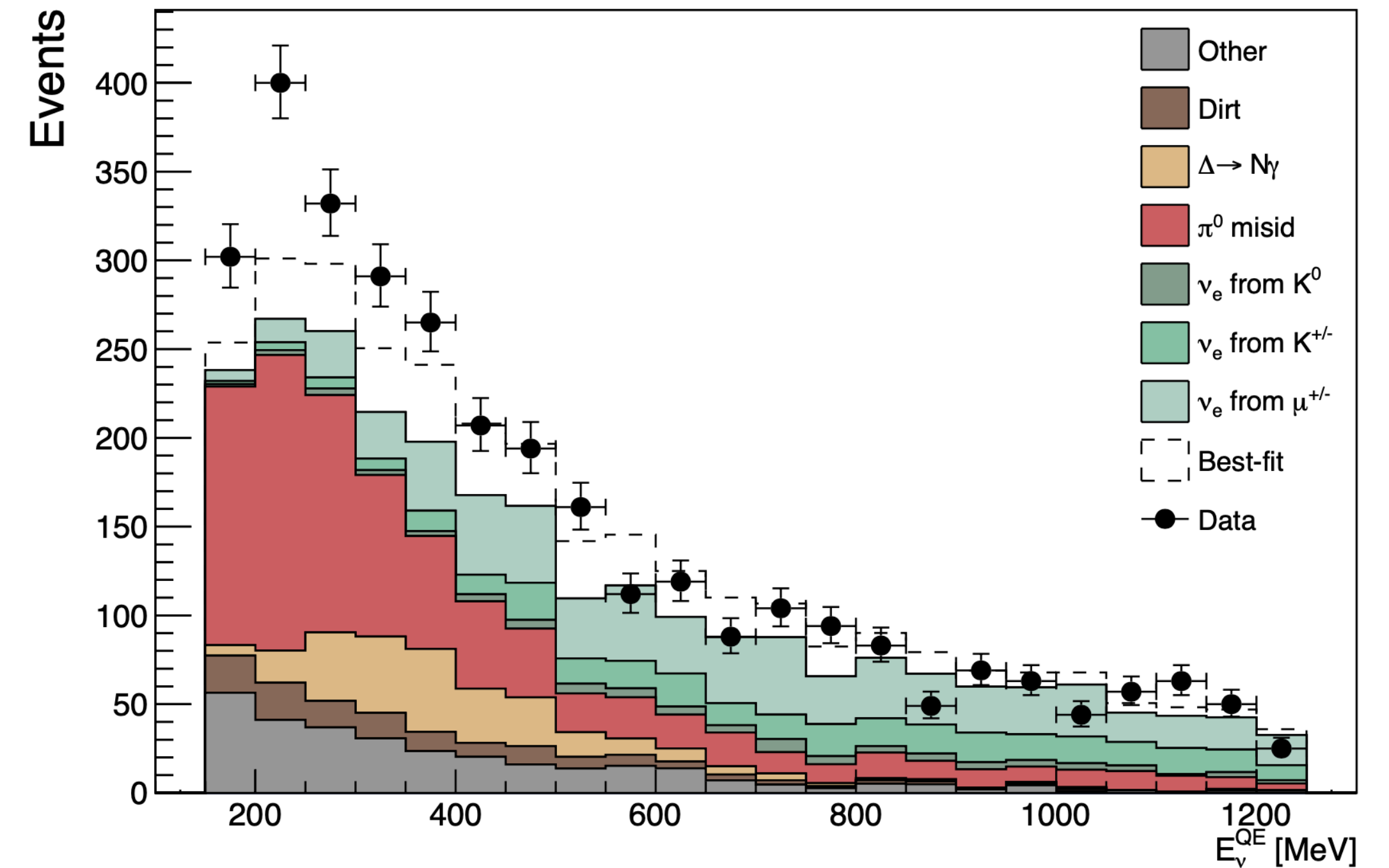


# Example: $\Delta \rightarrow N + \gamma$



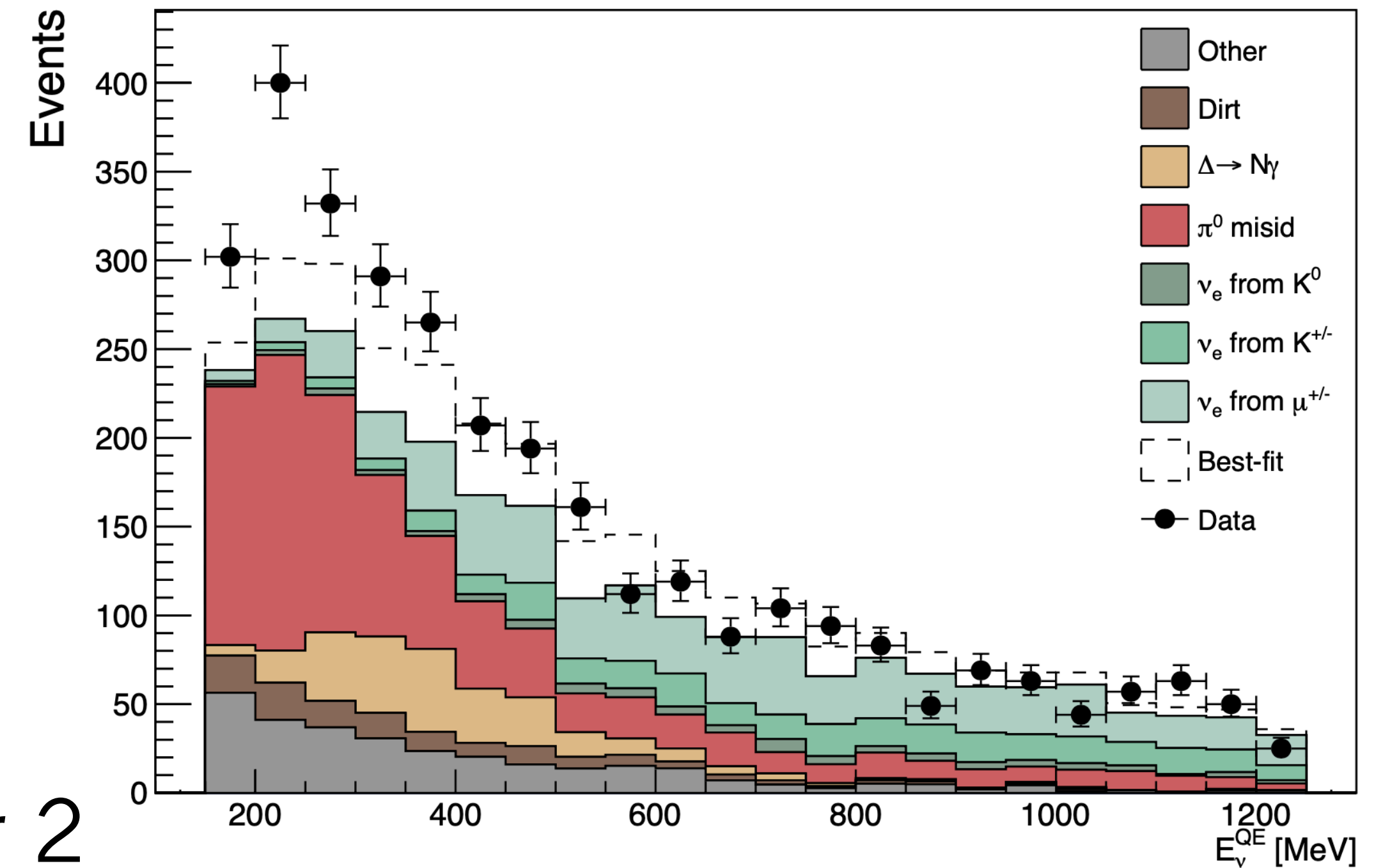
# Example: $\Delta \rightarrow N + \gamma$

- Neutral current neutrino interaction:  
 $\nu + N \rightarrow \nu + \Delta(1232)$
- $\Delta(1232)$  mostly decays to  $\pi + N$
- But a rare decay exists to  $\gamma + N$
- MiniBooNE cannot distinguish  $\gamma$  from  $e^-$



# Example: $\Delta \rightarrow N + \gamma$

- $\Delta$  production rate can be estimated from  $\Delta \rightarrow \pi + N$
- Pions may be absorbed on their way out of the nucleus
- may excite another  $\Delta$  resonance
  - ▣  $\Delta \rightarrow N + \gamma$  enhanced by  $\sim$  factor 2
- or may be absorbed
  - ▣ control region suppressed by  $\sim$  factor 2
- This factor 2 has been taken into account by MiniBooNE

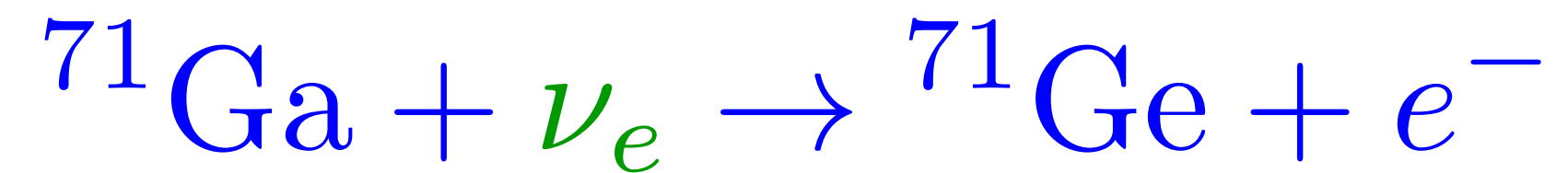


# The Gallium Anomaly

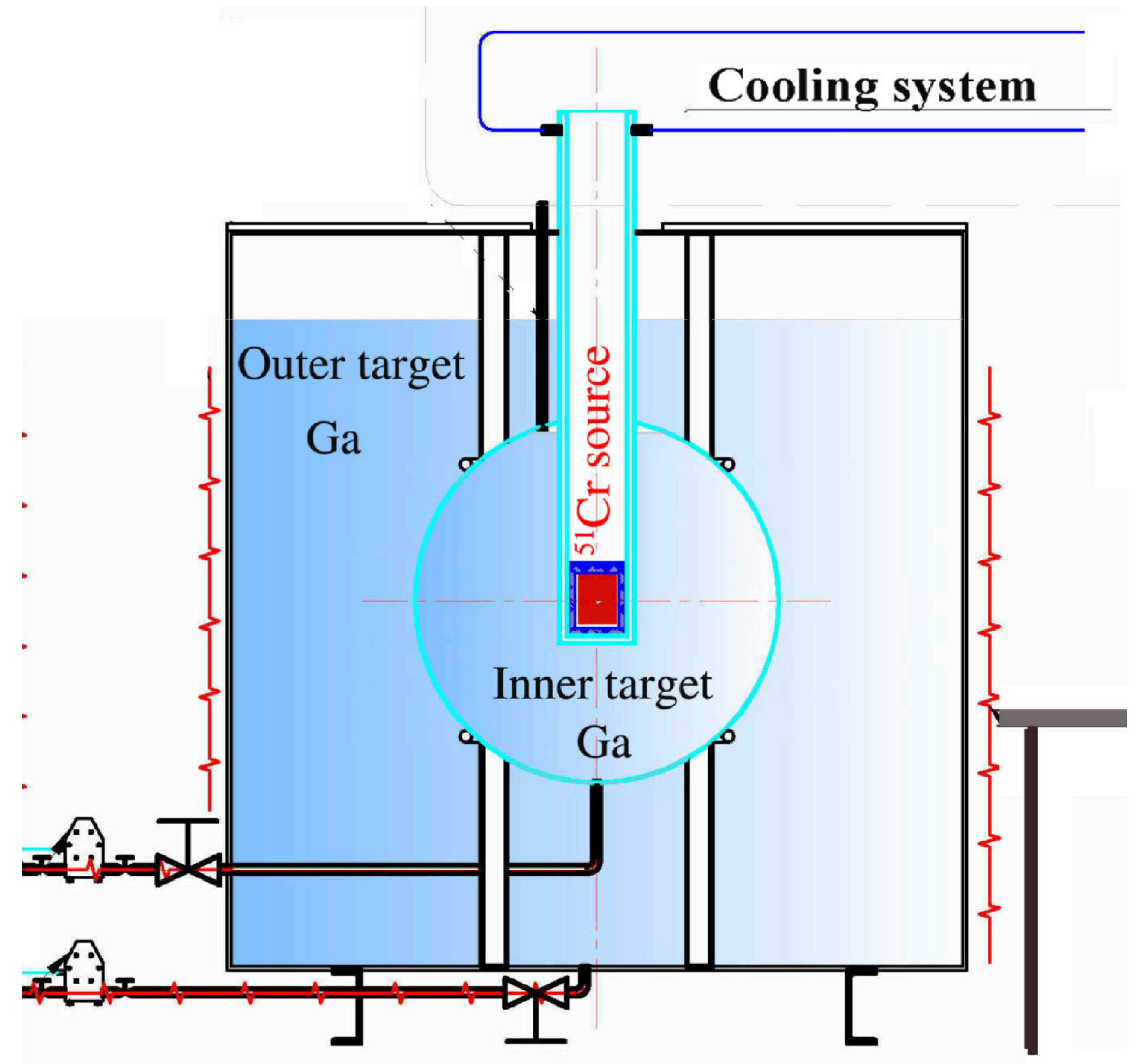


# The Gallium Anomaly

- Experiments with intense radioactive sources
- Neutrino detection via



- $>5\sigma$  deficit
- seen by three experiments
- $\nu_e$  disappearance into sterile state?
- would require very large mixing (conflict with reactor observations)

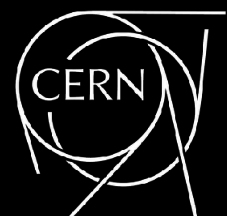
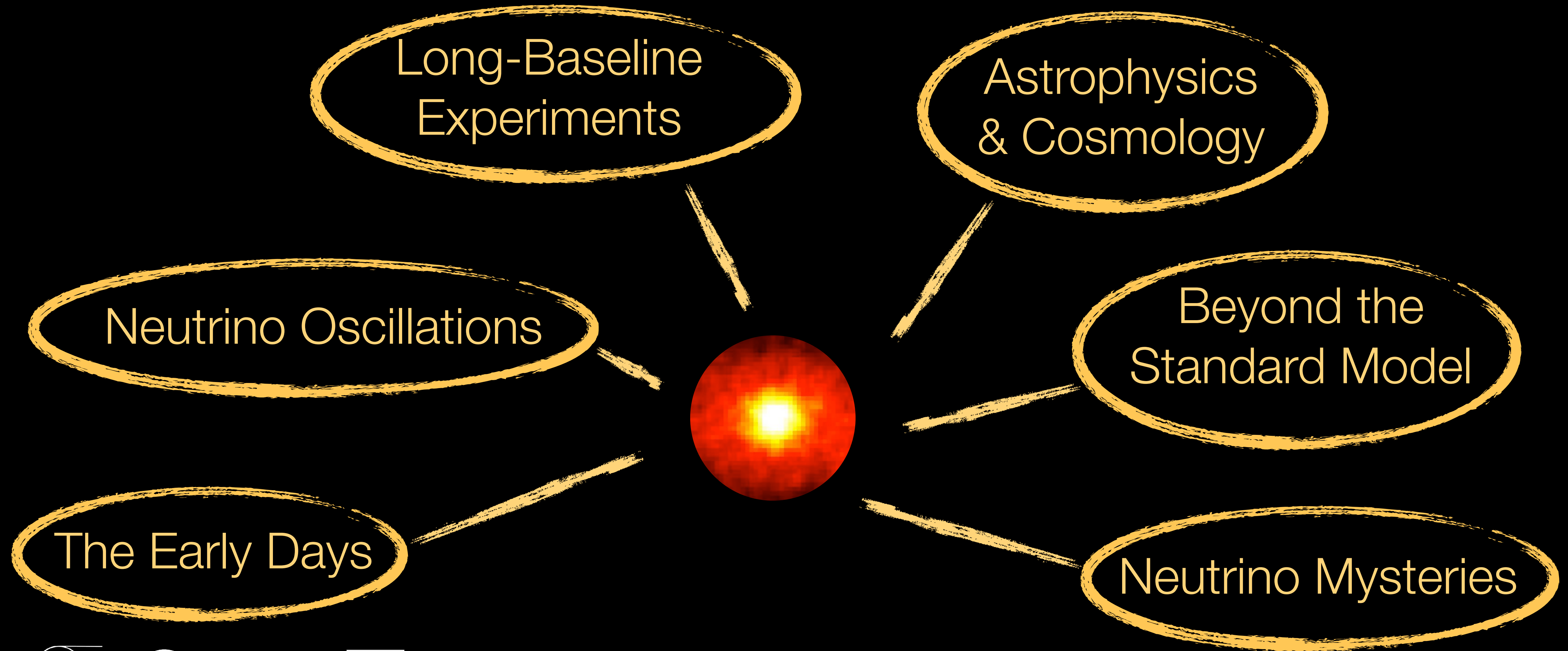


Giunti Laveder [1006.3244](#)

BEST [arXiv:2109.11482](#)

Barinov Gorbunov [arXiv:2109.14654](#)

# Summary





**Thank You!**



